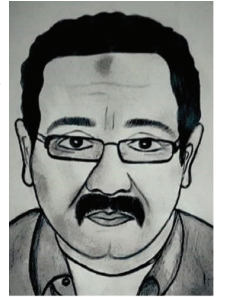




## كتاب ديناميكا حرارية الجزء الأول

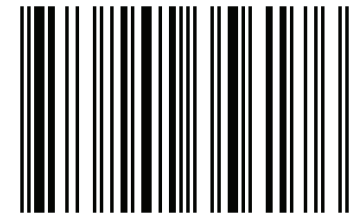
إن مؤلف هذا الكتاب وإيماناً منه بالدور العظيم والمُقدَّر للأستاذ الجامعي في إثراء حركة التأليف والتعريف والترجمة للمراجع والكتب الهندسية يأمل أن يفي هذا الكتاب بمتطلبات برامج البكالوريوس والدبلوم لطلاب الهندسة الميكانيكية ، هندسة الإنتاج أو التصنيع ، الهندسة الكهربائية والهندسة المدنية حيث يُغطي مناهج نظرية ومختبرية في الديناميكا الحرارية وتطبيقاتها. يتفق هذا الكتاب لغوياً مع القاموس الهندسي الموحد السوداني ، ويُعد الكتاب مرجعاً في مجاله حيث يمكن أن يستفيد منه الطالب والمهندس والباحث. هذا الكتاب مقبوس من مذكرات مؤلفه في تدريسه لهذا المقرر لفترة لإتقل عن خمس وعشرون عاماً. يهدف هذا الكتاب لتأكيد أهمية دراسة الديناميكا الحرارية نظرياً ، عملياً ومختبرياً . فقد اشتمل هذا الكتاب على صياغة بعض النماذج الرياضية في الديناميكا الحرارية وتطويرها حتى الوصول إلى الصيغ النهائية المستخدمة في حل المسائل بالإضافة لإيراده بعض الأمثلة لنظم مستخدمة في التطبيقات العملية والمختبرية.

أسامة محمد المرضي سليمان وُلِدَ بمدينة عطبرة بالسودان في العام 1966م. حاز على دبلوم هندسة ميكانيكية من كلية الهندسة الميكانيكية - عطبرة في العام 1990م. تحسّل أيضاً على درجة البكالوريوس في الهندسة الميكانيكية من جامعة السودان للعلوم والتكنولوجيا - الخرطوم في العام 1998م ، كما حاز على درجة الماجستير في تخصص ميكانيكا المواد من جامعة وادي النيل - عطبرة



أسامة محمد المرضي سليمان

كتاب ديناميكا حرارية الجزء الأول



أسامة محمد المرضي سليمان

كتاب ديناميكا حرارية الجزء الأول



أسامة محمد المرضي سليمان

كتاب ديناميكا حرارية الجزء الأول

**Noor Publishing**



## **Imprint**

Any brand names and product names mentioned in this book are subject to trademark, brand or patent protection and are trademarks or registered trademarks of their respective holders. The use of brand names, product names, common names, trade names, product descriptions etc. even without a particular marking in this work is in no way to be construed to mean that such names may be regarded as unrestricted in respect of trademark and brand protection legislation and could thus be used by anyone.

Cover image: [www.ingimage.com](http://www.ingimage.com)

Publisher:

Noor Publishing

is a trademark of

International Book Market Service Ltd., member of OmniScriptum Publishing Group

17 Meldrum Street, Beau Bassin 71504, Mauritius

Printed at: see last page

**ISBN: 978-620-2-35617-6**

Copyright © أسامة محمد المرضي سليمان

Copyright © 2018 International Book Market Service Ltd., member of OmniScriptum Publishing Group

All rights reserved. Beau Bassin 2018

# كتاب ديناميكا حرارية

## الجزء الأول



### تأليف

أسامة محمد المرضي سليمان

قسم الهندسة الميكانيكية

كلية الهندسة والتقنية

جامعة وادي النيل

عطبرة ، السودان

الطبعة الأولى فبراير 1995م

الطبعة الثانية أكتوبر 2018م

## شكر و عرفان

الشكر والعرفان لله والتبريكات والصلوات على رسوله وخادمه محمد وعلى آله وصحابه وجميع من تبعه وتَقَى أثره إلى يوم القيامة.

يود الكاتب ان يتقدم بالشكر أجدله لكل من ساهم بجهده وفكره ووقته في إخراج هذا الكتاب بالصورة المطلوبة ، ويخص بذلك الزملاء/ الأساتذة بقسم الهندسة الميكانيكية بجامعة وادي النيل . عطيرة ، وأيضاً الإخوة/ الأساتذة بقسم الهندسة الميكانيكية بجامعة البحر الأحمر . بورتسودان.

الشكر والتقدير والعرفان للبروفيسور/ محمود يس عثمان الذي ساهم بقدر كبير في مراجعة وإعادة مراجعة محتويات الكتاب.

اهدي هذا الكتاب بصفة أساسية لطلاب دبلوم وبكالوريوس الهندسة في جميع التخصصات خاصة طلاب قسم الهندسة الميكانيكية ، حيث يستعرض هذا الكتاب الكثير من التطبيقات في مجال الديناميكا الحرارية وتطبيقاتها. وأُعبر عن سُكري وامتناني إلى المهندس/ أسامة محمود محمد علي بمركز دانية لخدمات الحاسوب والطباعة بمدينة عطيرة، الذي أنفق العديد من الساعات في طباعة ، مراجعة وتعديل وإعادة طباعة هذا الكتاب أكثر من مرة. والشكر موصول أيضاً للمهندس/ عوض علي بكري الذي شارك في تنسيق هذا العمل.

أخيراً ، أرجو من الله سبحانه وتعالى أن يتقبل هذا العمل المتواضع والذي أمل أن يكون ذا فائدة للقارئ.

## مقدمة

إنَّ مؤلّف هذا الكتاب وإيماناً منه بالدور العظيم والمُقدَّر للأستاذ الجامعي في إثراء حركة التأليف والتعريف والترجمة للمراجع والكتب الهندسية يأمل أن يفي هذا الكتاب بمتطلبات برامج البكالوريوس والدبلوم لطلاب الهندسة الميكانيكية ، هندسة الإنتاج او التصنيع ، الهندسة الكهربائية والهندسة المدنية حيث يُعطى مناهج نظرية ومختبرية في الديناميكا الحرارية وتطبيقاتها. يتفق هذا الكتاب لغويّاً مع القاموس الهندسي الموحّد السوداني ، ويُعد الكتاب مرجعاً في مجاله حيث يمكن أن يستفيد منه الطالب والمهندس والباحث. هذا الكتاب مقتبس من مُذكرات مؤلّفه في تدريسه لهذا المُقرر لفترة لا تقل عن خمس وعشرون عاماً.

يهدف هذا الكتاب لتأكيد أهمية دراسة الديناميكا الحرارية نظرياً ، عملياً ومُختبرياً . فقد اشتمل هذا الكتاب على صياغة بعض النماذج الرياضية في الديناميكا الحرارية وتطويرها حتى الوصول إلى الصيغ النهائية المستخدمة في حل المسائل بالإضافة لإيراده بعض الأمثلة لنظم مستخدمة في التطبيقات العملية والمُختبرية.

يشتمل هذا الكتاب على أربعة فصول. يناقش الفصل الأول القانون الأول للديناميكا الحرارية من وجهات نظر قانون بقاء الطاقة ، معادلة اللاسريان ، معادلة السريان المستقر من خلال العديد من الأمثلة والمسائل المحلولة بالإضافة لمسائل إضافية في نهاية الفصل .

أما الفصل الثاني فيستعرض الإجراءات الإنعكاسية واللانعكاسية في الأنظمة الحرارية كإجراء الحجم الثابت ، الإجراء ثابت، درجة الحرارة، والإجراء متعدد الإنتحاء. يناقش هذا الفصل بعض الحالات الهامة لإجراءات لا يمكن إفتراض أنها إنعكاسية داخلياً مثل التمدد الحر ، الخنق ، الخلطة الاديباتية ، إجراءات السريان الإنعكاسي ، وإجراءات السريان اللامستقر. تكون هذه الحالات مشفوعة بالعديد من الأمثلة والمسائل المحلولة بالإضافة لبعض المسائل غير المحلولة.

أما الفصل الثالث فيتناول القانون الثاني للديناميكا الحرارية من وجهات نظر عديدة من أهمها الآلة الحرارية ، القصور الحراري ، مخطط درجة الحرارة - القصور الحراري لبخار ولغاز مثالي ، تمثيل الإجراءات

الإنعكاسية على مخطط  $T - s$  ، القصور الحراري واللإنعكاسية ، والإتاحية بالإضافة لعدد من الأمثلة والمسائل المحلولة وغير المحلولة التي نرجو أن تُنبِط على القارئ هضم وفهم هذا الكتاب.

أما الفصل الرابع والأخير دورة المحرك الحراري المتمثلة في دورة كارنوت المثالية ، مقياس در إنُّ الكاتب يأمل أن يساهم هذا الكتاب في إثراء المكتبة الجامعية داخل السودان وخارجه في هذا المجال من المعرفة ويأمل من القارئ ضرورة إرسال تغذية راجعة إن كانت هنالك ثُغرة أخطاء حتى يستطيع الكاتب تصويبها في الطبعة التالية للكتاب.

والله الموفق

المؤلف

أكتوبر 2018م

## المحتويات

الصفحة	الموضوع
i	شكر وعزفان
ii	مقدمة
iv	المحتويات
	<b>الفصل الأول : القانون الأول للديناميكا الحرارية</b>
1	1.1 بقاء الطاقة
3	1.2 معادلة اللانساياب (اللاسريان)
6	1.3 معادلة السريان المستقر
12	1.4 مسائل
	<b>الفصل الثاني : الإجراءات الإنعكاسية واللائعكاسية</b>
15	2.1 إجراءات لا سريانبة إنعكاسية
27	2.2 الإجراء اللاسرياني كاظم الحرارة الإنعكاسي
35	2.3 إجراء متعدد الإنتحاء
45	2.4 الإجراءات اللائعكاسية
51	2.5 إجراءات السريان الإنعكاسي
53	2.6 إجراءات السريان اللامستقر
60	2.7 مسائل
	<b>الفصل الثالث : القانون الثاني للديناميكا الحرارية</b>
63	3.1 المحرك أو الآلة الحرارية
69	3.2 القصور الحراري
74	3.3 مخطط $T - s$
84	3.4 إجراءات إنعكاسية على مخطط $T - s$
100	3.5 القصور الحراري واللائعكاسية
109	3.6 الإتاحة
116	3.7 مسائل

## الفصل الرابع : دورة المحرك الحراري

- 118 4.1 دورة كارنوت
- 121 4.2 مقياس درجة الحرارة المطلقة
- 123 4.3 دورة كارنوت لغاز مثالي
- 126 4.4 دورة الضغط الثابت
- 131 4.5 دورة الهواء القياسية
- 132 4.6 دورة أوتو
- 135 4.7 دورة ديزل
- 138 4.8 دورة الاحتراق الثنائي
- 142 4.9 متوسط الضغط الفعّال
- 144 4.10 دورة استيرلنق وأريكسون
- 148 4.11 مسائل

## الكتب والمراجع

- 150 الكتب والمراجع العربية
- 150 الكتب والمراجع الإنجليزية
- 153 نبذة عن المؤلف



## الفصل الأول

### القانون الأول للديناميكا الحرارية

#### (The First Law of Thermodynamics)

##### (Conservation of Energy)

##### 1.1 بقاء الطاقة:

مفهوم الطاقة والفرضية التي تقول أنها لا تستحدث ولا تفتنى قد تم تطويرها بواسطة العديد من العلماء في الجزء المبكر للقرن التاسع عشر، وأصبحت تعرف بمبدأ بقاء الطاقة.

القانون الأول للديناميكا الحرارية هو ليس إلا واحداً من التعبيرات لهذا المبدأ العام بمرجعية خاصة لطاقة الحرارة والطاقة الميكانيكية (i.e. الشغل).

عندما يتم عمل نظام ليؤدي دورة كاملة فإن صافي الشغل يُبذل على أو بالنظام. إعتبر دورة يكون فيها صافي الشغل مبدولاً بالنظام. بما أن الطاقة لا يمكن خلقها (استحداثها)، فإن هذه الطاقة الميكانيكية يجب أن يتم إمدادها من بعض مصادر الطاقة. لقد تم الآن إعادة النظام لحالته الابتدائية، وهكذا فإن طاقته الحقيقية لا تتغير، وبالتالي فإن الطاقة الميكانيكية لم يتم توفيرها بالنظام نفسه.

الطاقة الوحيدة الأخرى المشتركة في الدورة هي الحرارة التي يتم إكتسابها وفقدانها في الإجراءات المختلفة. بالتالي، بمبدأ بقاء الطاقة، فإن صافي الشغل المبدول بواسطة النظام يساوي صافي الحرارة المكتسبة إلي النظام. القانون الأول للديناميكا الحرارية يمكن بيانه كما يلي:

عندما يؤدي نظاماً دورة حرارية فإن صافي الحرارة المكتسبة إلي النظام من بيئته المحيطة تعادل صافي الشغل المبدول بواسطة النظام على بيئته المحيطة.

بالرموز،

$$\sum Q + \sum W = 0 \quad (1.1)$$

حيث  $\Sigma$  تمثل المجموع لدورة كاملة.

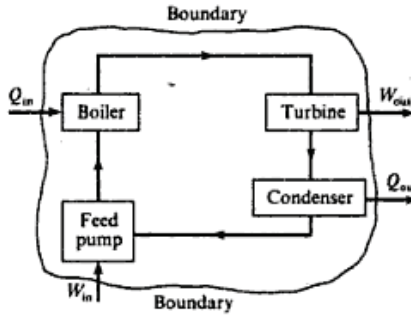
مثال (1.1):

في محطة بخار معينة ينتج التوربين 1000kW. والحرارة التي يتم إمدادها إلي البخار في الغلاية تعادل 2800kJ/kg، والحرارة التي يفقدها (يطردها) النظام إلي ماء التبريد في المكثف تساوي 2100kJ/kg وشغل مضخة التغذية المطلوب لضخ البخار المكثف إلي الغلاية يساوي 5kW. أحسب معدل إنسياب البخار خلال الدورة بالـ kg/s. يتم توضيح الدورة تخطيطياً في الشكل رقم (1.1)، ويتم توضيح حد النظام الذي يطوق المحطة بأكملها.

بصرامة، فإنَّ حد النظام هذا يجب التفكير في أنَّه يطوق فقط مائع التشغيل.

الحل:

$$\Sigma dQ = 2800 - 2100 = \underline{700} \text{ kJ / kg}$$



شكل (1.1) محطة قدرة بخارية

إجعل معدّل إنسياب البخار  $\dot{m}$  بالـ kg/s ،

$$\therefore \Sigma dQ = 700 \text{ m} \dot{k} \text{J / kg}$$

$$\Sigma dW = 1000 - 5 = 955 \text{ kW} = \underline{955} \text{ kJ / kg}$$

، بالتالي في المعادلة (1.1) ،

$$\therefore \sum dQ = \sum dW$$

$$\text{i.e. } 700 \times \dot{m} = 955 \quad \therefore \dot{m} = \frac{955}{700} = 1.421 \text{ kg/s}$$

$$\text{i.e. } \text{إنسياب البخار المطلوب} = 1.421 \text{ kg/s}$$

## 1.2 معادلة اللانسياب (اللاسيان): (The Non – Flow Equation)

لقد تمّ التوضيح في المقطع السابق أنه عندما يؤدي نظاماً يمتلك طاقة حقيقية معينة دورة بتحويل الحرارة والشغل، فإنّ صافي الحرارة المكتسبة يكون مساوياً لصافي شغل الخرج. هذا يكون صحيحاً لدورة كاملة عندما تكون الطاقة الحقيقية للنظام مساوية لقيمتها الحقيقية الابتدائية. إعتبر الآن إجراءً تكون فيه الطاقة الحقيقية للنظام أخيراً أكبر من الطاقة الحقيقية الابتدائية. الفرق بين صافي الحرارة المكتسبة وصافي شغل الخرج سيزيد الطاقة الحقيقية للنظام،

الكسب في الطاقة الحقيقية = صافي الحرارة المكتسبة - صافي شغل الخرج

عندما يكون صافي التأثير هو إنتقال طاقة من النظام، بالتالي سيكون هنالك فقداً في الطاقة الحقيقية للنظام.

عندما يكون هنالك مائعاً ليس في حركة فإنّ طاقته الحقيقية لكل وحدة كتلة تعرف بالطاقة الداخلية النوعية للمائع وتعطي بالرمز  $u$ . تعتمد الطاقة الداخلية للمائع على ضغطه ودرجة حرارته، وهي في حد ذاتها خاصية.

الطاقة الداخلية للكتلة،  $m$ ، يتم كتابتها ك  $U$ ، i.e.  $mu = U$ . وحدات الطاقة الداخلية،  $U$  تكتب عادة ك  $kJ$ .

بما أن الطاقة الداخلية خاصة فإنّ الكسب في الطاقة الداخلية في التغير من الحالة 1 إلى الحالة 2 يمكن

$$\text{كتابتها ك } U_1 - U_2.$$

أيضاً، الكسب في الطاقة الداخلية = صافي الحرارة المكتسبة - صافي شغل الخرج

$$U_2 - U_1 = \sum_1^2 dQ - \sum_1^2 dW$$

هذه المعادلة تكون صحيحة لإجراء أو سلسلة من الإجراءات بين الحالة 1 والحالة 2 بمعلومية أنّه ليس هنالك

سريان للمائع إلي أو من النظام. في أي إجراء لا سرياني سيكون هنالك إما حرارة مكتسبة أو حرارة مفقودة، لكن

ليس الإثنان، نفس الشيء سيكون هنالك إما شغل خرج أو شغل دخل، لكن ليس الإثنان. بالتالي، باعتبار الحرارة المكتسبة إلي النظام كموجبة والشغل المبذول (i.e. شغل الخرج) كموجب، سنحصل على،

$$U_2 - U_1 = Q - W$$

$$\text{i.e. } Q = (U_2 - U_1) + W$$

$$\text{أو } Q = (U_2 - U_1) + W \quad (1.2)$$

هذه المعادلة تعرف بمعادلة طاقة اللاتريان. في أحوال كثيرة فإنَّ المعادلة (1.2) تكتب في صورة تفاضلية. لمقدار صغير للحرارة المكتسبة dQ، مقدار صغير للشغل المبذول بالمائع dW، ولكسب صغير في الطاقة الداخلية النوعية، فإنَّ،

$$dQ = du + dW \quad (1.3)$$

**مثال (1.2):**

في شوط الإتنضاغ لمحرك إحتراق داخلي، تكون الحرارة المفقودة لماء التبريد مساوية لـ 45kj/kg وشغل الدخل مساوياً لـ 90kj/kg. أحسب التغير في الطاقة الداخلية النوعية لمائع التشغيل ذاكراً ما إذا كان كسباً أم فقداً.

**الحل:**

$$Q = -45 \text{ kj/kg} \quad (\text{-ve بما أن الحرارة مفقودة})$$

$$W = -90 \text{ kj/kg} \quad (\text{-ve بما أن الشغل هو شغل دخل للنظام})$$

مستخدماً المعادلة (1.2)،

$$Q = (u_2 - u_1) + W$$

$$\therefore -45 = (u_2 - u_1) - 90$$

$$\therefore u_2 - u_1 = +90 - 45 = 45 \text{ kj/kg}$$

∴ الكسب في الطاقة الداخلية = 45 kj/kg

مثال (1.3):

في أسطوانة محرك هواء فإنَّ الهواء المنضغط له طاقة داخلية نوعية مقدارها 240kj/kg عند بداية التمدد وطاقة داخلية مقدارها 200kj/kg بعد التمدد. أحسب سريان الحرارة إلي أو من الأسطوانة عندما يكون الشغل المبذول بواسطة الهواء أثناء التمدد مساوياً لـ 100kj/kg.

الحل:

من المعادلة (1.2)،

$$Q = (u_2 - u_1) + W$$

$$\therefore Q = (200 - 240) + 100 = -200 + 100 = -120 \text{ kj / kg}$$

i.e. الحرارة المفقودة بالهواء = 120 kj/kg

من المهم ملاحظة أنَّ المعادلات (1.1)، (1.2)، و (1.3) تكون صحيحة ما إذا كان الإجراء انعكاسياً أم غير ذلك. هذه هي معادلات طاقة.

لإجراء سريان انعكاسي سنمتلك من المعادلة (1.1)،

$$W = \int_1^2 p dv$$

أو لكميات صغيرة،  $dW = p dv$

بالتالي لأي إجراء لا سرياني انعكاسي، معوضاً في المعادلة (1.3)،

$$dQ = du + pdv \quad (1.4)$$

أو بالتعويض في المعادلة (1.2)،

$$Q = (u_2 - u_1) + \int_1^2 pdv \quad (1.5)$$

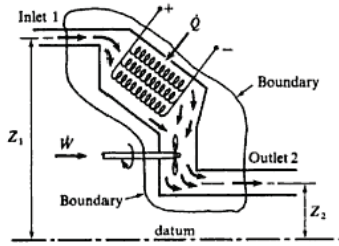
المعادلات (1.4)، (1.5) يمكن استخدامهما فقط لإجراءات لا سريانية انعكاسية مثالية.

### 1.3 معادلة السريان المستقر: (The Steady Flow Equation)

في المقطع (1.2)، قيل أن الطاقة الداخلية لمائع تكون هي الطاقة الحقيقية للمائع نتيجة لخواصه الديناميكية الحرارية. عندما يكون هنالك مائع كتلته  $1\text{kg}$  بطاقة داخلية نوعية،  $u$ ، يتحرك بسرعة  $C$  ويكون عند ارتفاع  $z$  فوق مستوي المرجعية، بالتالي فإنه يمتلك طاقة كلية مقدارها  $zg + (C^2/2) + u$ ، حيث  $C^2/2$  هي طاقة الحركة لـ  $1\text{kg}$  من مائع و  $zg$  هي طاقة الوضع لـ  $1\text{kg}$  من المائع.

في معظم المسائل العملية فإن معدّل سريان المائع خلال ماكينة أو جزء (قطعة) من جهاز يكون ثابتاً. هذا النوع من السريان يسمى بالسريان المستقر.

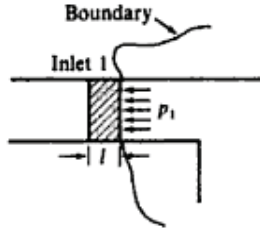
إعتبر  $1\text{kg}$  من مائع ينساب بسريان مستقر خلال قطعة من الجهاز شكل (1.2). هذا يشكل نظام مفتوح كما تم تعريفه في المقطع (1.2). يتم توضيح الحد قاطعاً ماسورة المدخل عند 1 والمخرج عند المقطع 2. يسمى هذا الحد في بعض الأحيان بسطح التحكم، والنظام المطوق بحجم التحكم.



شكل (1.2) نظام مفتوح لسريان مستقر

إفترض أنه يتم إمداد سريان مستقر لحرارة بمقدار  $Q$  وحدة لكل  $\text{kg}$  من المائع، وأن كل  $\text{kg}$  من المائع يؤدي  $W$  وحدة من الشغل كلما يمر خلال الجهاز. والآن لكي يتم إدخال  $1\text{kg}$  من المائع عبر الحد يتطلب ذلك إنفاقاً للطاقة؛ نفس الشيء لكي يتم دفع  $1\text{kg}$  من المائع عبر الحد عند المخرج، فإنه يتطلب أيضاً إنفاقاً للطاقة.

يتم توضيح مقطع المدخل مكبراً في الشكل (1.3) أدناه،



شكل (1.3) مقطع عند مدخل النظام

إعتبر عنصراً من مائع بطول  $L$ ، وإجعل مساحة المقطع العرضي لماسورة المدخل  $A_1$ . بالتالي سنحصل على،

$$\text{الطاقة المطلوبة لدفع العنصر عبر الحد} = (p_1 A_1) \times L$$

$$= p_1 \times (\text{حجم المائع})$$

، عليه ،

$$\text{الطاقة المطلوبة لـ } 1\text{kg من المائع} = p_1 v_1$$

(حيث  $v_1$  هو الحجم النوعي للمائع عند المقطع  $l$ )

نفس الشيء ، يمكن توضيح أن ،

$$p_2 v_2 = \text{الطاقة المطلوبة عند المخرج لدفع لـ } 1\text{kg من المائع عبر الحد}$$

إعتبر الآن الطاقة الداخلة والمغادرة للنظام. الطاقة الداخلة للنظام تتكون من طاقة المائع المناسب عند المدخل

$$\left( u_1 + \frac{C_1^2}{2} + z_1 g \right)$$

مصطلح الطاقة  $p_1 v_1$ ، الحرارة المكتسبة  $Q$  والشغل المبذول بواسطة المائع  $W$ . بما أن هنالك سريان مستقر

للمائع إلي أو من النظام، ستكون هنالك سرينات مستقرة للحرارة والشغل، بالتالي الطاقة المدخلة يجب أن تساوى

بالضبط الطاقة المغادرة.

$$u_1 + \frac{C_1^2}{2} + z_1 g + p_1 v_1 + Q = u_2 + \frac{C_2^2}{2} + z_2 g + p_2 v_2 + W \quad (1.6)$$



تقريباً في جميع المسائل في الديناميكا الحرارية التطبيقية يتم تجاهل التغييرات في الارتفاع و عليه يمكن حذف عناصر طاقة الوضع من المعادلة. العناصر  $u$  و  $pv$  تقع على كلا جانبي المعادلة وهي دائماً ستكون كذلك في الإجراء السرياني، بما أن المائع يمتلك دائماً طاقة داخلية معينة، والعنصر  $pv$  يعطي بالرمز  $h$ ، الذي يعرف بالمحتوى الحراري النوعي (Specific Enthalpy).

$$\text{i.e. } h = u + pv \quad (1.7)$$

المحتوى الحراري لمائع هو خاصية لذلك المائع، بما أن المحتوى الحراري هو خاصية مثل الطاقة الداخلية، الضغط، الحجم النوعي، ودرجة الحرارة، يمكن إدخاله في أي مسألة بغض النظر عن أن الإجراء سرياني أم لا سرياني. المحتوى الحراري لكتلة  $m$ ، من مائع يمكن كتابته كـ  $H = mh$ . وحدات  $h$  هي نفسها كتلك للطاقة الداخلية.

معوضاً المعادلة (1.7) في المعادلة (1.6)،

$$h_1 + \frac{C_1^2}{2} + Q = h_2 + \frac{C_2^2}{2} + W \quad (1.8)$$

المعادلة (1.8) تعرف بمعادلة طاقة السريان المستقر. في السريان المستقر فإن معدل إنسياب الكتلة للمائع عند أي مقطع هي نفسها عند أي مقطع آخر. إعتبر أي مقطع عرضي  $A$ ، حيث تكون سرعة المائع  $C$ ، بالتالي معدل سريان الحجم المار بالمقطع يكون  $CA$ . أيضاً بما أن سريان الكتلة هو عبارة عن سريان حجم مقسوماً على الحجم النوعي،

$$\dot{m} = \frac{CA}{v} = \rho CA \quad (1.9)$$

(حيث  $v$  = الحجم النوعي عند المقطع؛  $\rho$  الكثافة عند المقطع).

هذه المعادلة تعرف بمعادلة الاستمرارية للكتلة.

بالرجوع للشكل رقم (1.2)،

$$\dot{m} = \frac{C_1 A_1}{v_1} = \frac{C_2 A_2}{v_2}$$

مثال (1.4):

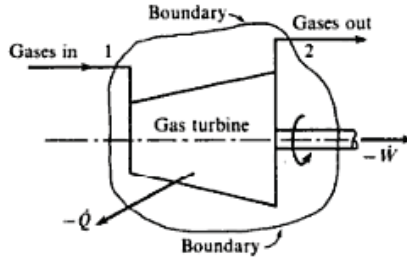
في توربينة وحدة توربينية غازية تنساب الغازات خلال التوربين عند  $17 \text{ kg/s}$  وتكون القدرة المتولدة بواسطة التوربينة مساوياً لـ  $14,000 \text{ kW}$ . وتكون المحتويات الحرارية للغازات عند المدخل والمخرج هما  $1200 \text{ kJ/kg}$  و  $360 \text{ kJ/kg}$  على الترتيب، والسرعات للغازات عند المدخل والمخرج هما  $60 \text{ m/s}$  و  $150 \text{ m/s}$  على الترتيب. أحسب المعدل الذي تفقد به الحرارة من التوربينة. أوجد أيضاً مساحة ماسورة المدخل بمعلومية أن الحجم النوعي للغازات عند المدخل  $0.5 \text{ m}^3/\text{kg}$ .

الحل:

يتم توضيح تمثيل تخطيطي للتوربينة في الشكل (1.4) أدناه.

من المعادلة (1.8)،

$$h_1 + \frac{C_1^2}{2} + Q = h_2 + \frac{C_2^2}{2} + W$$



شكل (1.4) توربين غازي

$$\text{طاقة الحركة عند المدخل} = \frac{C_1^2}{2} = \frac{60^2}{2} \text{ m}^2/\text{s}^2 = \frac{60^2 \text{ kg m}^2}{2 \text{ s}^2 \text{ kg}}$$

$$= 1800 \text{ N m} / \text{kg} = 1.8 \text{ kJ} / \text{kg}$$

$$\text{طاقة الحركة عند المدخل} = \frac{C_2^2}{2} = 2.5^2 \times (\text{طاقة الحركة عند المخرج})$$

$$2.5^2 \times 1.8 = \underline{11.25} \text{ kJ/kg (أن } C_2 = 2.5C_1)$$

$$W = \frac{14,000}{17} \text{ kJ/kg} = \underline{823.5} \text{ kJ/kg}$$

بالتعويض في المعادلة (1.8)،

$$1200 + 1.8 + Q = 360 + 11.25 + 823.5$$

$$\therefore Q = -7.02 \text{ kJ/kg}$$

$$\text{i.e. الحرارة المفقودة} = +7.02 \text{ kJ/kg} = 7.02 \times 17 = \underline{119.3W}$$

لإيجاد مساحة المدخل، استخدم المعادلة (1.9)،

$$\text{i.e. } \dot{m} = \frac{CA}{v} \quad \therefore A = \frac{v\dot{m}}{C}$$

$$\therefore \text{مساحة المدخل، } A_1 = \frac{17 \times 0.5}{60} = \underline{0.142} \text{ m}^2$$

**مثال (1.5):**

ينساب هواء بإستقرار بمعدّل 0.4kg/s خلال ضاغط هواء، حيث يدخل بسرعة 6m/s، بضغط 1bar وبحجم نوعي 0.85m<sup>3</sup>/kg، ويغادر بسرعة 4.5m/s، وبضغط 6.9bar وبحجم نوعي 1.6m<sup>3</sup>/kg. وتكون الطاقة الداخلية النوعية للهواء المغادر أكبر من تلك للهواء الداخل بمقدار 88kJ/kg. ماء التبريد الموجود في تجاويف محيطية بالأسطوانة يمتص الحرارة من الهواء بمعدّل 59kJ/s. أحسب القدرة المطلوبة لإدارة الضاغط ومساحة المقطع العرضي لمدخل ومخرج الماسورة.

**الحل:**

في هذه المسألة من الملائم أكثر كتابة معدّل السريران كما في المعادلة (1.6)، بحذف العناصر z.

$$u_1 + \frac{C_1^2}{2} + p_1 v_1 + Q = u_2 + \frac{C_2^2}{2} + p_2 v_2 + W$$

هنالك تمثيل تخطيطي للضاغط يتم توضيحه في الشكل (1.5) أدناه.

**ملحوظة:** الحرارة المفقودة عبر الحد تكون مكافئة للحرارة المزلة بماء التبريد من الضاغط.

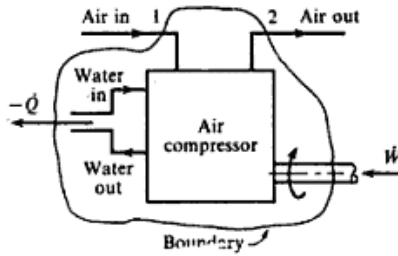
$$\frac{C_1^2}{2} = \frac{6 \times 6}{2} \text{ j/kg} = 18 \text{ J/kg}$$

$$\frac{C_2^2}{2} = \frac{4.5 \times 4.5}{2} \text{ j/kg} = 10.1 \text{ J/kg}$$

$$p_1 v_1 = 1 \times 10^5 \times 0.85 = 85,000 \text{ J/kg}$$

$$p_2 v_2 = 6.9 \times 10^5 \times 0.16 = 110,000 \text{ J/kg}$$

$$u_2 - u_1 = 88 \text{ kJ/kg}$$



شكل (1.5) تمثيل تخطيطي للضاغط

$$\text{الحرارة المفقودة} = 59 \text{ kJ/s} = \frac{59}{0.4} = 147.5 \text{ kJ/kg}$$

$$W = (u_1 - u_2) + (p_1 v_1 - p_2 v_2) + \left( \frac{C_1^2}{2} - \frac{C_2^2}{2} \right) + Q$$

$$\text{i.e. } W = -88 + 85 - 110.4 + 0.018 - 0.0101 - 147.5 = -260.9 \text{ kJ/kg}$$

(ملحوظة: يكون التغير في طاقة الحركة صغير جداً بحيث يمكن تجاهله بالمقارنة مع العناصر الأخرى).

$$\text{i.e. شغل الدخل المطلوب} = 260.9 \text{ kJ/kg}$$

$$= 260.9 \times 0.4 \text{ kJ/s} = 104.4 \text{ kW}$$

من المعادلة (1.9)،

$$\dot{m} = \frac{CA}{v}$$

$$\text{i.e. } A_1 = \frac{0.4 \times 0.85}{6} \text{ m}^2 = \underline{0.057 \text{ m}^2}$$

$$\text{i.e. مساحة المقطع العرضي لماسورة المدخل} = \underline{0.057 \text{ m}^2}$$

نفس الشيء ،

$$A_2 = \frac{0.4 \times 0.16}{6} \text{ m}^2 = \underline{0.014 \text{ m}^2}$$

$$\text{i.e. مساحة المقطع العرضي لماسورة المخرج} = \underline{0.014 \text{ m}^2}$$

في المثال (1.5) تم استخدام معادلة طاقة السريان المستقر، بالرغم من الحقيقة التي تقول أن الانضغاط يتكون من: سحب هواء؛ إنضغاط في أسطوانة مغلقة؛ وتصريف هواء. يمكن استخدام معادلة السريان المستقر لأن دورة الإجراءات تحدث مرات عديدة في الدقيقة، بالتالي فإن التأثير المتوسط يكون سريان مستقر لهواء خلال الماكينة.

#### 1.4 مسائل: (Problems)

1- في ضاغط هواء يحدث الإنضغاط بطاقة داخلية ثابتة وهناك 50kj من الحرارة يتم فقدها لماء التبريد لكل kg من الهواء. أوجد الشغل المطلوب لشوط الإنضغاط لكل kg من الهواء.

Ans. (50kj/kg)

2- في شوط الإنضغاط لتوربينة غاز فإن الشغل المبذول على الغاز بواسطة الكباس يساوي 70kj/kg والحرارة المفقودة لماء التبريد تعادل 42kj/kg. أوجد التغير في الطاقة الداخلية، ذكراً ما إذا كانت كسباً أم فقداً.

Ans. (28 kj/kg ، كسب)

3- كتلة غاز بطاقة داخلية مقدارها 1500 kj تكون محتواة في أسطوانة ذات عزل حراري مثالي. يُسمح للغاز بالتمدد خلف الكباس حتى تكون طاقته الداخلية مساوية لـ 1400 kj. أحسب الشغل المبذول بالغاز. إذا كان

التمدد يتبع القانون  $pv^2 = \text{constant}$ ، الضغط والحجم الابتدائيان للغاز هما 28bar و  $0.06\text{m}^3$  على الترتيب، أحسب الضغط والحجم النهائيين.

Ans. (100 kj ; 4.59 bar ,  $0.148\text{m}^3$ )

4- للغازات في أسطوانة محرك احتراق داخلي طاقة داخلية مقدارها  $800\text{kJ/kg}$  وحجم نوعي مقداره  $0.06\text{m}^3/\text{kg}$  عند بداية التمدد، تمدد الغازات يمكن إفتراض حدوثه طبقاً للقانون الانعكاسي  $pv^{1.5}=\text{constant}$ ، من 55bar إلي 1.4bar. وتكون الطاقة الداخلية بعد التمدد مساوياً لـ  $230\text{kJ/kg}$ . أحسب الحرارة المفقودة إلي أسطوانة ماء التبريد لكل kg من الغازات أثناء شوط التمدد.

Ans. (104 kj/kg)

5- توربينة بخار تستقبل سريان بخار بمقدار  $1.35\text{kg/s}$ . وتقوم بتوليد  $500\text{kW}$ . فقدان الحرارة من الغلاف يمكن تجاهله.

أ- أوجد التغير في المحتوى الحراري النوعي عبر التوربينة عندما يتم تجاهل السرعات عند المدخل والمخرج والفرق في الإرتفاع عند المدخل والمخرج.

ب- أوجد التغير في المحتوى الحراري النوعي عبر التوربينة عندما تكون السرعة عند المدخل مساوية لـ  $60\text{m/s}$ ، السرعة عند المخرج  $360\text{m/s}$ ، وتبعد ماسورة المدخل مسافة  $3\text{m}$  فوق ماسورة العادم.

Ans. (370 kj/kg, 433 kj/kg)

6- بخار ذو سريان مستقر يدخل مكثفياً بمحتوى حراري مقداره  $2300\text{kJ/kg}$  وبسرعة  $350\text{m/s}$ . يغادر البخار المتكاثف المكثف بمحتوى حراري مقداره  $160\text{kJ/kg}$  وبسرعة مقدارها  $70\text{m/s}$ . أوجد الحرارة المنقلة لمائع التبريد لكل kg من البخار المكثف.

Ans. (- 2199 kj/kg)

7- توربينة تستغل تحت شروط سريان مستقر تستقبل بخاراً عند الحالة التالية: ضغط 13.8bar؛ حجم نوعي  $0.143\text{m}^3/\text{kg}$ ؛ طاقة داخلية  $2590\text{kJ/kg}$ ؛ سرعة  $30\text{m/s}$ . وحالة البخار المغادر للتوربينة هي: ضغط 0.35bar؛ حجم نوعي  $4.37\text{m}^3/\text{kg}$ ؛ طاقة داخلية  $2360\text{kJ/kg}$ ؛ سرعة  $90\text{m/s}$ . تُفقد الحرارة إلي البيئة

المحيطة بمعدّل  $0.25\text{kJ/s}$ . إذا كان معدّل سريان البخار يساوي  $0.38\text{kJ/s}$ ، ما هي القدرة المتولدة بواسطة التوربينة.

Ans. (102.8 kW)

8- الفوهة هي عبارة عن جهاز لزيادة السرعة لجدول مائع ذو سريان مستقر. عند المدخل لفوهة معينة فإنّ المحتوى الحراري للمائع يكون  $3025\text{ kJ/kg}$  والسرعة  $60\text{m/s}$ . عند المخرج من الفوهة يكون المحتوى الحراري  $2790\text{kJ/kg}$ . إذا كانت الفوهة أفقية والفقء الحراري منها يتم تجاهله.

أ- أحسب السرعة عند مخرج الفوهة.

ب- إذا كانت مساحة المدخل تساوي  $0.1\text{m}^2$  والحجم النوعي عند المدخل يساوي  $0.19\text{m}^3/\text{kg}$ ، أوجد معدّل سريان المائع.

ج- إذا كان الحجم النوعي عند مخرج الفوهة يساوي  $0.5\text{m}^3/\text{kg}$ ، أوجد مساحة المخرج للفوهة.

Ans. (688 m/s , 31.6kg/s , 0.0229m<sup>2</sup>)



## الفصل الثاني

### الإجراءات الإنعكاسية واللا انعكاسية

#### (Reversible and Irreversible Processes)

في الفصول السابقة تم إثبات معادلات الطاقة لإجراءات اللا سريان وللسريان، وتم تقديم مفاهيم الإنعكاسية واللاإنعكاسية، ومناقشة خواص البخار والغازات المثالية. الغرض من هذا الفصل هو إعتبار إجراءات من الواقع العملي وتوحيد هذا بالعمل الموجود في الفصول السابقة.

#### 2.1 إجراءات لا سريانية إنعكاسية: (Reversible Non – Flow Processes)

##### 1. إجراء الحجم الثابت: (Constant Volume Process)

في إجراء ثابت الحجم تكون مادة التشغيل محتواة في وعاء صلد (rigid vessel)، بالتالي فإن حدود النظام تكون غير قابلة للحركة و لا يمكن أن يكون هنالك شغلاً مبدولاً على أو بالنظام، غير شغل دخل عجلة التحريك. سيتم إفتراض أن الحجم الثابت يتضمن شغلاً صغيراً صفرياً ما لم يُذكر غير ذلك. من معادلة طاقة اللا سريان (1.2)،

$$Q = (u_2 - u_1) + W$$

بما أنه ليس هنالك شغلاً مبدولاً، عليه نحصل على،

$$Q = u_2 - u_1 \quad (2.1)$$

أو لكتلة،  $m$ ، من مادة التشغيل،

$$Q = U_2 - U_1 \quad (2.2)$$

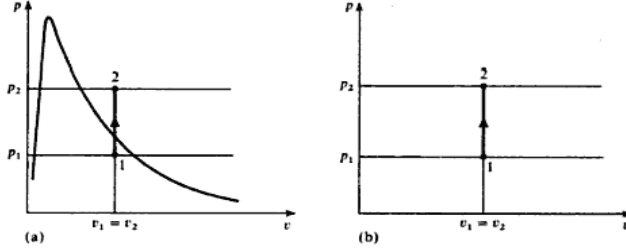
تستخدم جميع الحرارة المكتسبة في إجراء الحجم الثابت في زيادة الطاقة الداخلية.

يتم توضيح إجراء حجم ثابت لبخار على مخطط  $p - v$  في الشكل رقم (2.1(a)). ولقد تم إختيار الحالات

الأولية و النهائية لتكونا في المنطقة الرطبة والمنطقة المحمصة على الترتيب. في الشكل رقم (2.1(b)) يتم

توضيح إجراء ثابت الحجم على مخطط  $p - v$  لغاز مثالي . لغاز مثالي نحصل على،

$$Q = mc_v(T_2 - T_1)$$



شكل (2.1) إجراء ثابت الحجم لبخار ولبغاز مثالي

## 2. إجراء الضغط الثابت: (Constant Pressure Process)

يمكن الملاحظة من الأشكال (2.1(a)) و (2.1(b)) عندما تكون حدود النظام غير مرنة كما في إجراء الحجم الثابت، إنَّ الضغط يرتفع عندما يتم إمداد الحرارة. بالتالي لإجراء ثابت الضغط فإنَّ الحد يجب أن يتحرك ضد مقاومة خارجية كلما يتم إمداد الحرارة؛ كمثال فإنَّ مائعاً في أسطوانة خلف كباس يمكن ترتيبه لأداء إجراء ثابت الضغط. بما أنَّه يتم دفع الكباس خلال مسافة معينة بالقوة التي يؤديها المائع، بالتالي فإنَّ الشغل يكون مبدولاً على بيئته المحيطة.

من المعادلة لأي إجراء إنعكاسياً،

$$W = \int_{v_1}^{v_2} p dv$$

عليه بما أن  $p$  تكون ثابتة،

$$W = \int_{v_1}^{v_2} p dv = p(v_2 - v_1)$$

من معادلة طاقة اللا سريان (1.2)،

$$Q = (u_2 - u_1) + W$$

بالتالي لإجراء ثابت الضغط إنعكاسي،

$$Q = (u_2 - u_1) + p(v_2 - v_1) = (u_2 + pv_2) - (u_1 + pv_1)$$

الآن من المعادلة (1.7)، المحتوى الحراري،  $h = u + pv$ ، بالتالي،

$$Q = h_2 - h_1 \quad (2.3)$$

أو لكتلة،  $m$ ، لمائع،

$$Q = H_2 - H_1 \quad (2.4)$$

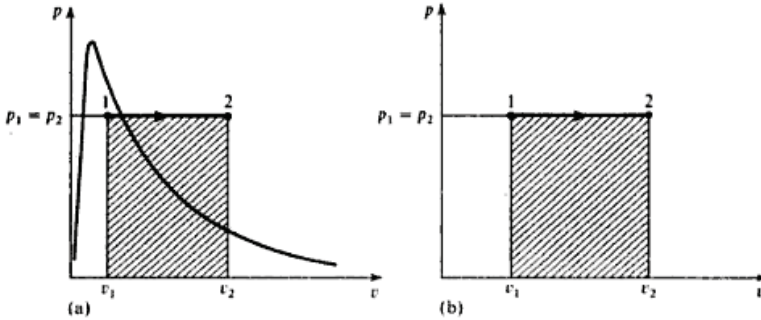
إجراء الضغط الثابت لبخار يكون موضعاً على مخطط  $p - v$  في الشكل (2.1(a)).

لقد تم إختيار الحالات الأولية والنهائية لتكونا في المنطقة الرطبة والمنطقة المحمصة على الترتيب. في الشكل

(2.2(b)) يتم توضيح إجراء ثابت الضغط لغاز مثالي على مخطط  $p - v$ .

غاز مثالي نحصل من إجراء اللاسريان الإنعكاسي عند ضغط ثابت على ،

$$Q = mc_p(T_2 - T_1)$$



شكل (2.2) إجراء ثابت الضغط لبخار وغاز مثالي

لاحظ أنه في الأشكال (2.2(a)) و (2.2(b)) أن المساحات المظللة تمثل الشغل المبذول بواسطة المائع

$$p(v_2 - v_1)$$

مثال (2.1):

كتلة مقدارها 0.05kg من مائع يتم تسخينها بضغط ثابت مقداره 2bar حتى يكون الحجم المحتل مساوياً لـ  $0.0658\text{m}^3$ . أحسب الحرارة المكتسبة والشغل المبذول:

a/ عندما يكون المائع بخاراً، إبتدائياً جافاً مشبعاً.

b/ عندما يكون المائع هواء، إبتدائياً عند  $130^\circ\text{C}$ .

الحل:

a/ إبتدائياً يكون المائع جافاً مشبعاً عند الضغط 2bar، بالتالي،

$$h_1 = h_g \text{ at } 2 \text{ bar} = 2707 \text{ kJ/kg}$$

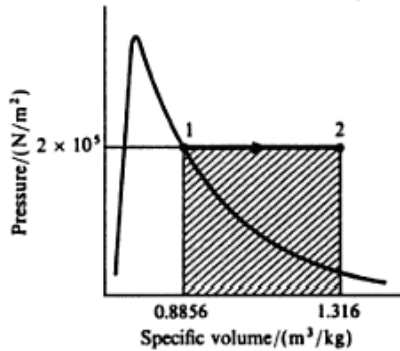
نهائياً يكون المائع عند 2 bar ويعطي الحجم النوعي بـ

$$v_2 = \frac{0.0658}{0.05} = 1.316 \text{ m}^3/\text{kg}$$

بالتالي من المعادلة (2.4) ،

$$Q = H_2 - H_1 = m(h_2 - h_1) = 0.05 \times (3072 - 2707) = 18.25 \text{ kJ}$$

$$\text{i.e. الحرارة المكتسبة} = 0.05 \times 365 = 18.25 \text{ kJ}$$



شكل (2.3) إجراء لبخار

i.e. يتم توضيح الإجراء على مخطط  $p - v$  في الشكل (2.3). يتم إعطاء الشغل المبذول بالمساحة المظللة؛

$$W = p(v_2 - v_1) \text{ N.m / kg}$$

$$v_1 = v_g \text{ at } 2 \text{ bar} = 0.8856 \text{ m}^3 / \text{kg}, v_2 = 1.316 \text{ m}^3 / \text{kg}$$

$$\therefore W = 2 \times 10^5 (1.316 - 0.8856) = 2 \times 10^5 \times 0.4304 \text{ N.m / kg}$$

$$\text{الشغل المبذول بالكتلة الكلية الموجودة} = 0.05 \times 2 \times 10^5 \times 0.4304 \times 10^{-3} \text{ Nm}$$

$$= \underline{4.034} \text{ kj}$$

/b مستخدماً المعادلة،

$$T_2 = \frac{p_2 v_2}{mR} = \frac{2 \times 10^5 \times 0.0658}{0.05 \times 0.287 \times 10^3} = \underline{917K}$$

لغازاً مثالياً يؤدي إجراء ثابت الحجم،

$$Q = mc_p (T_2 - T_1)$$

$$\text{i.e. الحرارة المكتسبة} = 0.05 \times 1.005 (917 - 403)$$

$$(T_1 = 130 + 273 = 403K \text{ حيث})$$

$$= 0.05 \times 1.005 \times 514 = \underline{25.83} \text{ kj}$$

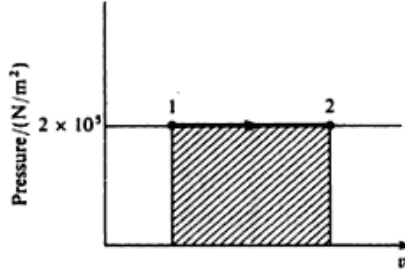
i.e. يتم توضيح الإجراء على مخطط  $p - v$  في الشكل (2.4). يتم إعطاء الشغل المبذول بالمساحة المظللة،

$$pv = RT \text{ من المعادلة } W = p(v_2 - v_1) \text{ N.m / kg}$$

$$\therefore \text{ الشغل المبذول} = R(T_2 - T_1) = 0.287(917 - 403) \text{ kj / kg}$$

$$\text{i.e. الطاقة المبذولة بكتلة الغاز الموجودة} = 0.05 \times 287 \times 514$$

$$= \underline{7.38} \text{ kj}$$



شكل (2.4) إجراء لغاز مثالي

### 3. الإجراء ثابت درجة الحرارة:

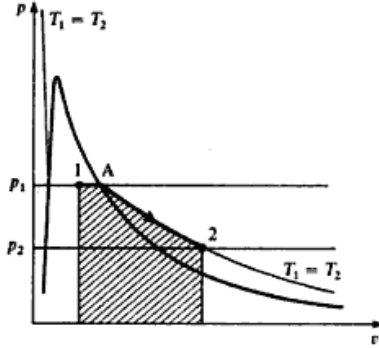
#### (Constant Temperature Process or Isothermal Process)

الإجراء عند درجة حرارة ثابتة يسمى بإجراء ثابت درجة الحرارة. عندما يتمدد مائع في أسطوانة خلف كباس من ضغط عالٍ إلى ضغط منخفض يكون هنالك ميلاً لهبوط درجة الحرارة. في التمدد ثابت درجة الحرارة فإن الحرارة يجب أن تضاف باستمرار لكي تحافظ على درجة الحرارة عند القيمة الابتدائية. نفس الشيء في انضغاط ثابت درجة الحرارة فإن الحرارة يجب إزالتها من المائع باستمرار خلال الإجراء. يتم توضيح إجراء ثابت درجة الحرارة على مخطط  $p - v$  كما في الشكل (2.5). لقد تم إختيار الحالات الابتدائية والنهائية في المنطقة الرطبة والمنطقة المحمصة على الترتيب.

من الحالة 1 إلى الحالة A يبقى الضغط عند  $p_1$ ، بما أنه في المنطقة الرطبة فإن الضغط ودرجة الحرارة هما قيمتا التشبع المناظرة. عليه يمكن الملاحظة أن الإجراء ثابت درجة الحرارة لبخار يكون أيضاً عند ضغط ثابت ويمكن استخدام المعادلات (2.3) و(2.4) (e.g.) الحرارة المكتسبة من الحالة 1 إلى الحالة A لكل kg من البخار تساوي  $(h_A - h_1)$ . في المنطقة المحمصة يهبط الضغط إلى  $p_2$  كما موضح في الشكل (2.5). لا يكون الإجراء بسيطاً. عندما يتم تثبيت الحالات 1 و2 فإنه يمكن الحصول على الطاقات الداخلية  $u_1$  و  $u_2$  من الجدول. يُعطي الشغل المبذول بالمساحة المظللة في الشكل (2.5). هذا يمكن تقييمه فقط برسم الإجراء وقياس المساحة مخططياً. على أي حال، عندما يتم تقديم خاصية القصور الحراري،  $s$ ، فسوف يتم

توضيح طريقة ملائمة لحساب الحرارة المكتسبة. عندما يتم حساب سريان الحرارة فإنه يمكن الحصول على الشغل المبذول بواسطة معادلة طاقة اللاسريان (1.2)،

$$Q = (u_2 - u_1) + W$$



شكل (2.5) إجراء ثابت درجة الحرارة لبخار على مخطط  $p - v$ .

مثال (2.2):-

بخار عند ضغط 7bar وكسر جفاف 0.9 يتمدد في أسطوانة خلف كباس بثبوت درجة الحرارة وبانعكاسية إلي ضغط 1.5bar. أحسب التغير في الطاقة الداخلية والتغير في المحتوى الحراري لكل kg من البخار. وُجد أن الحرارة المكتسبة أثناء الإجراء تكون مساوية لـ 574kJ/kg، أحسب الشغل المبذول لكل kg من البخار.

الحل:

يتم توضيح الإجراء في الشكل (2.6). تكون درجة حرارة التشبع المناظرة لـ 7bar هي  $165^\circ\text{C}$ . عليه فإن

البخار يكون محمصاً عند الحالة 2. الطاقة الداخلية عند الحالة 1 يتم إيجادها من المعادلة،

$$u_1 = (1-x)u_f + xu_g = (1-0.9) \times 696 + (0.9 \times 2573)$$

$$\therefore u_1 = 69.6 + 2315.7 = 2385.3 \text{ kJ/kg}$$

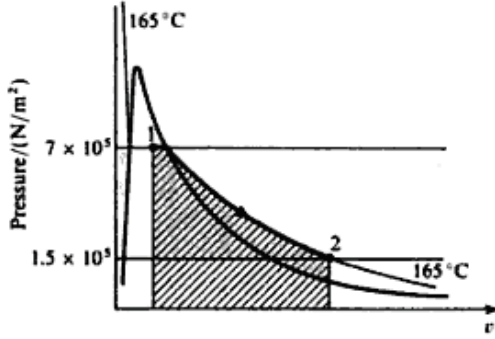
بالاستكمال من جداول التحميص عند 1.5bar و  $165^\circ\text{C}$ ، نحصل على،

$$u_2 = 2580 + \frac{15}{50}(2656 - 2580) = 2580 + 22.8$$



$$\text{i.e. } u_2 = 2602.8 \text{ kJ/kg}$$

$$\begin{aligned} \text{عليه، الكسب في الطاقة الداخلية} &= u_2 - u_1 = 2602.8 - 2385.3 \\ &= 217.5 \text{ kJ/kg} \end{aligned}$$



شكل (2.6) إجراء ثابت درجة الحرارة على مخطط  $p - v$

$$h_1 = h_f + xh_{fg} = 697 + 0.9 \times 2067$$

$$\therefore h_1 = 697 + 1860.3 = 2557.3 \text{ kJ/kg}$$

بالاستكمال من جداول التحميص عند 1.5bar و 165°C، نحصل على

$$h_2 = 2773 + \frac{15}{50}(2873 - 2773) = 2773 + 30$$

$$\text{i.e. } u_2 = 2803 \text{ kJ/kg}$$

$$\text{i.e. } h_2 - h_1 = 2803 - 2557.3 = 245.7 \text{ kJ/kg}$$

من معادلة اللاسريان (1.2)،

$$Q = (u_2 - u_1) + W$$

$$\therefore W = Q - (u_2 - u_1) = 547 - 217.5 = 329.5 \text{ kJ/kg}$$

$$\text{i.e. الشغل المبذول بواسطة البخار} = 329.5 \text{ kJ/kg}$$

(الشغل المبذول يُعطي أيضاً بالمعادلة من الشكل (2.6)،  $W = \int_{v_1}^{v_2} p \, dv$ ؛ هذا يمكن تقييمه فقط مخطئياً).

الإجراء ثابت درجة الحرارة لغاز مثالي يمكن التعامل معه بسهولة أكبر من الإجراء ثابت درجة الحرارة لبخار،  
 بما أن قوانين محددة للغاز المثالي تربط بعلاقات  $p$ ،  $v$ ، و  $T$ ، و الطاقة الداخلية  $u$  سنحصل على،

$$p v = R T$$

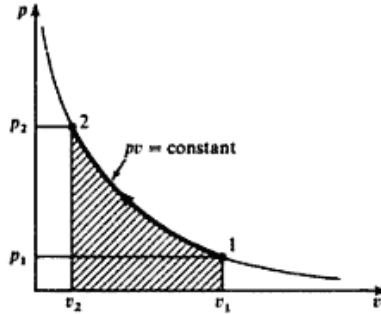
الآن عندما تكون درجة الحرارة ثابتة كما في إجراء ثابت درجة الحرارة بالتالي نحصل على

$$p v = R T = \text{constant}$$

عليه لإجراء ثابت درجة الحرارة لغاز مثالي.

$$p v = \text{constant} \quad (2.5)$$

$$\text{i.e.} \quad p_1 v_1 = p_2 v_2 = p_3 v_3 \text{ etc.}$$



شكل (2.7) إجراء ثابت درجة الحرارة لغاز مثالي

في الشكل (2.7) يتم توضيح إجراء ثابت درجة الحرارة لغاز مثالي على مخطط  $p - v$ . تكون المعادلة للإجراء هي  $pv = \text{constant}$  والتي هي معادلة قطع زائد.

يجب التأكيد بأن الإجراء ثابت درجة الحرارة يكون فقط في الصورة  $p v = \text{constant}$  لغاز مثالي ، لأنه فقط لغاز مثالي يمكن تطبيق معادلة الحالة  $p v = RT$ . يتمدد الشغل المبذول بغاز مثالي يمكن تطبيق معادلة الحالة  $p v = RT$ . يتمدد الشغل المبذول بغاز مثالي من الحالة 1 إلى الحالة 2 بثبوت درجة الحرارة وبتنعكسية ويُعطي بالمساحة المظلمة على الشكل (2.7).

$$W = \int_{v_1}^{v_2} p \, dv$$

في هذه الحالة  $p = C/v$  أو  $p v = \text{constant}$  (حيث ثابت  $C$ ).

$$W = \int_{v_1}^{v_2} C \frac{dv}{v} = C [\log_e v]_{v_1}^{v_2} = C \log_e \frac{v_2}{v_1}$$

الثابت  $C$  يمكن كتابته كـ  $p_1 v_1$  أو  $p_2 v_2$  بما أن  $p_1 v_1 = p_2 v_2 = \text{constant}$

$$\text{i.e. } W = p_1 v_1 \log_e \frac{v_2}{v_1} \quad (2.6) \quad \text{لكل وحدة من كتلة الغاز}$$

$$\text{أو } W = p_2 v_2 \log_e \frac{v_2}{v_1} \quad \text{لكل وحدة من كتلة الغاز}$$

لكتلة،  $m$ ، للغاز،

$$W = p_1 v_1 \log_e \frac{v_2}{v_1} \quad (2.7)$$

أيضاً بما أن  $p_1 v_1 = p_2 v_2$ ، بالتالي،

$$\frac{v_2}{v_1} = \frac{p_1}{p_2}$$

بالتالي بالتعويض في المعادلة (2.6)،

$$W = p_1 v_1 \log_e \frac{p_1}{p_2} \quad (2.8) \quad \text{لكل وحدة من الغاز}$$

أو لكتلة،  $m$ ، من الغاز،

$$W = p_1 V_1 \log_e \frac{p_1}{p_2} \quad (2.9)$$

مستخدماً المعادلة،

$$p_1 v_1 = RT$$

بالتالي بالتعويض في المعادلة (2.8)،

$$W = RT \log_e \frac{P_1}{P_2} \quad (2.10) \quad \text{لكل وحدة كتلة من الغاز}$$

أو لكتلة،  $m$ ، من الغاز،

$$W = RT \log_e \frac{P_1}{P_2} \quad (2.11)$$

من الواضح أنَّ هناك عدد كبير من المعادلات للشغل المبذول، ولا يجب بذل أي محاولة لتذكرها بما أنها جميعاً يمكن إستقائها ببساطة شديدة من المبادئ الأولية.

لغاز مثالي من قانون جول،

$$U_2 - U_1 = mc_v(T_2 - T_1)$$

بالتالي لإجراء ثابت درجة الحرارة لغاز مثالي، بما أنَّ  $T_2 = T_1$ ، فإنَّ،

$$U_2 - U_1 = 0$$

i.e. تبقى الطاقة الداخلية ثابتة المقدار في إجراء ثابت درجة الحرارة لغاز مثالي.

من معادلة اللاسريان (1.2)،

$$Q = (u_2 - u_1) + W$$

بما أنَّ  $u_2 = u_1$ ، فإنَّ،

$$Q = W \quad (2.12)$$

لإجراء ثابت درجة الحرارة لغاز مثالي.

لاحظ سريان الحرارة يكون مكافئاً للشغل المبذول في إجراء ثابت درجة الحرارة لغاز مثالي فقط . من المثال

(2.2) ليخار يُلاحظ أنه، بالرغم من أنَّ الإجراء يكون ثابت درجة الحرارة، فإنَّ التغير في الطاقة الداخلية يكون

مساوياً لـ  $217.5 \text{ kJ/kg}$ ، ولا تكون الحرارة المكتسبة مكافئة للشغل المبذول.

مثال (2.3) :-

كتلة مقدارها  $1 \text{ kg}$  من النيتروجين (كتلته الجزيئية  $28 \text{ kg/kmol}$ ) يتم إنضغاطه بإنعكاسية وبثبوت درجة الحرارة

من 1.01 bar، 20°C إلى 4.2 bar. أحسب الشغل المبذول وسريان الحرارة أثناء الإجراء. افترض أن النيتروجين يكون غازاً مثالياً.

الحل:-

للنيتروجين،

$$R = \frac{R_o}{M} = \frac{8.314}{28} = 0.297 \text{ kJ/kgK}$$

يكون الإجراء موضحاً على مخطط  $p - v$  كما في الشكل (2.8). لقد تمت الإشارة إلى أن الإجراء

يحدث من اليمين إلى اليسار على مخطط  $p - v$  بالتالي فإن الشغل المبذول بواسطة المائع يكون سالباً. أي أن الشغل يكون مبذولاً على المائع.

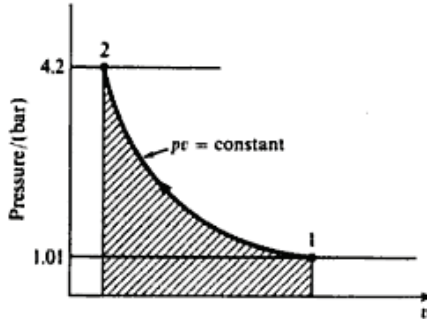
من المعادلة (2.10)،

$$W = RT \log_e \frac{p_1}{p_2} = 0.297 \times 293 \times \log_e \frac{1.01}{4.2}$$

$$\text{i.e. } W = -0.297 \times 293 \times \log_e \frac{4.2}{1.01} = -0.297 \times 293 \times 1.425$$

(حيث  $T = 20 + 273 = 293\text{K}$ )

$$\text{i.e. شغل الدخل} = +0.297 \times 293 \times 1.425 = 124 \text{ kJ/kg}$$



شكل (2.8) إجراء ثابت درجة الحرارة على مخطط  $p - v$

من المعادلة (2.12)، لإجراء ثابت درجة الحرارة لغاز مثالي،

$$Q = W = -124 \text{ kJ/kg}$$

i.e. الحرارة المفقودة =  $+124 \text{ kJ/kg}$

2.2 الإجراء اللاسرياني كاظم الحرارة الإنعكاسي:

### (Reversible Adiabatic Non-Flow Process)

الإجراء كاظم الحرارة هو ذلك الإجراء الذي لا تنتقل فيه الحرارة إلي أو من المائع أثناء الإجراء. مثل هذا الإجراء يمكن أن يكون إنعكاسياً أو لا إنعكاسياً. سيتم إعتبار الإجراء اللاسرياني كاظم الحرارة الإنعكاسي في هذا المقطع.

من معادلة اللاسريان (1.2)،

$$Q = (u_2 - u_1) + W$$

ولإجراء كاظم الحرارة،  $Q = 0$

عليه نحصل على،

$$(2.13) \text{ لأي إجراء كاظم للحرارة } Q = u_2 - u_1 \text{، لإجراء كاظم الحرارة}$$

تكون المعادلة (2.13) صحيحة لإجراء كاظم الحرارة إذا ما كان الإجراء إنعكاسياً أم غير ذلك. في التمدد كاظم الحرارة، فإن الشغل المبذول بواسطة المائع يكون على حساب الإنخفاض في الطاقة الداخلية للمائع. نفس الشيء، في إجراء إنضغاط كاظم الحرارة فإن جميع الشغل المبذول على المائع يؤدي لزيادة الطاقة الداخلية للمائع. لكي يحدث إجراء كاظم للحرارة، يجب أن يكون هنالك عزل حراري مثالي متاح للنظام.

لبخار يؤدي إجراء كاظم للحرارة إنعكاسياً فإن الشغل المبذول يمكن إيجاده من المعادلة (2.13) بتقييم  $u_1$  و  $u_2$  من الجداول. لكي يتم تثبيت الحالة 2، يجب استخدام الحقيقة القائلة أن الإجراء يكون إنعكاسياً وكاظم للحرارة. عندما يتم تقديم خاصية القصور الحراري،  $s$ ، سيتم توضيح أن إجراء كاظم للحرارة إنعكاسياً يحدث قصور حراري ثابت، وهذه الحقيقة يمكن أن تستخدم لتثبيت الحالة 2.

لغاز مثالي، فإن قانوناً يربط بين  $p$  و  $v$  يمكن الحصول عليه لإجراء كاظم للحرارة إنعكاسي، باعتبار

معادلة طاقة اللاسريان في شكل تفاضلي. من المعادلة (2.2)،

$$dQ = du + dW$$

أيضاً لأجراء إنعكاسي  $dW = p dv$ ، بالتالي لإجراء كاظم الحرارة،

$$dQ = du + dW = 0 \quad (2.14)$$

$$h = u + pv \quad \text{بما أن}$$

$$dh = du + p dv + v dp \quad \text{فإن،}$$

$$\text{i.e. } dQ = du + dW \quad du + p dv = dh - v dp$$

وبالتالي،

$$dQ = dh - v dp = 0 \quad (2.15)$$

بالتالي،

$$du + \frac{RT dv}{v} = 0$$

$$u = c_v T \quad \text{أو} \quad du = c_v dT$$

$$\therefore c_v dT + \frac{RT dv}{v} = 0$$

بقسمة المعادلة %  $T$  لإعطاء شكلاً يمكن تكامله،

$$c_v \frac{dT}{T} + \frac{R dv}{v} = 0$$

بالتكامل،

$$c_v \log_e T + R \log_e v = \text{constant}$$

$$T = (pv)/R \quad \text{عليه بالتعويض،}$$

$$c_v \log_e \frac{pv}{R} + R \log_e v = \text{constant}$$

بقسمة المعادلة %  $c_v$ ،

$$\log_e \frac{pv}{R} + \frac{R}{c_v} \log_e v = \text{constant}$$

أيضاً،

$$c_v = \frac{R}{(\gamma - 1)} \quad \text{أو} \quad \frac{R}{c_v} = \gamma - 1$$

بالتالي بالتعويض،

$$\log_e \frac{pv}{R} + (\gamma - 1) \log_e v = \text{constant}$$

$$\text{أو} \quad \log_e \frac{pv}{R} + \log_e v^{\gamma-1} = \text{constant}$$

$$\therefore \log_e \frac{pvv^{\gamma-1}}{R} = \text{constant}$$

$$\text{i.e.} \quad \log_e \frac{pv^\gamma}{R} = \text{constant}$$

$$\text{i.e.} \quad \log_e \frac{pv^\gamma}{R} = e^{(\text{constant})} = \text{constant}$$

$$\text{أو} \quad pv^\gamma = \text{constant} \quad (2.16)$$

عليه سنملك علاقة بسيطة بين  $p$  و  $v$  لأي غاز مثالي يؤدي إجراء كاظم الحرارة إنعكاسي. كل غاز مثالي

يكون لديه قيمته الخاصة ل  $\gamma$ .

$pv = RT$ ، العلاقات بين  $T$ ، و  $v$ ، و  $T$ ، و  $p$  يمكن اشتقاقها،

$$\text{i.e.} \quad pv = RT$$

$$\therefore p = \frac{RT}{v}$$

معوّضاً في المعادلة (2.16)،



$$= \text{constant} \frac{RT}{v} v^\gamma$$

$$\text{i.e. } T v^{\gamma-1} = \text{constant} \quad (2.17)$$

أيضاً  $v = (RT)/p$  بالتالي بالتعويض في المعادلة (2.16)،

$$p \left( \frac{RT}{p} \right)^\gamma = \text{constant}$$

عليه ،

$$\text{أو} \cdot \frac{T^\gamma}{p^{\gamma-1}} = \text{constant} \quad (2.18)$$

عليه لإجراء كاظم الحرارة إنعكاسي لغاز مثالي بين الحالات 1 و 2 يمكننا كتابة الآتي. من المعادلة (2.16)،

$$p_1 v_1^\gamma = p_2 v_2^\gamma \quad \text{أو} \quad \frac{p_1}{p_2} = \left( \frac{v_2}{v_1} \right)^\gamma \quad (2.19)$$

من المعادلة (2.17)،

$$T_1 v_1^{\gamma-1} = T_2 v_2^{\gamma-1} \quad \text{أو} \quad \frac{T_1}{T_2} = \left( \frac{v_2}{v_1} \right)^{\gamma-1} \quad (2.20)$$

من المعادلة (2.18)،

$$\frac{T_1}{p_1^{(\gamma-1)/\gamma}} = \frac{T_2}{p_2^{(\gamma-1)/\gamma}} \quad \text{أو} \quad \frac{T_1}{T_2} = \left( \frac{p_2}{p_1} \right)^{(\gamma-1)/\gamma} \quad (2.21)$$

من المعادلة (2.13) فإنَّ الشغل المبذول في إجراء كاظم الحرارة لكل kg من الغاز يُعطي بـ  $W = u_2 - u_1$ .

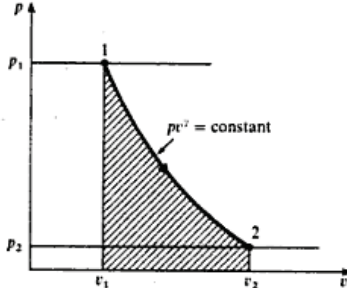
ويُعطي الكسب في الطاقة الداخلية لغاز مثالي بالمعادلة،

$$u_2 - u_1 = c_v (T_2 - T_1) \quad \text{لكل 1 kg i.e.}$$

$$\therefore W = c_v (T_2 - T_1)$$

أيضاً،

$$c_p = \frac{R}{(\gamma - 1)}$$



شكل (2.9) إجراء إنعكاسي كاظم للحرارة لغاز مثالي

بالتالي بالتعويض،

$$W = \frac{R(T_1 - T_2)}{(\gamma - 1)} \quad (2.22)$$

مستخدماً المعادلة  $pv = RT$ ،

$$W = \frac{P_1 V_1 - P_2 V_2}{\gamma - 1} \quad (2.23)$$

يتم توضيح إجراء كاظم للحرارة لغاز مثالي على مخطط  $p - v$  في الشكل (2.9)، يُعطي الشغل المبذول

بالمساحة المظللة، وهذه المساحة يمكن تقييمها بالتكامل،

$$\text{i.e. } W = \int_{v_1}^{v_2} p \, dv$$

عليه بما أن  $pv^\gamma = \text{constant}$ ، بالتالي،

$$W = \int_{v_1}^{v_2} \frac{c}{v^\gamma} \, dv$$

$$W = c \int_{v_1}^{v_2} \frac{dv}{v^\gamma} = c \left[ \frac{v^{-\gamma+1}}{-\gamma+1} \right]_{v_1}^{v_2}$$

$$= c \left( \frac{v_2^{-\gamma+1} - v_1^{-\gamma+1}}{1-\gamma} \right) = c \left( \frac{v_1^{-\gamma+1} - v_2^{-\gamma+1}}{\gamma-1} \right)$$

بالتالي، يمكن كتابة الثابت في المعادلة كـ  $p_1 v_1^\gamma$  أو  $p_2 v_2^\gamma$ .

بالتالي،

$$W = \frac{p_1 v_1^\gamma v_1^{1-\gamma} - p_2 v_2^\gamma v_2^{1-\gamma}}{\gamma-1} = \frac{p_1 v_1 - p_2 v_2}{\gamma-1}$$

$$W = \frac{p_1 v_1 - p_2 v_2}{\gamma-1}$$

هذا هو نفس التعبير المتحصل عليه من قبل كما في المعادلة (2.23).

**مثال (2.4):**

1kg من بخار عند 100bar و 375°C يتمدد إنعكاسياً في أسطوانة معزولة جيداً حرارياً خلف كباس حتى

يكون الضغط 38bar ويكون الغاز من بعد جافاً مشبعاً. أحسب الشغل المبذول بواسطة البخار.

**الحل:**

من جداول التخميص عند 100bar و 375°C،

$$h_1 = 3017 \text{ kJ/kg} \quad \text{و} \quad v_1 = 0.02453 \text{ m}^3/\text{kg}$$

مستخدماً المعادلة (1.7)،

$$u = h - pv$$

$$\therefore u_1 = 3017 - \frac{100 \times 10^5 \times 0.0253}{10^3} = 2771.7 \text{ kJ/kg}$$

$$u_2 = u_g \text{ at } 38\text{bar} = 2602 \text{ kJ/kg} \quad \text{أيضاً،}$$

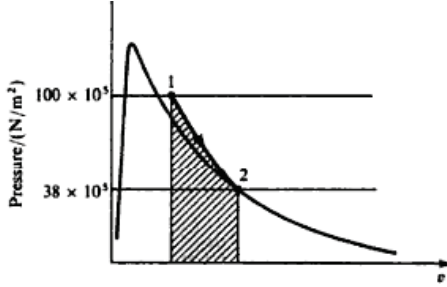
بما أن الأسطوانة معزولة جيداً حرارياً بالتالي لا يكون هنالك سريان حرارة إلي أو من البخار أثناء التمدد، بالتالي

يكون الإجراء كاظم الحرارة. مستخدماً المعادلة (2.13)،

$$W = u_1 - u_2 = 2771.7 - 2602$$

$$\therefore W = 169.7 \text{ kJ/kg}$$

يتم توضيح الإجراء على مخطط  $p-v$  كما في الشكل (2.10)، المساحة المظللة تمثل الشغل المبذول.



شكل (2.10) إجراء إنعكاسي كاظم للحرارة لبخار على مخطط  $p-v$ .

مثال (2.5):

هواء عند ضغط  $1.02 \text{ bar}$ ،  $22^\circ\text{C}$ ، يكون ابتدائياً محتلاً حجماً لأسطوانة مقداره  $0.015 \text{ m}^3$ ، يتم إنضغاطه إنعكاسياً وبإجراء كاظم للحرارة بكباس إلي ضغط مقداره  $6.8 \text{ bar}$ . أحسب درجة الحرارة النهائية، الحجم النهائي، والشغل المبذول على كتلة الهواء في الأسطوانة.

الحل:

من المعادلة (2.21)،

$$\frac{T_1}{T_2} = \left(\frac{p_1}{p_2}\right)^{(\gamma-1)/\gamma} \quad \text{أو} \quad T_2 = T_1 \times \left(\frac{p_2}{p_1}\right)^{(\gamma-1)/\gamma}$$

$$T_2 = 295 \times \left(\frac{6.8}{1.02}\right)^{(1.4-1)/1.4} = 295 \times 6.67^{0.286} = 295 \times 1.72 = \underline{507.5 \text{ K}}$$

(حيث  $T_2 = 22 + 273 = 295 \text{ K}$ ،  $\gamma$  للهواء = 1.4)،

i.e. درجة الحرارة النهائية =  $507.5 - 273 = \underline{234.5}^\circ\text{C}$

من المعادلة (2.19)،

$$\frac{p_1}{p_2} = \left( \frac{v_2}{v_1} \right)^\gamma \quad \text{أو} \quad \frac{v_1}{v_2} = \left( \frac{p_1}{p_2} \right)^{\frac{1}{\gamma}}$$

$$\therefore \frac{0.015}{v_2} = \left( \frac{6.8}{1.02} \right)^{1/1.4} = 6.67^{0.714} = \underline{3.87}$$

$$\therefore v_2 = \frac{0.015}{3.87} = \underline{0.00388 \text{ m}^3}$$

i.e. الحجم النهائي = 0.00388 m<sup>3</sup>

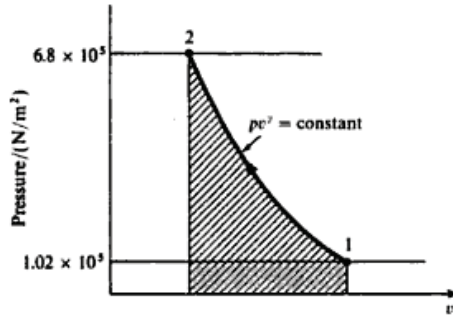
من المعادلة (2.13) لإجراء كاظم الحرارة،

$$W = u_1 - u_2$$

ولغاز مثالي، من المعادلة (2.14)،  $u = c_v T$  لكل kg من الغاز،

$$\begin{aligned} \therefore W &= c_v (T_1 - T_2) = 0.718 \times (295 - 507.5) \\ &= \underline{-152.8 \text{ kJ/kg}} \end{aligned}$$

i.e. شغل الدخل لكل kg = 152.8 kJ



شكل (2.11) إجراء إنعكاسي كاظم للحرارة لهواء على مخطط  $p - v$ .

كتلة الهواء يمكن إيجادها باستخدام المعادلة  $pv = m RT$ ،

$$\therefore m = \frac{p_1 v_1}{RT_1} = \frac{1.02 \times 10^5 \times 0.015}{0.287 \times 10^3 \times 295} = \underline{0.0181 \text{ kg}}$$

$$\text{i.e. الشغل المبذول الكلي} = 0.0181 \times 152.8 = \underline{2.76} \text{ kJ}$$

يتم توضيح الإجراء على مخطط  $p - v$  في الشكل (2.11)، تمثل المساحة المظللة الشغل المبذول لكل kg من الهواء.

### 2.3 إجراء متعدد الإنتحاء: (Polytropic Process)

وُجد أن هنالك إجراءات عديدة في الواقع العملي يتم تقريبها لقانون إنعكاسي بالشكل  $pv^n = \text{constant}$  حيث  $n$  هو مقدار ثابت. كل من البخار والغازات تُطبع بتقارب هذا القانون في إجراءات لا سريان عديدة. مثل هذه الإجراءات تكون إنعكاسية داخلياً. لأي إجراء إنعكاسي،

$$W = \int_{v_1}^{v_2} p \, dv$$

لأي إجراء يكون فيه  $pv^n = \text{constant}$  نحصل على  $p = c/v^n$  حيث  $c$  هو مقدار ثابت.

$$\therefore W = \int_{v_1}^{v_2} \frac{c}{v^n} \, dv$$

$$\text{i.e. } W = c \int_{v_1}^{v_2} \frac{dv}{v^n} = c \left[ \frac{v^{-n+1}}{-n+1} \right] = c \left( \frac{v_2^{-n+1} - v_1^{-n+1}}{-n+1} \right)$$

$$= c \left( \frac{v_1^{1-n} - v_2^{1-n}}{n-1} \right) = \frac{p_1 v_1^n v_1^{1-n} - p_2 v_2^n v_2^{1-n}}{n-1}$$

(بما أن الثابت،  $c$ ، يمكن كتابته كـ  $p_1 v_1^n$  أو كـ  $p_2 v_2^n$ .)

$$\text{i.e. الشغل المبذول} = \frac{p_1 v_1 - p_2 v_2}{n-1} \quad (2.24)$$

تكون المعادلة (2.24) صحيحة لأي مادة تؤدي إجراءً إنتحائياً إنعكاسياً. يتبع أيضاً أنه لأي إجراء إنتحاء يمكن كتابته،

$$\frac{p_1}{p_2} = \left( \frac{v_2}{v_1} \right)^n \quad (2.25)$$

### مثال (2.6):

في محرك بخار يكون البخار عند بداية إجراء التمدد عند ضغط مقداره 7bar، كسر جفاف 0.95، ويتبع التمدد القانون  $pv^{1.1} = \text{constant}$ ، أسفل إلي ضغط مقداره 0.34bar. أحسب الشغل المبذول لكل kg من البخار أثناء التمدد، وسريان الحرارة لكل kg من البخار إلي أو من الأسطوانة أثناء التمدد.

الحل:

$$v_g = 0.2728 \text{ m}^3/\text{kg}, \text{ عند } 7\text{bar}$$

عليه باستخدام المعادلة،

$$v_1 = x v_g = 0.95 \times 0.2728 = \underline{0.259} \text{ m}^3 / \text{kg}$$

بالتالي من المعادلة (2.25)،

$$\frac{p_1}{p_2} = \left( \frac{v_2}{v_1} \right)^n \quad \text{أو} \quad v_2 = v_1 \left( \frac{p_1}{p_2} \right)^{1/n}$$

$$\therefore v_2 = 0.259 \times \left( \frac{7}{0.34} \right)^{1/1.1} = 20.59 \times 0.259$$

$$= 15.64 \times 0.259 = \underline{4.05} \text{ m}^3 / \text{kg}$$

من المعادلة (2.24)،

$$W = \frac{p_1 v_1 - p_2 v_2}{n-1} = \frac{7 \times 10^5 \times 0.259 - 0.34 \times 10^5 \times 4.05}{1.1-1}$$

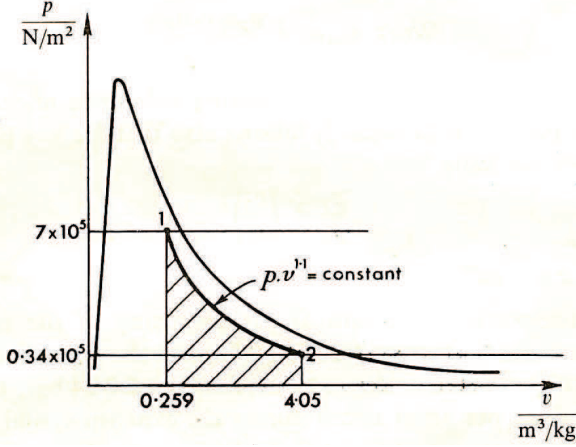
$$\text{i.e. } W = \frac{10^5}{0.1} (1.813 - 1.377) = \frac{10^5 \times 0.436}{0.1} \text{ N.m / kg}$$

$$\text{i.e. } \text{الشغل المبذول} = \underline{436} \text{ kj/kg}$$

$$v_g = 4.6499 \text{ m}^3/\text{kg}, \text{ عند } 0.34\text{bar}$$

عليه يكون البخار رطباً عند الحالة 2،

$$x_2 = \frac{4.05}{4.649} = \underline{0.873}$$



شكل (2.12)

يتم توضيح التمدد على مخطط  $p-v$  كما في الشكل (2.12)، المساحة المظللة تحت 1-2 تُمثل الشغل المبذول لكل kg من البخار.

$$u_1 = (1 - x_1)u_f + x_1u_g = (1 - 0.95) \times 696 + 0.95 \times 2573$$

$$\text{i.e. } u_1 = 34.8 + 2442 = \underline{2476.8 \text{ kJ/kg}}$$

$$u_2 = (1 - x_2)u_f + x_2u_g = (1 - 0.873) \times 302 + 0.873 \times 2447$$

$$\text{i.e. } u_2 = 38.35 + 2158 = \underline{2196.4 \text{ kJ/kg}}$$

من معادلة طاقة اللاتريان (1.2)،

$$Q = (u_2 - u_1) + W = (2196.4 - 2476.8) + 436$$

$$\text{i.e. } Q = -280.4 + 436 = \underline{155.6 \text{ kJ/kg}}$$

$$\text{i.e. } \text{الحرارة المكتسبة} = \underline{155.6 \text{ kJ/kg}}$$

إعتبر الآن إجراء الإنتحاء لغاز مثالي،



$$pv = RT \quad \text{أو} \quad p = \frac{RT}{v}$$

بالتالي في المعادلة  $pv^n = \text{constant}$  نحصل على،

$$\frac{RT}{v} v^n = \text{constant} \quad \text{أو} \quad Tv^{n-1} = \text{constant} \quad (2.26)$$

أيضاً بكتابة  $v = (RT)/p$  نحصل على،

$$p \left( \frac{RT}{p} \right)^n = \text{constant} \quad \text{أو} \quad \frac{T}{p^{(n-1)/n}} = \text{constant} \quad (2.27)$$

يمكن ملاحظة أن هذه المعادلات تكون مشابهة بالضبط للمعادلات (2.17) و (2.18) لإجراء كاظم الحرارة إنعكاسي لغاز مثالي . حقيقة أن الإجراء كاظم الحرارة الإنعكاسي لغاز مثالي هو حالة خاصة لإجراء الإنتحاء بالأس  $n$ ، مساوٍ لـ  $\gamma$ .

يمكن كتابة المعادلات (2.26) و (2.27) كالتالي،

$$\frac{T_1}{T_2} = \left( \frac{v_2}{v_1} \right)^{n-1} \quad (2.28)$$

$$\text{و} \quad \frac{T_1}{T_2} = \left( \frac{p_1}{p_2} \right)^{(n-1)/n} \quad (2.29)$$

لاحظ أن المعادلات (2.26)، (2.27)، (2.28)، و (2.29) لا تُطبَّق على بخار لا يؤدي إجراء إنتحائياً بما أن خاصية معادلة  $pv = RT$ ، التي تم استخدامها في اشتقاق المعادلات، يتم تطبيقها فقط على غاز مثالي. لغاز مثالي يتمدد إنتحائياً، من الأكثر ملائمة في بعض الأحيان التعبير عن الشغل المبذول بدلالات درجات الحرارة عند الحالات الطرفية (end states).

من المعادلة (2.24)،  $W = (p_1 v_1 - p_2 v_2)/(n-1)$ ، بالتالي،

$$p_1 v_1 = RT_1 \quad \text{أو} \quad p_2 v_2 = RT_2 \quad \text{بالتالي،}$$

$$W = \frac{R(T_1 - T_2)}{n-1} \quad (2.30)$$

أو لكتلة،  $m$ ،

$$W = \frac{mR(T_1 - T_2)}{n-1} \quad (2.31)$$

باستخدام معادلة طاقة اللاسريان (1.2)، يمكن إيجاد سريان الحرارة أثناء الإجراء،

$$\text{i.e. } Q = (u_2 - u_1) + W = c_v(T_2 - T_1) + \frac{R(T_1 - T_2)}{n-1}$$

$$\text{i.e. } Q = \frac{R(T_1 - T_2)}{n-1} - c_v(T_2 - T_1)$$

$$c_v = \frac{R}{(\gamma - 1)}$$

بالتالي بالتعويض،

$$\text{i.e. } Q = \frac{R}{(n-1)}(T_1 - T_2) + \frac{R}{(\gamma - 1)}(T_1 - T_2)$$

$$\text{i.e. } Q = R(T_1 - T_2) \left( \frac{1}{n-1} - \frac{1}{\gamma - 1} \right) = \frac{R(T_1 - T_2)(\gamma - 1 - n + 1)}{(\gamma - 1)(n-1)}$$

$$\therefore Q = \frac{(\gamma - n) R(T_1 - T_2)}{(\gamma - 1)(n-1)}$$

الآن من المعادلة،  $W = (p_1 v_1 - p_2 v_2) / (n-1)$  لكل وحدة من الغاز،

$$Q = \left( \frac{\gamma - n}{\gamma - 1} \right) W \quad (2.32)$$

المعادلة (2.32) هي تعبيراً ملائماً و موجزاً يربط الحرارة المكتسبة والشغل المبذول في إجراء الإنتحاء، في

التمدد، يُبذل الشغل بالغاز، وبالتالي فإن العنصر  $W$  يكون موجباً. عليه يمكن الملاحظة من المعادلة (2.32)

أنه عندما يكون أس الإنتحاء  $n$  أقل من  $\gamma$ ، في تمدد، بالتالي فإن الطرف الأيمن للمعادلة يكون موجباً (i.e.) يتم

إمداد الحرارة أثناء الإجراء). عكس ذلك، عندما تكون  $n$  أكبر من  $\gamma$  في تمدد بالتالي فإن الحرارة يتم فقدها

بالغاز. نفس الشيء، فإنَّ الشغل المبذول في إجراء إنضغاط يكون سالباً، عليه عندما تكون  $n$  أقل من  $\gamma$  في إنضغاط، فإنَّ الحرارة يجب إمدادها إلي الغاز أثناء الإجراء. لقد تمَّ التوضيح أنَّ  $\gamma$  لجميع الغازات المثالية قيمة أكبر من وحدة.

مثال (2.7):

1kg من غاز مثالي يتم إنضغاطه من 1.1bar، 27°C طبقاً لقانون  $pv^{1.3} = \text{constant}$ ، حتى يكون الضغط 6.6bar. أحسب سريران الحرارة إلي أو من جدران الأسطوانة:

a/ عندما يكون الغاز إيثان (الكتلة الجزيئية 30kg/kmol)، الذي له  $c_p = 2.10 \text{ kJ/kgK}$ .

b/ عندما يكون الغاز أرجون (الكتلة الجزيئية 40kg/kmol)، الذي له  $c_p = 0.520 \text{ kJ/kgK}$ .

الحل:

من المعادلة (2.29)، لكل من الإيثان والأرجون،

$$\frac{T_1}{T_2} = \left( \frac{p_1}{p_2} \right)^{(n-1)/n} \quad \text{أو} \quad T_2 = T_1 \left( \frac{p_1}{p_2} \right)^{(n-1)/n}$$

$$\text{i.e. } 300 \left( \frac{6.6}{1.1} \right)^{(1.3-1)/1.3} = 300 \times 6^{0.231} \times 1.512 = 453.6 \text{ K}$$

(حيث  $T_1 = 27 + 273 = 300 \text{ K}$ )

$R = R_o/M$ ، عليه، للإيثان،

$$R = \frac{8.314}{30} = 0.277 \text{ kJ/kg}$$

$$c_p - c_v = R$$

$$c_v = 2.10 - 0.277 = 1.823 \text{ kJ/kg}$$

(حيث  $c_p = 1.75 \text{ kJ/kg}$  للإيثان).

بالتالي،

$$\gamma = \frac{c_p}{c_v} = \frac{2.10}{1.823} = \underline{1.152}$$

من المعادلة (2.30)،

$$W = \frac{R(T_1 - T_2)}{n-1} = \frac{0.277 \times (300 - 453.6)}{1.3-1} = \underline{-141.8 \text{ kJ/kg}}$$

بالتالي من المعادلة (3.32)،

$$Q = \left( \frac{\gamma - n}{\gamma - 1} \right) W = \left( \frac{1.152 - 1.3}{1.152} \right) \times -141.8 = -\frac{0.148}{0.152} \times -141.8$$

$$\therefore Q = + \frac{0.148 \times 141.8}{0.152} = \underline{138.1 \text{ kJ/kg}}$$

i.e. الحرارة المكتسبة = 138.1 kJ/kg

/b باستخدام نفس الأسلوب لأرجون نحصل على،

$$R = \frac{8.314}{40} = \underline{0.208 \text{ kJ/kgK}}$$

$$c_v = 0.520 - 0.208 = \underline{0.312 \text{ kJ/kg}}$$

$$\gamma = \frac{0.520}{0.312} = \underline{1.667}$$

بالتالي الشغل المبذول يُعطي ب،

$$W = \frac{R(T_1 - T_2)}{n-1} = \frac{0.205 \times (300 - 453.6)}{1.3-1} = \underline{-106.5 \text{ kJ/kg}}$$

بالتالي،

$$Q = \left( \frac{\gamma - n}{\gamma - 1} \right) W = \left( \frac{1.667 - 1.3}{1.667} \right) \times -106.5 = -\frac{0.367 \times 106.5}{0.667}$$

$$\therefore Q = \underline{-58.6 \text{ kJ/kg}}$$

i.e. الحرارة المفقودة = 58.6 kJ/kg

في إجراء متعدد الإنتحاء فإنَّ الأس  $n$  يعتمد فقط على كميات الحرارة والشغل أثناء الإجراء . الإجراءات المتنوعة التي يتم إعتبارها في المقاطع (2.1) و (2.2) هي حالات خاصة للإجراء متعدد الإنتحاء لغاز مثالي. كمثال،

عندما  $pv^0 = \text{constant}$ , i.e.  $p = \text{constant}$   $n = 0$

عندما  $pv^{\infty} = \text{constant}$  أو  $pv^0 = \text{constant}$ , i.e.  $v = \text{constant}$   $n = \infty$

عندما  $pv = \text{constant}$ , i.e.  $T = \text{constant}$   $n = 1$

(بما أنَّ  $pv/T = \text{constant}$  لغاز مثالي).

عندما  $pv^{\gamma} = \text{constant}$ , i.e.  $n = \gamma$  كاظم الحرارة إنعكاسي

هذه يتم توضيحها على مخطط  $p - v$  في الشكل (2.13). هكذا،

الحالة 1 إلى الحالة A هي تبريد ثابت الضغط ( $n = 0$ )؛

الحالة 1 إلى الحالة B هي إنضغاط ثابت درجة الحرارة ( $n = 1$ )؛

الحالة 1 إلى C هي إنضغاط كاظم الحرارة إنعكاسي ( $n = \gamma$ )؛

الحالة 1 إلى D هي تسخين ثابت الحجم ( $n = \infty$ )؛

نفس الشيء، 1 إلى A هي تسخين ثابت الضغط؛ 1 إلى B' هي تمدد ثابت الحرارة؛ 1 إلى C' هي تمدد كاظم

الحرارة إنعكاسي؛ 1 إلى D' هي تبريد ثابت الحجم. لاحظ أنه، بما أنَّ  $\gamma$  تكون دائماً أكبر من وحدة، بالتالي فإن

الإجراء 1 إلى C يجب أن يقع بين الإجراءات 1 إلى B و 1 إلى D؛ نفس الشيء، فإنَّ الإجراء 1 إلى C'

يجب أن يقع بين 1 إلى B' و 1 إلى D'.

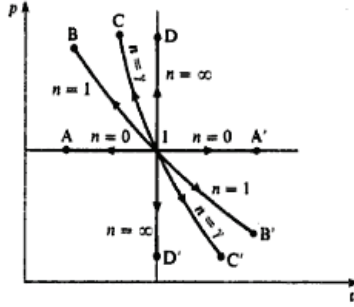
لبخار فإنَّ تعميمياً مثل عاليه لا يكون ممكناً.

هنالك إجراءً واحداً هاماً لبخار يجب ذكره هنا. البخار يمكن أن يؤدي إجراءً طبقاً لقانون  $pv = \text{constant}$ . في

هذه الحالة، بما أنَّ معادلة الخاصية  $pv = RT$ ، لا يتم تطبيقها إلى بخار، فإنَّ الإجراء لا يكون ثابت درجة

الحرارة. يجب استخدام جداول لإيجاد الخواص عند الحالات الطرفية، بالاستفادة من الحقيقة التي تقول أن  $p_1 v_1$

$$= p_2 v_2$$



شكل (2.13) إجراءات متعددة الإنتهاء عامة مرسومة على

مخطط  $p - v$

مثال (2.8):

في أسطوانة محرك بخار يتمدد البخار من 5.5bar إلي 0.75bar طبقاً لقانون قطع زائد  $pv = \text{constant}$ . إذا كان البخار ابتدائياً جافاً مشبعاً، أحسب الشغل المبذول لكل kg من البخار، وسريان الحرارة إلي أو من جدران الأسطوانة.

الحل:

عند 5.5bar،

$$v_1 = v_g = 0.3427 \text{ m}^3 / \text{kg}$$

بالتالي،

$$p_1 v_1 = p_2 v_2$$

$$\therefore v_2 = \frac{p_1 v_1}{p_2} = \frac{5.5 \times 0.3427}{0.75} = 2.515 \text{ m}^3 / \text{kg}$$

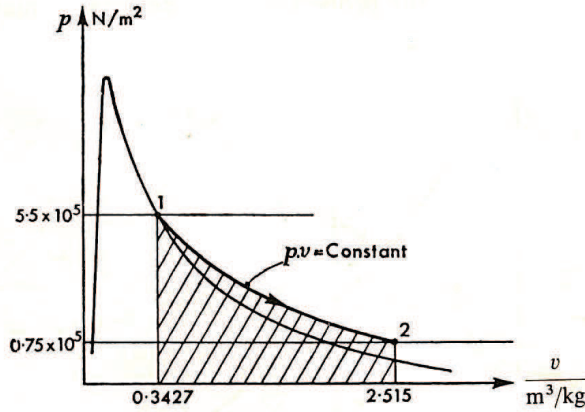
عند 0.75bar،  $v_g = 2.217 \text{ m}^3 / \text{kg}$ ، بالتالي يكون البخار محمصاً عند الحالة 2.

بالاستكمال من جداول التحييص عند 0.75bar نحصل على،

$$u_2 = 2510 + \left( \frac{2.515 - 2.271}{2.588 - 2.271} \right) (2585 - 2510)$$

$$u_2 = 2510 + 57.7$$

$$= \underline{2567.7} \text{ kj/kg}$$



شكل (2.14)

لبخار مشَّع عند ضغط 5.5bar،

$$u_1 = u_2 = \underline{2565} \text{ kj/kg}$$

بالتالي،

$$\text{الكسب في الحرارة الداخلية} = 2567.7 - 2565 = \underline{2.7} \text{ kj/kg}$$

يتم توضيح الإجراء على مخطط  $p - v$  كما في الشكل (2.14)، حيث أنَّ المساحة المظللة تُمثّل الشغل

المبدول.

$$W = \int_{v_1}^{v_2} p \, dv = \int_{v_1}^{v_2} \left( \frac{\text{const } t}{v} \right) dv$$

$$= (\text{const } t) [\log_e v]_{v_1}^{v_2}$$

إما أن يكون الثابت  $p_1 v_1$  أو  $p_2 v_2$

$$\text{i.e. } W = 5.5 \times 10^5 \times 0.3427 \times \log_e \frac{v_2}{v_1} = 5.5 \times 10^5 \times 0.3427 \times \log_e \frac{p_1}{p_2}$$

$$\therefore W = 5.5 \times 10^5 \times 0.3427 \times \log_e \frac{5.5}{0.75} = \underline{375,500} \text{ N.m / kg}$$

من معادلة طاقة اللاسريان، (1.2)،

$$Q = (u_2 - u_1)W = 2.7 + \frac{375,500}{10^3} = 2.7 + 375.5 = \underline{378.2}$$

$$\text{i.e. } \text{الحرارة المكتسبة} = \underline{378.2} \text{ kJ / kg}$$

#### 2.4 الإجراءات اللانعكاسية: (Irreversible Processes)

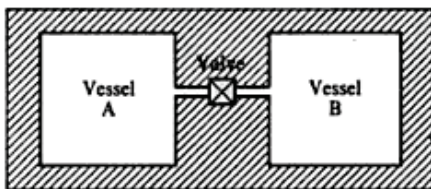
يمكن استخدام معادلات المقاطع 2.1، 2.2 و 2.3 فقط عندما يطبع الإجراء أحكاماً معينة بتقريب جيد. في إجراءات يكون فيها المائع محاطاً بأسطوانة خلف كباس، يمكن افتراض أن تأثيرات الاحتكاك يتم تجاهلها. على أي حال، لكي يتم تحقيق أحكام الإنعكاسية يجب أن لا يكون هنالك انتقال للحرارة إلي أو من النظام خلال فرق درجة حرارة محدد (كبير). فقط يمكن تخيل هذا في إجراء ثابت درجة الحرارة، بما أنه في جميع الإجراءات الأخرى تكون درجة حرارة النظام متغيرة باستمرار أثناء الإجراء؛ لكي يتم تحقيق أحكام الإنعكاسية فإن درجة حرارة وسيط التبريد أو التسخين خارج النظام سيتطلب تغييرها تبعاً لذلك. مثالياً يمكن تخيل طريقة ما لتحقيق الإنعكاسية، لكن في الواقع العملي لا يمكن حتى قبولها كتقريب. بالرغم من ذلك، إذا قبلنا بلاإنعكاسية مؤكدة في البيئة المحيطة تؤدي تغييراً لا إنعكاسياً. معظم الإجراءات التي تحدث في أسطوانة خلف كباس يمكن افتراض أنها تكون إنعكاسية داخلياً كتقريب جيد، ويمكن استخدام المعادلات للمقاطع 2.1، 2.2، 2.3 حيثما يمكن تطبيقها. بعض الإجراءات لا يمكن افتراض أنها إنعكاسية داخلياً، وسيتم الآن بإختصار مناقشة الحالات الهامة.



## 1. التمدد غير المقاوم أو الحر: (Unresisted or Free Expansion)

لقد تم ذكر هذا الإجراء مسبقاً ولكي يتم توضيح أنه في أي إجراء لا إنعكاسياً فإن الشغل المبذول لا يُعطي بالمعادلة  $W = \int p dv$ . إعتبر وعاءان A و B، يتم توصيلهما بينياً بماسورة قصيرة بصمام X، وعزلهما حرارياً بمثالية (أنظر الشكل (2.15)). إبتدائياً إجعل الوعاء A يكون مملوءاً بمائع عند ضغط معين، وإجعل B يكون مفرغاً كلياً. عندما يتم فتح الصمام X فإن المائع A سيتمدد سريعاً ليملأ الوعاءين A و B. وسيكون الضغط النهائي أقل من الضغط الإبتدائي في الوعاء A. هذا يُعرف بالتمدد غير المقاوم أو التمدد الحر. لا يكون الإجراء إنعكاسياً، بما أن شغلاً خارجياً يجب أداءه لإرجاع المائع إلي حالته الإبتدائية.

$$\text{i.e. } Q = (u_2 - u_1) + W$$



شكل (2.15) وعاءان معزولان جيّداً وموصلان بينياً

الآن في هذا الإجراء لا يكون هنالك شغلاً مبذولاً على أو بالمائع، بما أن حد النظام لا يتحرك لا يكون هنالك إنسياب حرارة إلي أو من المائع بما أن النظام معزول جيّداً بالتالي فإن الإجراء يكون كاظم للحرارة، لكن لا إنعكاسياً.

$$\text{i.e. } u_1 - u_2 = 0 \quad \text{أو} \quad u_2 = u_1$$

بالتالي في التمدد الحر فإن الطاقة الداخلية الإبتدائية تساوي الطاقة الداخلية النهائية.

لغاز مثالي، من المعادلة،

$$u = c_v T$$

عليه لتمدد حر لغازاً مثالياً،

$$c_v T_1 = c_v T_2$$

$$\text{i.e. } T_1 = T_2$$

عليه لغاز مثالي يؤدي تمدداً حرّاً، فإن درجة الحرارة الابتدائية تكون مكافئة لدرجة الحرارة النهائية.

مثال (2.9):

هواء عند 20bar يكون بداية محويماً في وعاء A كما في الشكل (2.15)، يمكن إفتراض أن حجمه يكون  $1m^3$ . يتم فتح الصمام X ويتمدد الهواء ليملاً للوعاءين A و B. مفترضاً أن الوعاءان يكونان بحجم مكافئ، أحسب الضغط للهواء.

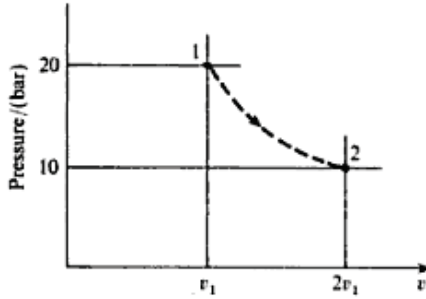
الحل:

لغاز مثالي يتمدد حر  $T_1 = T_2$ . أيضاً من المعادلة،  $pv = m RT$

$$\text{بالتالي، } p_1 v_1 = p_2 v_2$$

الآن فإن الحجم  $V_2$  هو الحجم المتحد للوعاءان A و B،

$$\text{i.e. } V_2 = V_A + V_B = 1 + 1 = 2m^3, V_1 = 1m^3$$



شكل (2.16) إجراء لا إنعكاسي على مخطط  $p - v$

عليه نحصل على،

$$p_2 = p_1 \frac{V_1}{V_2} = 20 \times \frac{1}{2} = \underline{10 \text{ bar}}$$

i.e.                      الضغط النهائي = 10 bar

يتم توضيح الإجراء على مخطَّط p – v في الشكل (2.16). يتم تثبيت الحالة 1 عند 20bar و 1m<sup>3</sup> بمعلومية كتلة الغاز؛ يتم تثبيت الحالة 2 عند 10bar و 2m<sup>3</sup> لنفس كتلة الغاز. يكون الإجراء بين هاتين الحالتين لا إنعكاسياً ويجب رسمه منقطعاً. النقاط 1 و 2 تقع على خط ثابت درجة الحرارة، لكن الإجراء بين 1 و 2 لا يمكن تسميته إجراء ثابت درجة الحرارة، بما أنَّ درجات الحرارة الوسطية لا تكون هي نفسها خلال الإجراء. لا يكون هنالك شغلاً مبدولاً خلال الإجراء، ولا تُمثل المساحة المظللة تحت الخط المنقطع الشغل المبدول.

## 2. الخنق: (Throttling)

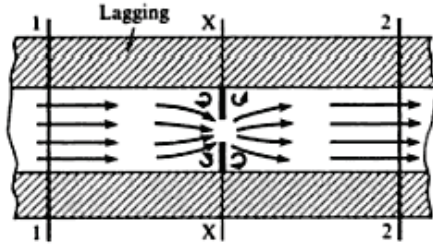
يُوصف سريان المائع بالمنخق عندما يكون هنالك بعض التقييد للسريان، عندما تكون السرعات قبل وبعد التقييد إما متساويتان أو صغيرتان بحيث يمكن تجاهلهما، وعندما يكون هنالك فقد حرارة إلي البيئة المحيطة يمكن تجاهله. التقييد للسريان يمكن أن يكون فتح جزئي لصمام، ثقب، أو أي خفض مفاجئ آخر في مساحة المقطع العرضي للسريان.

هنالك مثالاً للخنق يتم توضيحه في الشكل (2.17). ينساب المائع باستقرار على طول ماسورة معزولة جيداً ويمر خلال ثقب عند المقطع X. بما أنَّ الماسورة تكون معزولة جيداً يمكن افتراض أنَّه لا يكون هنالك سريان للحرارة إلي أو من المائع. يمكن تطبيق معادلة السريان (1.8) بين أي مقطعين للسريان،

$$h_1 + \frac{c_1^2}{2} + Q = h_2 + \frac{c_2^2}{2} + W$$

الآن بما أن Q = 0 و W = 0، بالتالي،

$$h_1 + \frac{c_1^2}{2} = h_2 + \frac{c_2^2}{2}$$



شكل (2.17) إجراء الخنق

عندما تكون سرعتان  $c_1$  و  $c_2$  صغيرتان، أو عندما تكون  $c_1$  تقريباً مساوية لـ  $c_2$ ، بالتالي يمكن تجاهل عناصر طاقة الحركة. (ملحوظة: يمكن إختبار المقاطع 1 و 2 بصورة جيدة أعلى السريان وأسفل السريان بحيث لا تتأثر بإضطراب المائع عند الخنق، وبحيث يمكن تبرير الإفتراض الأخير).

$$h_1 = h_2 \text{ ، بالتالي}$$

عليه لإجراء خنق فإن المحتوى الحراري الابتدائي يكون مكافئاً للمحتوي الحراري النهائي. يكون الإجراء كاظم للحرارة، لكنه عالي اللانعكاسية بسبب تدويم المائع حول الثقب عند X. بين المقاطع 1 و X يهبط المحتوى الحراري وتزيد طاقة الحركة كلما تسارع المائع خلال الثقب. بين المقاطع X و 2 يزيد المحتوى الحراري بتحطم طاقة الحركة بدوامات المائع.

$$\text{لغاز مثالي } h = c_p T \text{ ، عليه،}$$

$$c_p T_1 = c_p T_2 \text{ أو } T_1 = T_2$$

عليه لخنق غاز فإن درجة الحرارة الابتدائية تكافئ درجة الحرارة النهائية.

مثال (2.10):

بخار عند 19bar يتم خنقه إلي 1bar ووجد أن درجة الحرارة بعد الخنق تساوي  $150^\circ\text{C}$ . أحسب كسر الجفاف الابتدائي للبخار .

الحل:

من جداول التحييص 1 bar و 50°C انحصل على  $h_2 = 2777 \text{ kJ/kg}$ . بالتالي للخنق،

$$h_1 = h_2 = 2777 \text{ kJ/kg}$$

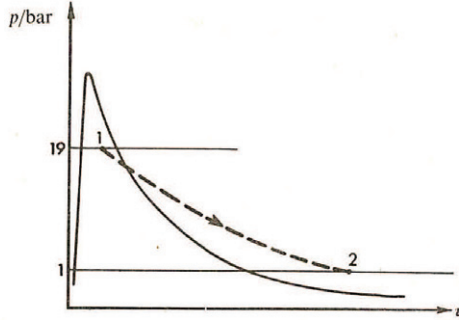
مستخدماً المعادلة،

$$h_1 = h_f + x_1 h_{fg}$$

$$\text{i.e. } 2777 + 897 + x_1 \times 1901$$

$$\therefore x_1 = \frac{1880}{1901} = 0.989$$

i.e. كسر الجفاف الإبتدائي = 0.989



شكل (2.18)

يتم توضيح الإجراء على مخطط  $p - v$  في الشكل (2.18). يتم تثبيت الحالات 1 و 2، لكن لا يتم تحديد الحالات الوسطية، يجب رسم الإجراء منقطعاً كما موضح. لا يكون هنالك شغلاً مبذولاً خلال الإجراء، والمساحة تحت الخط 1 - 2 لا تكون مساوية للشغل المبذول. لبخار يمكن استخدام الخنق كوسيلة لإيجاد كسر الجفاف للبخار الرطب، كما في المثال (2.10).

### 3. الخلطة الإديباتية: (Adiabatic Mixing)

خلط جدولين من مائع يكون عادياً إلي حد بعيد في التطبيقات الهندسية، وعادة يمكن إفتراض حدوثه أديباتياً (كاظم للحرارة). إعتبر جدولين من خليط لمائع كما موضح في الشكل (2.19). إجعل للجدولين

معادلات إنسياب كتلة  $\dot{m}_1$  و  $\dot{m}_2$ ، ودرجات حرارة  $T_1$  و  $T_2$ . إجعل للجدول المخلوط الناتج درجة حرارة  $T_3$ . لا يكون هنالك سريان حرارة إلي أو من المائع، ولا يكون هنالك شغلاً مبدولاً، بالتالي من معادلة السريان، وبتجاهل التغييرات في طاقة الحركة نحصل على،

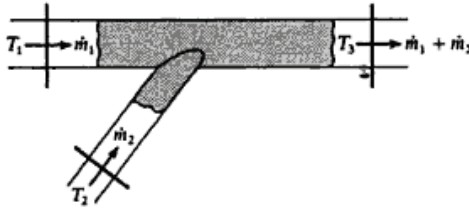
$$H_1 + H_2 = H_3 \quad \dot{m}_1 h_1 + \dot{m}_2 h_2 = (\dot{m}_1 + \dot{m}_2) h_3 \quad (2.33)$$

أو لغاز، من المعادلة  $h = c_p T$ ، بالتالي،

$$\dot{m}_1 c_p T_1 + \dot{m}_2 c_p T_2 = (\dot{m}_1 + \dot{m}_2) c_p T_3$$

$$\text{i.e.} \quad \dot{m}_1 T_1 + \dot{m}_2 T_2 = (\dot{m}_1 + \dot{m}_2) T_3 \quad (2.34)$$

يكون إجراء الخلطة عالي الإنعكاسية نتيجة للمقدار الضخم للتدوير الذي يحدث للمائع.



شكل (2.19) إجراء الخلط

## 2.5 إجراءات السريان الإنعكاسي: (Reversible Flow Processes)

بالرغم من أن إجراءات السريان تكون عادة عالية اللانعكاسية في الواقع العملي، من الملائم في بعض الأحيان إفتراض أن إجراء السريان يكون إنعكاسياً وذلك لكي يتم إعطاء مقارنة مثالية. المشاهد المتقل مع سريان المائع سيلاحظ تغيراً في الخواص الديناميكية الحرارية كما في حالة إجراء اللاسريان. كمثال في إجراء كاظم الحرارة إنعكاسي لغاز مثالي، فإن المشاهد المتقل مع الغاز سيلاحظ حدوث الإجراء  $pv^\gamma = \text{const.}$  لكن الشغل المبذول بالغاز سوف يُعطي بالمعادلة  $\int p dv$ ، أو بتغير الطاقة الداخلية كما موضح بالمعادلة (2.13). هنالك بعض الشغل يتم بذله على أو بالغاز بتأثير القوي التي تعمل بين الغاز المتحرك وبيئته

المحيطة. كمثال، لإجراء سريان كاظم الحرارة إنعكاسي لغاز مثالي، من معادلة السريان (1.8)،

$$h_1 + \frac{c_1^2}{2} + Q = h_2 + \frac{c_2^2}{2} + W$$

بالتالي، بما أن  $Q = 0$ ،

$$W = (h_1 - h_2) + \left( \frac{c_1^2 - c_2^2}{2} \right)$$

أيضاً بما أن الإجراء يتم إفتراضه إنعكاسياً وعلية وغاز مثالي  $pv^\gamma = \text{const.}$

هذه المعادلة يمكن استخدامها لتثبيت الحالات الطرفية.

**ملحوظة:** حتى لو كانت عناصر الطاقات الحركية صغيرة بحيث يمكن تجاهلها، فإنَّ الشغل المبذول في إجراء

سريان كاظم الحرارة إنعكاسي بين حالتين لا يكون مساوياً للشغل المبذول في إجراء لا سريان كاظم الحرارة

إنعكاسي بين نفس الحالتين (i.e.  $W = (u_2 - u_1)$  كما في المعادلة (2.13)).

**مثال (2.11):**

توربينة غاز تستقبل غازات من غرفة الإحتراق عند 7bar و  $650^\circ\text{C}$  وبسرعة مقدارها 9m/s. تغادر الغازات

التوربينة عند 1bar، بسرعة 45m/s. مفترضاً أن التمدد يكون كاظماً للحرارة وإنعكاسياً في الحالة المثالية،

أحسب الشغل المبذول لكل kg من الغاز. للغازات خذ  $\gamma = 1.333$  و  $c_p = 1.11 \text{ kJ/kg}$ .

**الحل:**

مستخدماً معادلة السريان ولإجراء كاظم الحرارة،

$$W = (h_1 - h_2) + \left( \frac{c_1^2 - c_2^2}{2} \right)$$

لغاز مثالي من المعادلة  $h = c_p T$ ، عليه،

$$W = c_p (T_1 - T_2) + \left( \frac{c_1^2 - c_2^2}{2} \right)$$

لإيجاد  $T_2$  نستخدم المعادلة (2.21)،

$$\frac{T_1}{T_2} = \left( \frac{p_1}{p_2} \right)^{(7-1)/7}$$

$$\text{i.e. } \frac{T_1}{T_2} = \left( \frac{7}{1} \right)^{(1.333-1)/1.333} = 7^{0.25} = \underline{1.627}$$

$$\therefore T_2 = \frac{T_1}{1.627} = \frac{923}{1.627} = \underline{567}$$

(خذ  $T_1 = 650+273=923\text{K}$ )

بالتالي بالتعويض،

$$W = 1.11(923 - 567) + \left( \frac{9^2 - 45^2}{2 \times 10^3} \right)$$

$$\text{i.e. } W = 395.2 - 0.97 = \underline{394.2 \text{ kJ/kg}}$$

لاحظ أن تغير طاقة الحركة يكون صغيراً مقارنة بتغير المحتوى الحراري. هذه هي غالباً الحالة في مسائل إجراءات السريان، ويمكن في بعض الأحيان تجاهل التغير في طاقة الحركة.

## 2.6 إجراءات السريان اللا مستقر: (Non Steady – Flow Processes)

في الواقع العملي هنالك الكثير من الحالات التي يكون فيها معدّل سريان الكتلة العابر لحد نظام عند المدخل مساوٍ لمعدّل سريان الكتلة عند المخرج. أيضاً، فإنّ المعدّل الذي يُبذل به الشغل على أو بالمائع، والمعدّل الذي تنتقل به الحرارة إلي أو بالنظام لا يكونا ثابتان مع الزمن. في مثل هذه الحالة فإنّ الطاقة الكلية لا تبقى ثابتة خلال حد النظام، كما هو الحال في إجراء سريان مستقر، بل تتغير مع الزمن.

إجعل الطاقة الكلية للنظام خلال حد النظام عن أي لحظة تساوي  $E$ . أثناء فترة زمنية صغيرة، إجعل الكتلة المدخلة للنظام  $\delta m_1$ ، وإجعل الكتلة المغادرة للنظام تكون  $\delta m_2$ ؛ إجعل الحرارة المنقلة والشغل المبذول خلال نفس الزمن يكونا  $\delta Q$  و  $\delta W$  على الترتيب. إعتبر نظاماً مماثلاً للموضّح في الشكل (1.2)، يتم أداء شغل عند المدخل والمخرج في إدخال وإخراج الكتلة عبر حدود النظام.

$$\text{i.e. } \delta m_1 p_1 v_1 = \text{الطاقة المطلوبة عند المدخل}$$



الطاقة المطلوبة عند المخرج.  $\delta m_2 p_2 v_2$

أيضاً، كما من قبل فإن الطاقة لوحدة كتلة للمائع المنساب تعطي بـ  $(u_1 + c_1^2 / 2 + z_1 g)$  عند المدخل، وبـ

عند المخرج.  $(u_2 + c_2^2 / 2 + z_2 g)$

بالتالي، الطاقة الداخلة للنظام،

$$\delta Q + \delta m_1 (u_1 + c_1^2 / 2 + z_1 g) + \delta m_1 p_1 v_1$$

والطاقة المغادرة للنظام،

$$\delta W + \delta m_2 (u_2 + c_2^2 / 2 + z_2 g) + \delta m_2 p_2 v_2$$

بتطبيق القانون الأول:

الطاقة الداخلة للنظام - الطاقة المغادرة = زيادة طاقة النظام،  $\delta E$

$$\delta Q + \delta m_1 (u_1 + c_1^2 / 2 + z_1 g + p_1 v_1) - \delta W - \delta m_2 (u_2 + c_2^2 / 2 + z_2 g + p_2 v_2) = \delta E$$

خلال زمن كبير فإن الحرارة المنتقلة الكلية تُعطي بـ  $\sum \delta Q = Q$

والشغل المبذول الكلي يُعطي بـ  $\sum \delta W = W$

إجعل الكتلة الابتدائية خلال حدود النظام تكون مساوية لـ  $m'$ ، والطاقة الداخلة الابتدائية تكون  $u'$ ، والكتلة عند

نهاية الفترة الزمنية تكون  $m''$ ، والطاقة الداخلية النهائية تكون  $u''$ ،

$$\therefore \sum \delta E = m'' u'' - m' u'$$

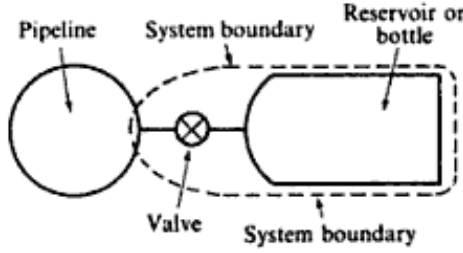
عليه نحصل على،

$$\delta Q + \delta m_1 (u_1 + c_1^2 / 2 + z_1 g + p_1 v_1) = \delta W + \sum \delta m_2 (u_2 + c_2^2 / 2 + z_2 g + p_2 v_2) + (m'' u'' - m' u') \quad (2.35)$$

أيضاً من إجراء إستمرارية الكتلة،

الكتلة الداخلة - الكتلة المغادرة = زيادة الكتلة خلال حد النظام

$$\text{i.e. } \therefore \sum \delta m_1 - \sum \delta m_2 = m'' - m' \quad (2.36)$$



شكل (2.20) ملء قارورة أو وعاء من خط أنابيب

إحدى المسائل الأكثر حدوثاً ضمن معادلة السريان اللا مستقر هي ملء زجاجة أو وعاء من مصدر ضخم مقارنة بالزجاجة أو الوعاء. الشكل (2.20) يوضح مثالاً نموذجياً. يتم افتراض أن حالة المائع في خط المواسير تكون متغيرة أثناء إجراء الملء. في هذه الحالة لا يكون هنالك شغلاً مبدولاً على حد النظام؛ أيضاً لا تكون هنالك كتلة مغادرة للنظام أثناء الإجراء، بالتالي،  $\delta m_2 = 0$ .

بتطبيق المعادلة (2.35)، وبعمل افتراض إضافي أن التغييرات في طاقة الوضع تكون صغيرة، وأن طاقة الحركة  $c_1^2 / 2$ ، تكون صغيرة بالمقارنة مع المحتوى الحراري،  $h_2$ ، نحصل على،

$$Q + \sum \delta m_1 h_1 = m'' u'' - m' u'$$

أو بما أن  $h_1$  تكون ثابتة أثناء الإجراء،

$$Q + h_1 \sum \delta m_1 = m'' u'' - m' u'$$

في هذه الحالة فإن المعادلة (2.36) تُصبح،

$$\sum \delta m_1 = m'' - m'$$

بالتالي بالتعويض ،

$$Q + h_1 (m'' - m') = m'' u'' - m' u' \quad (2.37)$$

من الممكن غالباً افتراض أن الإجراء يكون كاسماً للحرارة، وفي تلك الحالة نحصل على،

$$h_1 (m'' - m') = m'' u'' - m' u'$$

أو بالكلمات: المحتوي الحراري للكتلة الذي يدخل إلي الزجاجية = زيادة الطاقة الداخلية للنظام.

مثال (2.12):

وعاء صلد (غير مرن) بحجم  $10\text{m}^3$  يحوى بخاراً عند ضغط 2.1bar وكسر جفاف 0.9، يتم توصيله إلي خط أنابيب ويُسمح بالسريان من خط المواسير إلي الوعاء حتى يكون الضغط ودرجة الحرارة في الوعاء مساوٍ لـ 6bar و  $200^\circ\text{C}$  على الترتيب. يكون البخار في خط المواسير عند 10bar و  $250^\circ\text{C}$  طوال الإجراء. أحسب إنتقال الحرارة إلي أو من الوعاء أثناء الإجراء.

الحل:

كسر الجفاف = كتلة البخار في 1kg من الخليط.

بإستخدام الترميز الذي تم تقديمه سابقاً نحصل على،

$$u' = u'_f (1 - 0.9) + (u'_g \times 0.9) = 511 \times 0.1 + 2531 \times 0.9$$

$$\text{i.e. } u' = \underline{2329} \text{ kJ/kg}$$

أيضاً،

$$m' = V / v = 10 / 0.9v_g = 10 / 0.9 \times 0.8461 = \underline{13.13} \text{ kg}$$

أخيراً يتم تحميمص البخار عند 6bar و  $200^\circ\text{C}$ ، عليه،

$$u'' = \underline{2640} \text{ kJ/kg}$$

و

$$v'' = \underline{0.3522} \text{ m}^3/\text{kg}$$

$$\text{i.e. } m'' = V / v'' = 10 / 0.3522 = 28.4 \text{ kg}$$

يتم تحميمص البخار في خط المواسير عند 10bar و  $250^\circ\text{C}$ ، بالتالي،

$$h_1 = 2944 \text{ kJ/kg}$$

بالتالي مستخدماً المعادلة (72.3)،

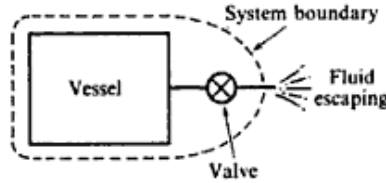
$$Q + 2944(28.4 - 13.3) = (28.4 \times 2640) - (13.3 \times 2329)$$

$$\therefore Q = 74980 - 30590 - 44940 = -550 \text{ kJ}$$

i.e. الحرارة المطرودة من الوعاء = 550 kJ

مثال آخر يحدث عموماً في إجراء السريان اللامستقر هو الحالة التي يفتح بها وعاءاً إلى فراغ كبير ويُسمح للمائع بالهروب (الشكل (2.21)). لا يكون هنالك شغلاً مبذولاً في هذه الحالة  $\delta m_1 = 0$  بما أنه ليس هنالك كتلة تدخل إلي النظام. بتجاهل التغييرات في طاقة الوضع وبتطبيق المعادلة (2.35)،

$$Q = \sum \delta m_2 (h_2 + c_2^2 / 2) + (m'' u'' - m' u')$$



شكل (2.21) تفرغ مائع من وعاء

الصعوبة التي تنشأ في هذا التحليل هي أن الحالة 2 للكتلة المغادرة للوعاء تكون متغيرة باستمرار، بالتالي من المستحيل تقييم العنصر  $\sum \delta m_2 (h_2 + c_2^2 / 2)$ . هنالك تقريب مناسب يمكن عمله لإيجاد كتلة المائع التي تغادر الوعاء كلما يهبط الضغط لقيمة معطاة. يمكن إفتراض أن المائع المتبقي في الوعاء يؤدي تمدداً كاظم للحرارة إنعكاسياً. هذا يكون تقريب جيد إذا كان الوعاء معزولاً جيداً، أو إذا كانت فترة استغراق الإجراء قصيرة. باستخدام هذا الإفتراض يمكن إيجاد الحالة الطرفية للمائع في الوعاء، وبالتالي يمكن حساب الكتلة المتبقية في الوعاء  $m''$ .

مثال (2.13):

مُستقبل هواء بحجم  $6 \text{ m}^3$  يحوي هواءً عند  $15 \text{ bar}$  و  $40.5^\circ \text{C}$ . يتم فتح صمام ويُسمح لبعض الهواء بالخروج إلى الجو. يهبط ضغط الهواء في المُستقبل بسرعة إلى  $12 \text{ bar}$  عندها يتم غلق الصمام. أحسب كتلة الهواء الخارجة من المُستقبل.

الحل:

إبتداءً،

$$m' = P'V / RT' = \frac{15 \times 10^5 \times 6}{0.287 \times 10^3 \times 313.5} = \underline{100} \text{ kg}$$

مفترضاً أن الكتلة في المُستقبل تؤدي إجراءً كاظم للحرارة إنعكاسياً، بالتالي مستخدماً المعادلة (2.21)،

$$\frac{T'}{T''} = \left( \frac{p'}{p''} \right)^{(\gamma-1)/\gamma} = \left( \frac{15}{12} \right)^{0.4/1.4} = 1.25^{0.386} = \underline{1.066}$$

$$\therefore T'' = 313.5 / 1.066 = 294.2 \text{ K}$$

بالتالي،

$$m'' = P''V / RT'' = \frac{12 \times 10^5 \times 6}{0.287 \times 10^3 \times 294.2} = \underline{85.3} \text{ kg}$$

عليه،

$$\text{كتلة الهواء الذي يغادر المُستقبل} = 100 - 85.3 = \underline{14.7} \text{ kg}$$

في حالة بخار يؤدي تمُدُّاً كاظم للحرارة إنعكاسياً لا تكون هنالك معادلة صحيحة مثل المعادلة (2.21) المستخدمة عليه. من الضروري الإستفادة من خاصية القصور الحراري (entropy)،  $s$ ، التي يمكن التوضيح بأنّها تبقى ثابتة خلال إجراء كاظم للحرارة إنعكاسي و  $s' = s''$  i.e. ومن ثم باستخدام الجداول يمكن حساب قيمة  $v''$  وبالتالي إيجاد  $m''$ .

مثال (2.14):

عند بداية شوط السحب لمحرك بترول ذو نسبة إنضغاط مقدارها  $8/1$ ، يكون حجم الخلوص محتلاً بمنتقي غاز عند درجة حرارة  $840^\circ\text{C}$  وضغط  $1.013 \text{ bar}$ . حجم الخليط أثناء الشوط، مقاساً عند أحوال جوية  $1.013 \text{ bar}$  و  $15^\circ\text{C}$ ، يكون مساوياً لـ  $0.75$  من الحجم المكتسح للأسطوانة.

يكون الضغط ودرجة الحرارة المتوسطان في مجمع السحب (induction manifold) أثناء السحب مساويان لـ 0.965bar و 27°C على الترتيب، ويكون متوسط الضغط في الأسطوانة أثناء شوط السحب مساوياً لـ 0.828bar. أحسب درجة حرارة الخليط عند نهاية شوط السحب مفترضاً إجراءً كائناً للحرارة. أحسب أيضاً الضغط النهائي في الأسطوانة.

للخليط  $c_v = 0.718$  kJ/kgK و  $R = 0.2871$  kJ/kgK ؛ ولمتبقي الغاز  $c_v = 0.84$  kJ/kgK و  $R = 0.296$  kJ/kgK

الحل:

إجعل الحجم المكتسح يكون  $V_s$  وحجم الخلوص يكون  $V_c$ ، بالتالي،

$$\text{نسبة الإنضغاط} = \frac{V_s - V_c}{V_c} = 8$$

$$\text{i.e. } V_s = 7 V_c$$

إبتدائياً فإن متبقي الغاز يحتل الحجم ،  $V_c = V_s/7$

$$\therefore m' = \frac{P'V_c}{RT'} = \frac{1.034 \times 10^5 \times V_s}{0.296 \times 1113 \times 7 \times 10^3} = 0.0448 V_s \text{ kg}$$

(حيث  $T' = 840 + 273 = 1113\text{K}$ )

أيضاً مستخدماً المعادلة (2.36) ،

$$m'' - m' = \sum \delta m_1 - \sum \delta m_2$$

وبملاحظة أنه في هذا المثال ،  $\sum \delta m_2 = 0$  ، نحصل على،

$$m'' - m' = m_1 = \frac{1.013 \times 10^5 \times 0.75 V_s}{0.2871 \times 288 \times 10^3} = 0.919 V_s \text{ kg}$$

$$\therefore m'' = 0.919 V_s + 0.0448 V_s = 0.9638 V_s \text{ kg}$$

يمكن تجاهل التغييرات في طاقة الحركة والوضع، ويكون الإجراء كائناً للحرارة ( $Q = 0$ )، بتطبيق

المعادلة (2.35) نحصل على،

$$m_1 h_1 = W + m'' u'' - m' u'$$

أيضاً، فإنَّ درجة حرارة الخليط في مجمع السحب تكون ثابتة طول الشوط،  $h_1 = c_p T_1 = \text{constant}$  i.e.

$$\text{i.e. } m_1 c_p T_1 = W + m'' c_v T'' - m' c_v T'$$

الشغل المبذول يُعطي به،

الحجم المكتسح  $\times$  متوسط الضغط في الأسطوانة أثناء السحب =  $W$

$$0.828 \times 10^5 V_s = 828000 V_s \text{ N.m} = \underline{82.8 V_s \text{ kJ}}$$

i.e.

$$V_s \times 1.0051 \times 300 = 82.8 V_s + 0.9628 V_s \times 0.718 T''$$

$$-0.0448 V_s \times 0.84 \times 1113$$

(حيث للخليط المسحوب ،  $c_p = c_v + R = 0.718 + 0.2871 = 1.0051 \text{ kJ/kgK}$  ،

$$\therefore T'' = \frac{236.1}{0.692} = 341 \text{ K} = \underline{68^\circ \text{C}}$$

i.e. درجة الحرارة النهائية =  $\underline{68^\circ \text{C}}$

بالتالي،

$$p'' = \frac{m'' R T''}{V_s \times V_c} = \frac{0.9638 V_s \times 0.2871 \times 341 \times 10^3}{8 V_s / 7} = 82700 \text{ N/m}^2$$

i.e الضغوط النهائي =  $0.827 \text{ bar}$

## 2.7 مسائل: (Problems)

1/ كتلة مقدارها 1kg من هواء موجود في حاوية صلبة تكون بداية عند  $4.8 \text{ bar}$  و  $150^\circ \text{C}$ . يتم تسخين

الحاوية حتى تكون درجة الحرارة مساوية لـ  $200^\circ \text{C}$ . أحسب الضغط النهائي للهواء والحرارة المكتسبة أثناء

الإجراء.

Ans. (5.37 bar; 35.9 kJ/kg)

2/ وعاء صلد بحجم  $1\text{m}^3$  يحوى بخاراً عند  $20\text{bar}$  و  $400^\circ\text{C}$ . يتم تبريد الوعاء حتى يكون البخار جافاً مشبعاً. أحسب كتلة البخار في الوعاء، الضغط النهائي للبخار، والحرارة المُزالَة أثناء الإجراء.

Ans. (6.62 bar; 13.01 bar; 23355 kJ)

3/ أكسجين (بكتلة جزئية  $32\text{kg/kmol}$ ) يتمدد بإنعكاسية في أسطوانة خلف كباس بضغط مقداره  $3\text{bar}$ . يكون الحجم إبتدائياً مساوياً لـ  $0.01\text{m}^3$  ونهائياً مساوياً لـ  $0.03\text{m}^3$ ، تكون درجة الحرارة الإبتدائية مساوية لـ  $17^\circ\text{C}$ . أحسب الشغل المبذول بالأكسجين وسريان الحرارة إلي أو من جدران الأسطوانة أثناء التمدد. افترض أن الأكسجين يكون غازاً مثالياً وخذ  $c_p=0.917\text{ kJ/kgK}$ .

Ans. (6 kJ; 21.16 kJ)

4/ بخار عند ضغط  $7\text{bar}$ ، كسر جفاف  $0.9$ ، يتمدد بإنعكاسية بضغط ثابت حتى تكون درجة الحرارة مساوية لـ  $200^\circ\text{C}$ . أحسب الشغل المبذول والحرارة المكتسبة لكل  $\text{kg}$  من البخار أثناء الإجراء.

Ans. (38.2 kJ/kg; 288.7 kJ/kg)

5/ حجم مقداره  $0.05\text{m}^3$  من غاز مثالي عند  $6.3\text{bar}$  يؤدي إجراء إنعكاسياً ثابت درجة الحرارة إلي ضغط  $1.05\text{bar}$ . أحسب سريان الحرارة إلي أو من الغاز.

Ans. (56.4 kJ)

6/ بخار جاف مشبع عند ضغط  $7\text{bar}$  يتمدد بإنعكاسية في أسطوانة خلف كباس حتى يكون الضغط مساوياً لـ  $0.1\text{bar}$ . إذا تم إمداد الحرارة باستمرار أثناء الإجراء للمحافظة على درجة الحرارة، أحسب التغير في الطاقة الداخلية لكل  $\text{kg}$  من البخار.

Ans. (37.2 kJ/kg)

7/ كتلة هواء مقدارها  $1\text{kg}$  يتم إنضغاطها بإجراء ثابت درجة الحرارة وإنعكاسية من  $1\text{bar}$  إلي  $5\text{bar}$ . أحسب الشغل المبذول على الهواء وسريان الحرارة إلي أو من الهواء.

Ans. (140 kJ/kg; -140 kJ/kg)



8/ كتلة مقدارها 1kg عند 1bar و 15°C يتم إنضغاطها إنعكاسياً وبإجراء كاظم للحرارة إلى 4bar. أحسب درجة الحرارة النهائية والشغل المبذول على الهواء.

Ans. (155°C; 100.5 kJ/kg)

9/ نايتروجين (بكتلة جزيئية 28 kg/kmol) يتمدد إنعكاسياً في أسطوانة معزولة جيداً حرارياً من 3.5bar، 200°C إلى حجم مقداره 0.09m<sup>3</sup>. إذا كان الحجم الابتدائي المحتمل مساوياً لـ 0.03m<sup>3</sup>، أحسب الشغل المبذول أثناء التمدد. افترض أن النايتروجين يكون غازاً مثالياً و  $c_v = 0.741 \text{ kJ/kgK}$ .

Ans. (9.31 kJ)

## الفصل الثالث

### القانون الثاني للديناميكا الحرارية

#### (The Second Law of Thermodynamics)

في الفصل الأول تم توضيح أنه طبقاً للقانون الأول للديناميكا الحرارية، عندما يؤدي نظاماً دورة كاملة فإن صافي الحرارة المكتسبة يكون مساوياً لصافي الشغل المبذول. ويكون هذا مؤسساً على مبدأ بقاء الطاقة، الذي يتبع من مشاهدة الأحداث الطبيعية. القانون الثاني للديناميكا الحرارية، الذي هو أيضاً قانون طبيعي، يُشير إلي أنه، بالرغم من أن صافي الحرارة المكتسبة في دورة يكون مساوياً لصافي الشغل المبذول، فإن إجمالي الحرارة المكتسبة يجب أن يكون أكبر من صافي الشغل المبذول، وذلك لأن بعض الحرارة يتم فقدها دائماً من النظام.

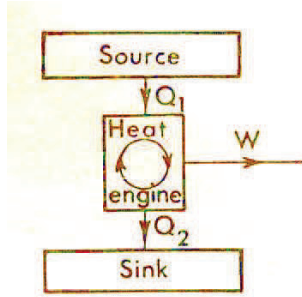
#### 3.1 المحرك أو الآلة الحرارية: (The Heat Engine)

المحرك الحراري هو نظام يعمل في دورة كاملة وينتج صافي شغل من إمداد حرارة. يقتضي القانون الثاني ضمناً أن مصدراً لإمداد حرارة وغاطساً لفقد الحرارة يكونا ضروريين، بما أن بعض الحرارة يجب أن يتم دائماً طردها بواسطة النظام. هنالك تمثيلاً مخططياً يتم توضيحه في الشكل (3.1). تكون الحرارة المكتسبة  $Q_1$ ، الشغل المبذول  $W$ ، والحرارة المفقودة هي  $Q_2$ . بالقانون الأول، في دورة واحدة كاملة، فإن،

صافي الحرارة المكتسبة = صافي الشغل المبذول

بالتالي من المعادلة (1.1)،

$$\oint dQ = \oint dW$$



شكل (3.1)

بالرجوع للشكل (3.1)،

$$Q_1 - Q_2 = W \quad (3.1)$$

بالقانون الثاني، فإن إجمالي الحرارة المكتسبة يجب أن يكون أكبر من صافي الشغل المبذول

$$Q_1 > W$$

يتم تعريف الكفاءة الحرارية (thermal efficiency) لمحرك حراري كنسبة صافي الشغل المبذول في الدورة

إلى إجمالي الحرارة المكتسبة في الدورة. ومن المعتاد التعبير عنها كنسبة مئوية. بالرجوع للشكل (3.1)،

$$\eta = \frac{W}{Q_1} \quad (3.2)$$

بالتعويض في المعادلة (3.1)،

$$\eta = \frac{Q_1 - Q_2}{Q_1} = 1 - \frac{Q_2}{Q_1} \quad (3.3)$$

يمكن الملاحظة من أن القانون الثاني يقتضي ضمناً أن الكفاءة الحرارية لمحرك حراري يجب أن تكون دائماً

أقل من 100%.

من تعريف الحرارة، فإن فرقاً في درجة الحرارة يكون ضرورياً لسريان الحرارة. يتبع ذلك أن مصدر الحرارة في

الشكل (3.1) يجب أن يكون عند درجة حرارة أعلى من الغاطس. يمكن التفكير بمصدر الحرارة كوعاء ساخن

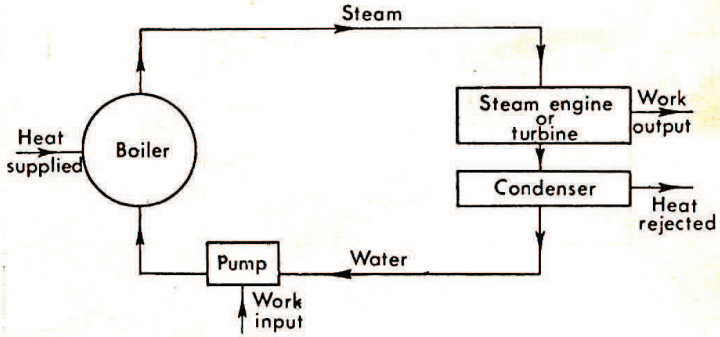
والغاطس كوعاء بارد. يُوضح القانون الثاني أن فرقاً في درجة الحرارة، مهماً يكون صغيراً، يكون ضرورياً قبل أن يمكن إنتاج صافي شغل في دورة. هذا يقود لبيان القانون الثاني كالاتي:

يكون مستحيلاً لمحرك حراري إنتاج صافي شغل في دورة كاملة إذا تبادل حرارة فقط مع أجسام عند درجة حرارة مثبتة مفردة.

التقييد المفروض بالقانون الثاني يكون أكثر وضوحاً إذا تم عمل محاولة للتفكير في نظام لا يكون مشمولاً بالقانون. كمثال، ليس هنالك شيئاً في القانون الأول يُشير إلي أن الطاقة الداخلية للبحر لا يمكن تحويلها إلي شغل ميكانيكي بأسلوب مستمر. يُمثل البحر مقداراً ضخماً للطاقة بملايين الأطنان من الماء عند درجة حرارة فوق الصفر المطلق. على أي حال، لا يمكن عمل سفينة ستدور محركاتها بأخذ الطاقة من البحر. من القانون الثاني كما ذكر عاليه، يُلاحظ أن مستودعاً ثابتاً للطاقة عند درجة حرارة أدني يكون أساسياً قبل أن يمكن إنتاج شغل.

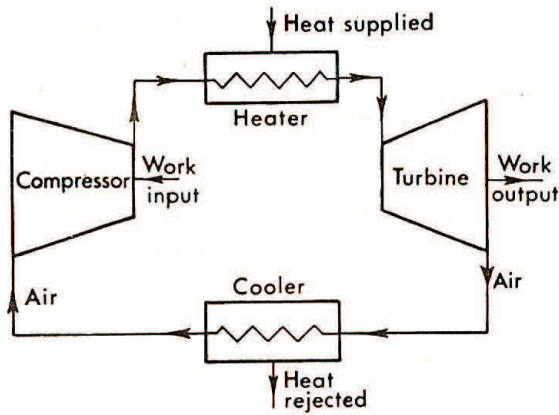
إحدى الأمثلة العملية لمحرك حراري هو دورة البخار البسيطة. لقد تم استخدام هذا الدورة مسبقاً لشرح القانون الأول.

بالرجوع للشكل (3.2) ، يتم إمداد حرارة في الغلاية، ويُنتج شغلاً في محرك بخاري أو توربينة، يتم فقد حرارة في مكثف ويتطلب مقدار صغير لشغل دخل للمضخة. يكون المستودع الساخن هو فرن الغلاية، بينما يكون المستودع البارد هو ماء التبريد الدائر في المكثف، ويكون النظام نفسه هو البخار.



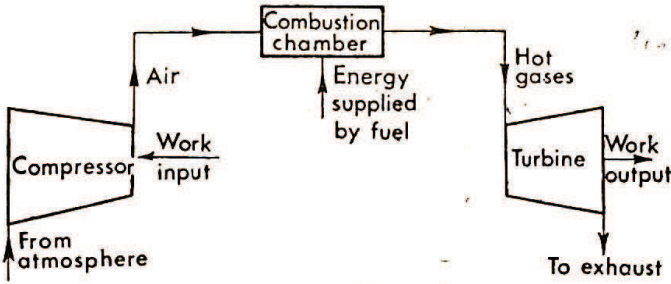
شكل (3.2)

مثال آخر لمحرك حرارة هو الدورة المغلقة لمحطة توربينة غاز كما موضح في الشكل (3.3). يكون النظام في هذه الحالة هو الهواء. يتم إمداد الحرارة إلي الهواء بالغازات الساخنة في مبادل حراري، يتم إنتاج شغل بواسطة التوربينة. يتم فقد الحرارة لماء التبريد في مبرّد، ويتم بذل شغل على الهواء في ضاغط. المستودع الساخن هو الغاز الساخن الدائر حول الهواء في المبادل الحراري؛ المستودع البارد هو ماء التبريد الدائر في المبرّد.



شكل (3.3)

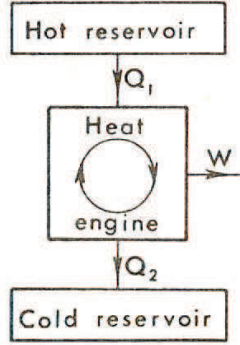
في محطة توربينة غاز مفتوحة الدورة يتم إمداد الطاقة برش الوقود في جدول من الهواء في غرفة إحتراق؛ تتمدّد الغازات الناتجة في التوربينة ومن بعد تُخرج إليّ الجو، (أنظر الشكل(3.4)). لا تكون هذه الدورة هي دورة محرك حرارة طبقاً للتعريف المُعطى، بما أنّ النظام لا يسترجع لحالته الأصلية، وحقيقة يتعرض لتغيير كيميائي بالاحتراق. نفس الشئ في محرك إحتراق داخلي ترددي يتم خلط الهواء مع وقود ويُحرق في الأسطوانة، وتستفد الغازات الناتجة بعد التمدّد إليّ الجو. على أي حال، فإنّ محطة توربينة الغاز مفتوحة الدورة، ومحرك الاحتراق هما مولدات قدرة هامان في الهندسة ويُطلق عليهما عادة محركات حرارة. من الممكن تجاهل كتلة الوقود بالمقارنة مع كتلة الهواء، ويمكن أخذ الحرارة المفقودة كطاقة الغاز المستفد (exhaust gas) ناقصاً طاقة الهواء عند المدخل (i.e. الطاقة المفقودة إذا تم تبريد العادم إليّ أحوال المدخل ومن بعد إعادة تدويرها).



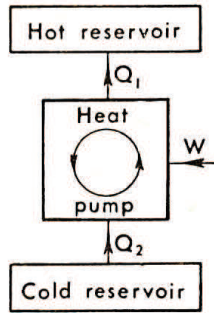
شكل (3.4)

يتم تطبيق القانون الأول والثاني لدورات تشتغل في الإتجاه المعكوس لتلك للمحرك الحراري. في حالة دورة معكوسة، فإنّ صافي الشغل يُبذل على النظام ويساوي صافي الحرارة المفقودة بواسطة النظام. مثل هذه الدورات تحدث في مضخات الحرارة والثلاجات.

المخططات المكافئة لمحرك الحرارة ومضخة الحرارة (أو الثلاجة) يتم توضيحهما في الشكل (3.5(a)) والشكل (3.5(b)).



شكل (3.5(a))



شكل (3.5(b))

في دورة مضخة الحرارة (أو التلاجة) يتم إمداد مقدار من الحرارة،  $Q_2$ ، من المستودع البارد، ويتم فقد الحرارة،  $Q_1$  إلى المستودع الساخن. بالقانون الأول نحصل على،

$$Q_1 = Q_2 + W \quad (3.4)$$

بالقانون الثاني يمكن القول بأنَّ شغل الدخل يكون أساساً لكي يكون هنالك إنتقال للحرارة من المستودع البارد إلي المستودع الساخن،

i.e.  $W > 0$

هذه يمكن برهانها من بيان القانون الثاني المُعطي مسبقاً، لكن سوف لن يتم إعطاء البرهان هنا. هنالك بياناً للقانون الثاني متعلقاً بمضخة الحرارة (أو التلاجة) يُعزى لـ Clausius، ويقول كما يلي:  
 يكون من المستحيل بناء جهاز عندما يشتغل في دورة سوف لن ينتج تأثيراً أكثر من إنتقال حرارة من مبرّد إلي جسم ساخن.

هذا البيان يتم برهانه بسهولة بتجربة (خبرة) الإجراءات الطبيعية:

من الملاحظ أنّ الحرارة لا تسرى من جسم بارد إلي جسم ساخن؛ تتطلب التلاجة مدخلاً للطاقة لكي تستخلص الحرارة من الغرفة الباردة وتطردها عند درجة حرارة أعلى.

عندما يتم إعتبار بيان القانون الثاني، تبدو حقيقة هامة. بالرجوع للشكل ((3.5(a))) والبيان الأول للقانون الثاني يتضح أنّ  $Q_2$  لا يمكن أن تكون صفراً، بمعنى آخر، من المستحيل تحويل إمداد حرارة بالكامل إلي شغل ميكانيكي.

على أي حال، بالرجوع إلي الشكل ((3.5(b))), يتم ملاحظة أنّ  $Q_2$  في هذه الحالة يمكن أن تكون صفراً، بدون انتهاك للقانون الثاني. بالتالي من الممكن تحويل شغلاً ميكانيكياً بالكامل إلي حرارة. يتم توضيح هذه الحقيقة بسهولة كمثال، عندما يتم تطبيق الفرامل في سيارة لاجتذابها إلي السكون، فإنّه يتم تحويل طاقة الحركة بالكامل إلي حرارة عند العجلات. لا يمكن إيجاد مثال يمكن فيه تحويل حرارة بإستمرار وبالكامل إلي شغل ميكانيكي.

### 3.2 القصور الحراري: (Entropy)

وُجد أن هنالك خاصية هامة، هي الطاقة الداخلية التي تنشأ كنتيجة للقانون الأول للديناميكا الحرارية. هنالك خاصية هامة أخرى تنشأ من القانون الثاني ألا وهي القصور الحراري.

إعتبر إجراءً كإظماً للحرارة إنعكاسياً لأي نظام على مخطط  $p - v$ . هذا يُمثل بالخط AB على الشكل (3.6). دعنا نفترض أنّه من الممكن للنظام أن يؤدي إجراءً ثابت للحرارة إنعكاسي عند درجة حرارة  $T_1$  من B إلي C ومن بعد يتم إسترجاعه لحالته الأولى بإجراء ثانٍ كاظم للحرارة إنعكاسي من C إلي A. الآن بالتعريف فإنّ الإجراء الكاظم للحرارة هو أحد الإجراءات التي لا يكون فيها سريان للحرارة إلي أو من النظام. بالتالي فإنّ

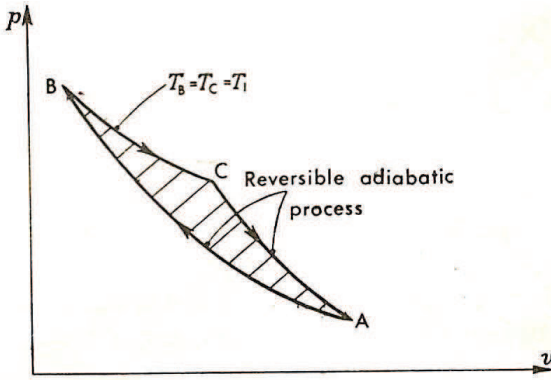


الحرارة المنقلة الوحيدة هي من B إلى C أثناء الإجراء الثابت الحرارة. يتم إعطاء الشغل المبذول بالنظام بالمساحة المطوقة. عليه فإننا نملك نظاماً يؤدي دورة ويطور صافى شغل بينما يقوم بسحب حرارة من مستودع عند درجة حرارة مفردة مثبتة. هذه تكون مستحيلة لأنها تنتهك القانون الثاني. عليه الافتراض الأصلي يكون خاطئاً، ويكون من المستحيل وجود إجراءين كاطمين للحرارة يمران خلال نفس الحالة A.

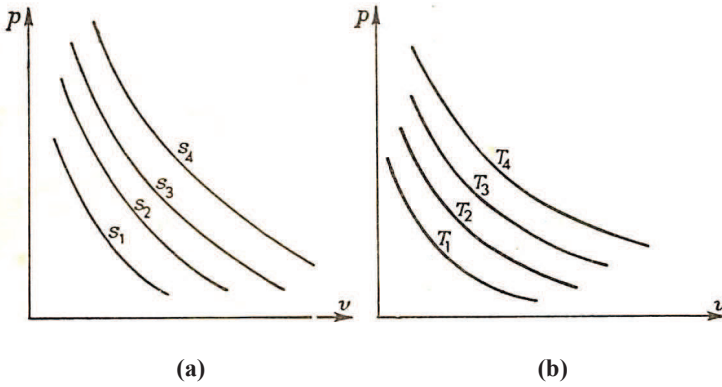
الآن، فإن إحدى الخصائص (المميزات) لخاصية نظام هي أنه هنالك خطأ وحيداً يمثل قيمة للخاصية على مخطط الخواص. (كمثال، فإن الخط BC على الشكل (3.6) يمثل ثابت الحرارة عند  $T_1$ ). بالتالي يجب أن يكون هنالك خاصية تُمثل بإجراء كاظم للحرارة إنعكاسي. تسمى هذه الخاصية بالقصور الحراري، s.

يتبع ذلك أنه ليس هنالك تغييراً للقصور الحراري في إجراء كاظم للحرارة. على مخطط  $p - v$  هنالك سلسلة من الإجراءات كاظمة للحرارة إنعكاسية كما موضح في الشكل (a) 3.7، يكون كل خط ممثلاً لقيمة واحدة من القصور الحراري. هذه تكون مشابهة للشكل (b) 3.7 الذي يتم فيه رسم خطوط ثابتة درجة الحرارة، كل تمثل قيمة واحدة لدرجة الحرارة. لكي يتم تعريف القصور الحراري بدلالات الخواص الديناميكية الحرارية الأخرى يكون من الضروري استخدام أسلوباً صارماً.

في المقطع 2.2 لقد تم توضيح إجراء كاظماً للحرارة إنعكاسياً لغاز مثالي يتبع القانون  $pv^\gamma = \text{constant}$ . الآن فإن القانون  $pv^\gamma = \text{constant}$  هو خطأ وحيداً على مخطط  $p - v$ ، بحيث أن البرهان المعطي في المقطع 2.2 لغاز مثالي هو برهان مشابه لذلك المعطي عليه (i.e. برهان أن هنالك إجراء كاظماً للحرارة إنعكاسياً يحتل خطأً وحيداً على مخطط الخواص). البرهان المعطي عليه يعتمد على القانون الثاني ولقد استخدم لتقديم القصور الحراري كخاصية. يتبع ذلك أن البرهان لـ  $pv^\gamma = \text{constant}$  في المقطع 2.2 يجب أن يتضمن حقيقة أن القصور الحراري لا يتغير أثناء إجراء كاظماً للحرارة إنعكاسياً.



شكل (3.6) الدورة الافتراضية على مخطط  $p - v$ .



شكل (3.7) متسلسلة من خطوط ثابت القصور الحراري

وثابت درجة الحرارة على مخطط  $p - v$

بالرجوع إلي البرهان في المقطع 2.2، بدءاً بمعادلة اللاسريان لإجراء انعكاسياً،

$$dQ = du + pdv$$

ولغاز مثالي،

$$dQ = c_v dT + RT \frac{dv}{v}$$

هذه المعادلة يمكن تكاملها بقسمة طرفي المعادلة على T،

$$\text{i.e. } \frac{dQ}{T} = \frac{c_v dT}{T} + \frac{Rdv}{v}$$

أيضاً لإجراء كاظم للحرارة،  $dQ = 0$ ،

$$\text{i.e. } \frac{dQ}{T} = \frac{c_v dT}{T} + \frac{Rdv}{v} = 0 \quad (3.5)$$

الآن بعيداً عن المعالجة الرياضية وإدخال العلاقة بين  $R$ ،  $c_p$ ،  $c_v$  و  $\gamma$ ، لا يكون هنالك خطوات أساسية أخرى في البرهان. هذا يجب أن يعنى أنه قسمة طرفي المعادلة على T هي إحدى الخطوات التي تتضمن تقييد القانون الثاني، والحقيقة الهامة التي تقول أن التغيير في القصور الحراري يكون صفراً، عليه يمكننا القول أن  $dQ/T = 0$  لإجراء كاظم للحرارة إنعكاسي. لأي إجراء إنعكاسي آخر  $dQ/T \neq 0$ .

يمكن توضيح أن هذه النتيجة تنطبق على جميع المواد التشغيلية.

$$\text{i.e. } ds = \frac{dQ}{T} \quad (3.6) \quad \text{لجميع المواد التشغيلية}$$

(حيث s هو القصور الحراري).

لاحظ بما أن المعادلة (3.5) تكون لإجراء إنعكاسياً، فإن  $dQ$  في المعادلة (3.6) هي الحرارة المضافة بإنعكاسية.

يكون التغير في القصور الحراري أكثر أهمية من قيمته المطلقة، ويمكن إختيار القصور الحراري الصفري على نحو إعتباطي. كمثال، في جداول البخار يُوضع القصور الحراري مساوياً لصفـر عند  $0.01^\circ\text{C}$ ؛ في جداول سوائل التبريد فإنَّ القصور الحراري يُوضع مساوياً لصفـر عند  $-40^\circ\text{C}$ .

بتكامل المعادلة (3.6) يُعطي،

$$s_2 - s_1 = \int_1^2 \frac{dQ}{T} \quad (3.7)$$

معتبراً 1kg لمائع، يمكن إعطاء وحدات القصور الحراري بـ  $\text{kJ/kg}$  مقسومة على  $K$ . عليه فإن وحدات القصور الحراري،  $s$ ، هي  $\text{kJ/kgK}$ .

سيتم استخدام الرمز  $S$  للقصور الحراري لكتلة،  $m$ ، لمائع،

$$\text{i.e.} \quad S = ms$$

بإعادة كتابة المعادلة (3.6) نحصل على،

$$dQ = T ds$$

أو لأي إجراء انعكاسي،

$$Q = \int_1^2 T ds \quad (3.8)$$

تكون هذه المعادلة مناظرة لأي إجراء انعكاسي،

$$W = \int_1^2 p dv$$

هكذا، كما يكون هنالك مخططاً يُمثل عليه المساحات كشغلاً مبدولاً في إجراء انعكاسياً، يكون هنالك أيضاً

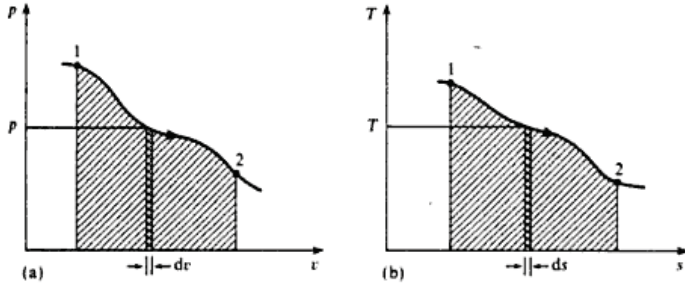
مخططاً يُمثل عليه المساحات كسريان للحرارة في إجراء انعكاسي. تكون هذه المخططات هي مخططات  $p - v$

و  $T - s$  على الترتيب، كما موضح في الأشكال 3.8(a) و 3.8(b). لإجراء انعكاسياً 2 - 1 في الشكل

3.8(a)، فإن المساحة المظللة  $W = \int_1^2 p dv$ ، تُمثل الشغل المبدول؛ ولإجراء انعكاسياً 1 - 2 في

الشكل 3.8(b)، فإن المساحة المظللة  $W = \int_1^2 T ds$ ، تُمثل سريان الحرارة. عليه فإن إحدى الفوائد لخاصية

القصور الحراري هي التمكن من رسم مخطط تكون عليه المساحات مُثلة لسريان الحرارة في إجراء انعكاسي.



شكل (3.8) المساحة تحت إجراء إنعكاسي على مخطط  $p - v$  وعلى مخطط  $T - s$

### 3.3 مخطط $T - S$ : (The $T - S$ Diagram)

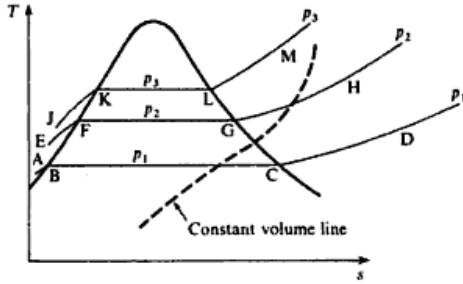
a / لبخار : (For Vapor)

كما ذكر سابقاً، فإن الصفر للقصور الحراري يُؤخذ كـ  $0.01^\circ\text{C}$  لبخار و كـ  $40^\circ\text{C}$ - لسوائل التبريد. سيتم هنا فقط إعتبار مخطط  $T - S$  للبخار؛ ويكون المخطط لمواد التبريد مشابهاً بالضبط بإستثناء صفر القصور الحراري. يتم توضيح مخطط  $T - S$  للبخار في الشكل (3.9). يتم توضيح ثلاث خطوط ذات ضغط ثابت  $(p_1, p_2, p_3)$ .

(i.e. الخطوط ABCD, EFGH, JKLM). تكون خطوط الضغط في منطقة عملياً متطابقة مع خط السائل المشبع (i.e. الأجزاء AB, EF, JK)، ويتم عادة تجاهل الفرق. يبقى الضغط ثابتاً مع درجة الحرارة عندما يتم إضافة الحرارة الكامنة، بالتالي فإن خطوط الضغط تكون متوازية في المنطقة الرطبة (i.e. الأجزاء BC, FG, و KL). تتقوس خطوط الضغط لأعلى في منطقة التخميص كما موضَّح (i.e. الأجزاء CD, GH, LM). هكذا فإن درجة الحرارة ترتفع باستمرار التسخين بضغط ثابت.

هنالك خط حجم ثابت واحد (موضح منقطاً سلسلياً) يتم رسمه في الشكل (3.9). تكون خطوط الحجم الثابت مقعرة لأسفل في المنطقة الرطبة ويميل لأعلى بإنحدار أكثر عن خطوط الضغط في منطقة التخميص.

في جداول البخار فإنّ القصور الحراري للسائل المشبّع والبخار الجاف المشبّع يتم تمثيلها بـ  $s_f$  و  $s_g$  على الترتيب. يتم أيضاً جدولة الفرق  $s_g - s_f = s_{fg}$ . يتم إعطاء القصور الحراري لبخار رطب بالقصور الحراري للماء في خليط زائداً القصور الحراري للبخار الجاف في الخليط.



شكل (3.9) مخطط  $T - s$  لبخار

لبخار رطب بكسر جفاف،  $x$ ، نحصل على،

$$s = (1 - x)s_f + xs_g \quad (3.9)$$

$$\text{أو } s = s_f + x(s_g - s_f)$$

$$\text{i.e. } s = s_f + xs_{fg} \quad (3.10)$$

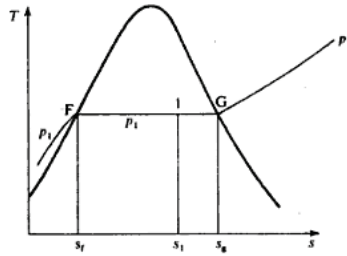
بالتالي، فإنّ كسر الجفاف يُعطي بـ ،

$$x = \frac{s - s_f}{s_{fg}} \quad (3.11)$$

يمكن الملاحظة من المعادلة (3.11)، أنّ كسر الجفاف يكون متناسباً مع بعد نقطة الحالة من خط السائل على

مخطط  $T - S$ . كمثال، للحالة 1 على الشكل (3.10) فإنّ كسر الجفاف،

$$x_1 = \frac{\text{البعد } FI}{\text{البعد } FG} = \frac{s - s_f}{s_{fg}}$$



شكل (3.10) كسر الجفاف من المساحات على مخطط  $T - s$

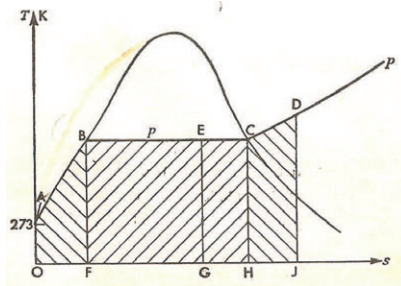
تمثل المساحة تحت الخط  $FG$  الشكل (3.10) الحرارة الكامنة  $h_{fg}$ ، وتُعطى المساحة تحت الخط  $F1$  بـ

$$x_1 h_{fg}$$

المحتوى الحراري لبخار الرطب يُعطى بـ ،

$$h = h_f + x h_{fg}$$

يُمكن مخطط  $T - S$  من التعبير المخططي لهذه الحقيقة، بما أنَّ المساحات على المخطط تمثل سريان الحرارة. بإفتراض أن خط الضغط في منطقة السائل يكون متطابقاً مع خط السائل المشبع، بالتالي يمكن تمثيل المحتوى الحراري على المخطط. بالرجوع للشكل (3.11)، عندما يكون هنالك ماءً عند أي ضغط  $p$ ، و عند  $0.01^\circ\text{C}$ ، يتم تسخينه بضغط ثابت فإنه ينتج بالتقريب الخط  $AB$ ؛ تكون النقطة  $B$  عند درجة حرارة التسخين  $T$  التي يغلي الماء عند الضغط  $p$ . من المعادلة (2.4)، بضغط ثابت،



شكل (3.11)

$$Q = h_B - h_A = h_B$$

(بما أن  $h_A$  عند  $0.01^\circ\text{C}$  هو تقريباً صفر).

نحصل على،

$$\text{المساحة ABFOA} = h_B = h_f \quad , \quad p \text{ عند ضغط}$$

عند النقطة B، إذا استمر التسخين فإن الماء يتغير تدريجياً إلى بخار حتى عند C التي يكون عندها البخار

بالضبط جافاً مشبعاً. عليه نحصل على،

$$\text{المساحة BCHFB} = h_{fg} = \text{الحرارة الكامنة} = h_{fg} \quad \text{و} \quad p = h_C - h_B \text{ عند ضغط}$$

بالتالي عند النقطة C، يُعطي المحتوى الحراري بـ

$$\text{المساحة ABFOA} + \text{المساحة BCHFB} = h_C \text{ عند ضغط } p \text{ و}$$

لبخار رطب عند النقطة E،

$$h_E = h_B + x_E h_{fg}$$

$$\text{i.e.} \quad h_E = \text{المساحة ABEGOA}$$

عندما يتم التسخين إضافياً لبخار جاف مشبع يُصبح محمصاً.

يتم إعطاء الحرارة المُضافة من C إلى D بضغط ثابت p، بـ

$$Q = h_D - h_C = \text{المساحة CDJHC}$$

بالتالي فإن المحتوى الحراري عند D يكون،

$$\text{المساحة ABCDJOA} = \text{المساحة CDJHC} + h_D = h_C$$

**مثال (3.1):**

1kg من بخار، عند 7bar وقصور حراري  $6.5\text{kJ/kgK}$ ، يتم تسخينه إنعكاسياً عند ضغط ثابت حتى تكون

درجة الحرارة مساوياً لـ  $250^\circ\text{C}$ . أحسب الحرارة المكتسبة، ووضِّح على مخطط S - T المساحة التي تُمثل

سريان الحرارة.



عند  $s_g=6.709\text{kJ/kgK}$  7bar ، بالتالي يكون البخار رطباً، بما أن القصور الحراري الفعلي،  $s$ ، يكون أقل من

$s_g$ .

الحل:

من المعادلة (3.11)،

$$x_1 = \frac{s_1 - s_{fl}}{s_{fg1}} = \frac{6.5 - 1.992}{4.717} = \underline{0.955}$$

بالتالي،

$$h_1 = h_{f1} + x_1 h_{fg1} = 697 + 0.955 \times 2067$$

$$\text{i.e. } h_1 = 697 + 1975 = \underline{2672} \text{ kJ/kg}$$

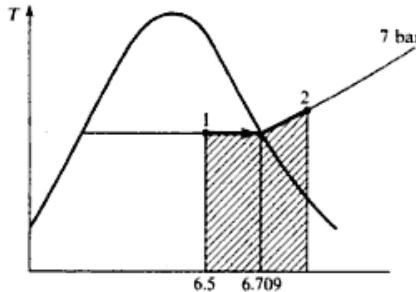
عند الحالة 2 يكون البخار عند  $250^\circ\text{C}$  وعند 7bar، وعليه يكون محمصاً. من جداول التحميص

$$h_2 = \underline{2955} \text{ kJ/kg}$$

عند ضغط ثابت من المعادلة (2.3)،

$$Q = h_2 - h_1 = 2955 - 2672 = \underline{283} \text{ kJ/kg}$$

يُعطى الإجراء على مخطط  $T - S$  في الشكل (3.12)، تُمثل المساحة المظللة سريان الحرارة.



شكل (3.12) مخطط  $T - s$

مثال (3.2):

أسطوانة صلبة بحجم  $0.025\text{m}^3$  تحوى بخاراً عند  $80\text{bar}$  و  $350^\circ\text{C}$ . يتم تبريد الأسطوانة حتى يكون الضغط مساوياً لـ  $50\text{bar}$ . أحسب حالة البخار بعد التبريد ومقدار الحرارة المرفوضة بواسطة البخار. وضح الإجراء على

مخطط T – S مشيراً للمساحة التي تُمثل سريان الحرارة

الحل:

البخار عند  $80\text{bar}$  و  $350^\circ\text{C}$  يكون محمصاً، ويكون الحجم النوعي من الجداول مساوياً لـ  $0.0299\text{m}^3/\text{kg}$ .

بالتالي فإن كتلة البخار في الأسطوانة تُعطي بـ ،

$$m = \frac{0.025}{0.02944} = 0.835 \text{ kg}$$

لبخار محمص فوق  $80\text{bar}$  يتم إيجاد الطاقة الداخلية من المعادلة (1.7)،

$$u_1 = h_1 - p_1 v_1 = 2990 - \frac{80 \times 10^5 \times 0.02994}{10^3}$$

$$\text{i.e. } u_1 = 2750.5 \text{ kJ / kg}$$

عند الحالة 2،  $p_2 = 50\text{bar}$  و  $v_2 = 0.02994\text{m}^3/\text{kg}$  عليه يكون البخار رطباً، ويُعطي كسر الجفاف

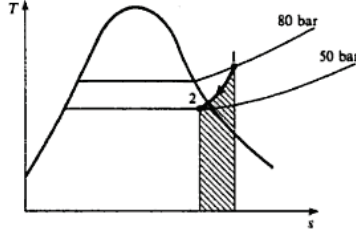
بالمعادلة،

$$x_2 = \frac{v_2}{v_{g_2}} = \frac{0.02994}{0.03994} = 0.758$$

من المعادلة،

$$u_2 = (1 - x_2)u_{f_2} + x_2u_{g_2} = 0.242 \times 1149 + 0.758 \times 2597$$

$$\text{i.e. } u_2 = 278 + 1969 = 2247 \text{ kJ / kg}$$



شكل (3.13) مخطَّط T – s

بحجم ثابت من المعادلة (2.2)،

$$Q = U_2 - U_1 = m(u_2 - u_1) = 0.835(2247 - 2750.5)$$

$$\text{i.e. } Q = -0.835 \times 503.5 = -420\text{kJ}$$

$$\text{i.e. } \text{الحرارة المفقودة} = 420\text{kJ}$$

الشكل (3.13) يُوضح الإجراء مرسوماً على مخطَّط T – s، تُمثل المساحة المطلَّة الحرارة المفقودة بالنظام.

### b/ لغاز مثالي: (For a Perfect Gas)

من المفيد رسم خطوط الضغط الثابت والحجم الثابت على مخطَّط T – s لغاز مثالي. بما أنَّ تغييرات القصور الحراري تكون ذات تطبيق مباشر أكثر من القيمة المطلقة، فيمكن إختبار القصور الحراري الصفري عند أي مرجعية إعتباطية كدرجة الحرارة والضغط. في الشكل (3.14) فإنَّ الضغط  $p_1$  وخط الحجم  $v_1$  يتم رسمهما مازان خلال النقطة 1. لاحظ أنَّ خط الضغط الثابت يميل بانحدار أقل عن خط الحجم الثابت. هذه يمكن برهانها بسهولة بالرجوع للشكل (3.14). إجعل النقاط A و B تكونان عند  $T_2$  و  $v_1$ ، و  $T_2$  و  $p_1$  على

الترتيب كما موضَّح. الآن بين 1 و A من المعادلة (3.7) نحصل على،

$$s_A - s_1 = \int_1^A \frac{dQ}{T}$$

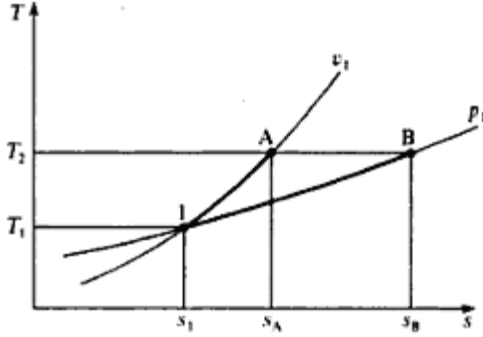
أيضاً لحجم ثابت لـ 1kg من الغاز من المعادلة  $dQ = c_v dT$

$$\therefore s_A - s_1 = \int_1^A \frac{c_v dT}{T} = c_v \log_e \frac{T_A}{T_1} = c_v \log_e \frac{T_2}{T_1}$$

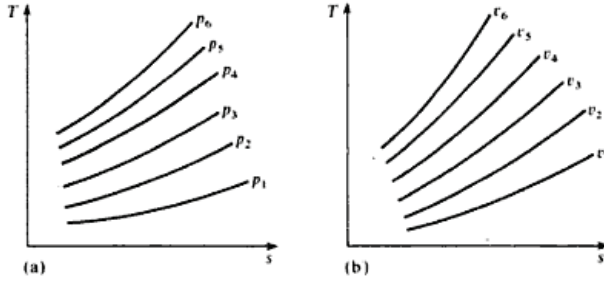
نفس الشيء، عند ضغط ثابت لـ 1 kg من الغاز،  $dQ = c_p dT$ ، بالتالي،

$$\therefore s_B - s_1 = \int_1^B \frac{c_p dT}{T} = c_p \log_e \frac{T_B}{T_1} = c_p \log_e \frac{T_2}{T_1}$$

الآن بما أن  $c_p$  تكون أكبر من  $c_v$  لأي غاز مثالي، بالتالي  $s_B - s_1$  يكون أكبر من  $s_A - s_1$ . عليه يجب أن تقع النقطة A يسار النقطة B على المخطط، بالتالي فإن خط ثابت الضغط يميل بقيمة أقل عن خط الحجم الثابت. يُوضح الشكل 3.15(a) متسلسلة خطوط ضغط ثابت على مخطط  $T - S$ ، ويُوضَّح الشكل 3.15(b) متسلسلة خطوط حجم ثابت على مخطط  $T - S$ . لاحظ أنه في الشكل 3.15(a)  $p_6 > p_5 > p_4 > p_3$  etc وفي الشكل 3.15(b)  $v_1 > v_2 > v_3$  etc. كلما يرتفع الضغط، ترتفع درجة الحرارة وينخفض الحجم؛ وبالعكس كلما هبط الضغط ودرجة الحرارة يزداد الحجم.



شكل (3.14) تغيرات القصور الحراري عند ضغط ثابت وحجم ثابت على مخطط  $p - v$



شكل (3.15) خطوط ثابت الضغط ثابت الحجم  
مرسومة على مخطط  $T - S$  لغاز مثالي

مثال (3.3):

هواء عند  $15^\circ\text{C}$  و  $1.05\text{bar}$  يحتل حجماً مقداره  $0.02\text{m}^3$ . يُسخن الهواء بحجم ثابت حتى يكون الضغط مساوياً لـ  $4.2\text{bar}$ ، ومن ثم يبرد بضغط ثابت إلى درجة الحرارة الأصلية. أحسب صافي سريان الحرارة إلى أو من الهواء وصافي التغير في القصور الحراري. أرسم الإجراء على مخطط  $T - S$ .

الحل:

يتم توضيح الإجراء على مخطط  $T - S$  كما في الشكل (3.16)،

لغاز مثالي،

$$m = \frac{pv}{RT} = \frac{1.05 \times 10^5 \times 0.02}{0.287 \times 10^3 \times 288} = 0.0254 \text{ kg}$$

(حيث  $T_1 = 15 + 273 = 288\text{K}$ )

لغاز مثالي عند حجم ثابت،  $p_1/T_1 = p_2/T_2$ ، بالتالي،

$$T_2 = \frac{4.2 \times 288}{1.05} = 1152 \text{ K}$$

عند حجم ثابت،

$$Q = mc_v(T_2 - T_1) = 0.0254 \times 0.718(1152 - 288)$$

i.e.  $Q_{1-2} = \underline{15.75 \text{ kJ}}$

عند ضغط ثابت،

$$Q = mc_p(T_3 - T_2) = 0.0254 \times 1.005(288 - 1152)$$

i.e.  $Q_{2-3} = \underline{-22.05 \text{ kJ}}$

$\therefore$  صافي سريان الحرارة =  $Q_{1-2} + Q_{2-3} = 15.75 - 22.05 = \underline{-6.3 \text{ kJ}}$

i.e. الحرارة المفقودة =  $\underline{6.3 \text{ kJ}}$

بالرجوع للشكل (3.16)،

$$\text{صافي النقصان في القصور الحراري} = s_1 + s_3 = (s_2 - s_3) - (s_2 - s_1)$$

عند ضغط ثابت،  $dQ = mc_p dT$ ، بالتالي، مستخدماً المعادلة (3.7)،

$$m(s_2 - s_3) = \int_{288}^{1152} \frac{mc_p dT}{T} = 0.0254 \times 1.005 \times \log_e \frac{1152}{288}$$

$$= \underline{0.0354 \text{ kJ/K}}$$

عند حجم ثابت،  $dQ = mc_v dT$ ، بالتالي، باستخدام المعادلة (3.7)،

$$m(s_2 - s_1) = \int_{288}^{1152} \frac{mc_v dT}{T} = 0.0254 \times 0.718 \times \log_e \frac{1152}{288}$$

$$= \underline{0.0253 \text{ kJ/K}}$$

عليه،

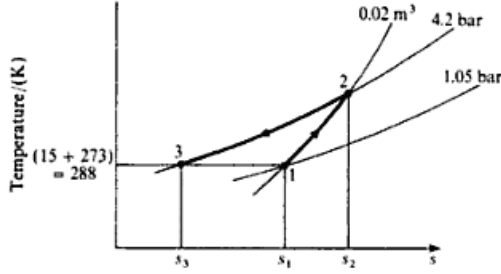
$$m(s_1 - s_3) = 0.0354 - 0.0253 = \underline{0.0101 \text{ kJ/K}}$$

i.e.  $\text{النقصان في القصور الحراري} = \underline{0.0101 \text{ kJ/K}}$

لاحظ أنه بما أن القصور الحراري هو عبارة عن خاصية، فإن النقصان في القصور الحراري في المثال (3.3)،

المعطى بـ  $(s_1 - s_3)$ ، يكون مستقلاً عن الإجراءات الخاضعة بين الحالات 1 و 3. يمكن أيضاً إيجاد  $(s_1 - s_3)$

بتخيل إجراء ثابتاً لدرجة الحرارة إنعكاسياً يحدث بين 1 و 3.



شكل (3.16) إجراءات على مخطط  $T - s$

3.4 إجراءات إنعكاسية على مخطط  $T - s$ :

### (Reversible Process on The $T - s$ Diagram)

الإجراءات الإنعكاسية العديدة التي تم التعامل معها في الفصل 2 سيتم الآن إعتبارها بالعلاقة على مخطط  $T - s$ . لقد تم تمثيل إجراءات الحجم الثابت والضغط الثابت على مخطط  $T - s$  في المقطع 3.3، وعليه سوف لن يتم مناقشتها مرة أخرى في هذا المقطع.

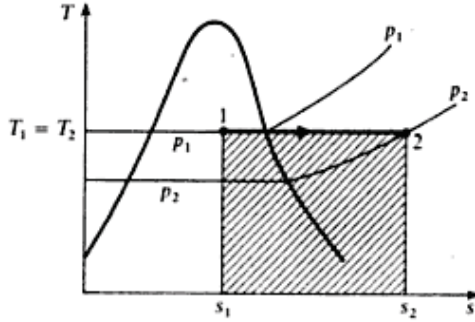
### 1. إجراء ثابت درجة الحرارة إنعكاسي: (Reversible Isothermal Process)

سيبدو الإجراء ثابت الحرارة الإنعكاسي كخط مستقيم على مخطط  $T - s$ ، و تُمثل المساحة تحت الخط سريان الحرارة أثناء الإجراء. كمثال، فإن الشكل (3.17) يُوضح تمدد ثابت لدرجة الحرارة إنعكاسي لبخار رطب في منطقة التحميص. تُمثل المساحة المظللة الحرارة المكتسبة أثناء الإجراء،

$$\text{i.e.} \quad \text{الحرارة المكتسبة} = T(s_2 - s_1)$$

لاحظ أنه يجب استخدام درجة الحرارة المطلقة. تكون درجة الحرارة المجدولة في جداول البخار هي  $t^\circ\text{C}$ ، ويجب تحويلها إلي  $\text{TK}$ .

عندما يتم إعتبار الإجراء ثابت درجة الحرارة لبخار في المقطع 2.1، لم يكن هنالك أسلوباً متاحاً لتقييم سريان الحرارة. يُمكن إدخال مخطط  $T - s$  من إيجاد سريان الحرارة، كما موضَّح في المثال التالي.



شكل (3.17) إجراء ثابت درجة الحرارة إنعكاسي لبخار على مخطط  $T - s$

مثال (3.4):

بخار جاف مشبع عند 100bar يتمدد بثبات درجة الحرارة وبنعكاسية إلي ضغط مقداره 10bar. أحسب الحرارة

المكتسبة والشغل المبذول لكل kg من البخار أثناء الإجراء .

يتم توضيح الإجراء في الشكل (3.18)، حيث المساحة المظللة تُمثل الحرارة المكتسبة.

الحل:

من الجداول عند 100bar، جاف مشبع،

$$s_1 = s_g = 5.615 \text{ kJ/kgK}, T_1 = 311^\circ\text{C}$$

عند 10bar و  $311^\circ\text{C}$  يكون البخار محمّصاً، بالتالي بالإستكمال،

$$s_2 = 7.124 + \left( \frac{311 - 300}{350 - 300} \right) (7.301 - 7.124)$$

$$\text{i.e. } s_2 = 7.124 + 0.039 = 7.163 \text{ kJ/kgK}$$

بالتالي نحصل على،

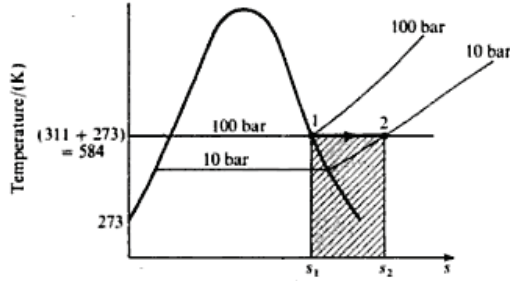
$$\text{المساحة المظللة} = \text{الحرارة المكتسبة} = T(s_2 - s_1)$$

$$= 584(7.163 - 5.615) = 584 \times 1.548$$



(حيث  $T = 311 + 273 = 584 \text{ K}$ )

i.e. الحرارة المكتسبة =  $584 \times 1.548 = 904 \text{ kJ/kg}$



شكل (3.18) إجراء على مخطط  $T - s$

لإيجاد الشغل المبذول من الضروري تطبيق معادلة الطاقة اللاسريان،

$$\text{i.e. } Q = (u_2 - u_1) + W \quad \text{أو} \quad W = Q - (u_2 - u_1)$$

من الجداول، عند 100bar، جاف مشبع،

$$u_1 = u_g = 2545 \text{ kJ/kg}$$

عند 10bar و  $311^\circ\text{C}$ ، بالإستكمال،

$$u_2 = 2794 + \left(\frac{311 - 300}{350 - 300}\right)(2875 - 2794)$$

$$\therefore u_2 = 2794 + 17.8 = 2811.8 \text{ kJ/kg}$$

بالتالي،

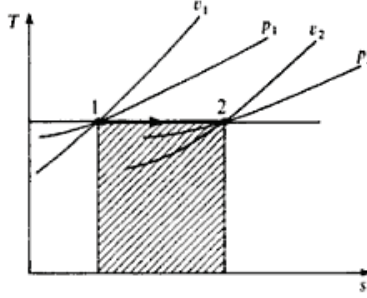
$$W = Q - (u_2 - u_1)$$

$$= 904 - (2811.8 - 2545)$$

$$= 904 - 266.8$$

$$\text{i.e. } W = 637.2 \text{ kJ/kg}$$

i.e. الشغل المبذول بواسطة البخار = 637.2 kJ/kg



شكل (3.19) إجراء ثابت درجة الحرارة إنعكاسي لغاز مثالي

يتم توضيح إجراء ثابت للحرارة إنعكاسي لغاز مثالي على مخطط  $T - s$  في الشكل (3.19). تُمثل المساحة المظللة الحرارة المكتسبة أثناء الإجراء،

$$Q = T(s_2 - s_1)$$

لغاز مثالي مؤدياً إجراءً ثابتاً درجة الحرارة من الممكن تقييم  $s_2 - s_1$  من معادلة اللاسريان (1.4)، لإجراء إنعكاسياً، نحصل على،

$$dQ = du + p dv$$

أيضاً لغاز مثالي من قانون جول، i.e.  $dQ = c_v dT + p dv$ ، لإجراء ثابت درجة الحرارة،  $dT = 0$ ، بالتالي،

$$dQ = p dv$$

بما أنَّ  $pv = RT$ ، نحصل على،

$$Q = RT \frac{dv}{v}$$

الآن من المعادلة (3.7)،

$$s_2 - s_1 = \int_1^2 \frac{dQ}{T} = \int_{v_1}^{v_2} \frac{RT}{Tv} dv = R \int_{v_1}^{v_2} \frac{dv}{v}$$

$$\text{i.e. } s_2 - s_1 = R \log_e \frac{v_2}{v_1} = R \log_e \frac{p_1}{p_2} \quad (3.12)$$

عليه تُعطي الحرارة المكتسبة بـ،

$$Q = T(s_2 - s_1) = RT \log_e \frac{v_2}{v_1} = RT \log_e \frac{p_1}{p_2}$$

لاحظ أنّ هذه النتيجة هي نفس التي تم إشتقاقها في المقطع 2.1،

$$\text{i.e. } Q = W = RT \log_e \frac{p_1}{p_2} = p_1 v_1 \log_e \frac{p_1}{p_2}, \text{ etc}$$

مثال (3.5):

0.03m<sup>3</sup> من نايتروجين (بكتلة جزيئية 28kg/kmol) محتوي في أسطوانة خلف كبّاس، يكون إبتدائياً عند 1.05bar و 15°C. يتم إنضغاط الغاز بثبات درجة الحرارة وبإنعكاسية حتى يكون مساوياً لـ 4.2bar. أحسب التغير في القصور الحراري، سريان الحرارة، والشغل المبذول، وأرسم الإجراء على مخطط p - v و T - s.

الحل:

إفترض أنّ النايتروجين يعمل كغازاً مثالياً.

يُوضح الإجراء على مخطط p - v و T - s في الأشكال 3.20(a) و 3.20(b) على الترتيب، تُمثل المساحات المظللة على الشكل 3.20(a) شغل الدخل، بينما تُمثل المساحة المظللة على الشكل 3.20(b) الحرارة المفقودة.

$$R = \frac{R_o}{M} = \frac{8314}{28} = 297 \text{ N.m / kgK}$$

بالتالي بما أنّ  $pv = m RT$ ، نحصل على،

$$m = \frac{pv}{RT} = \frac{1.05 \times 10^5 \times 0.03}{297 \times 288} = 0.03368 \text{ kg}$$

(حيث  $T = 15 + 273 = 288\text{K}$ .)

بالتالي من المعادلة (3.12)،  $\downarrow$  m kg

$$s_2 - s_1 = mR \log_e \frac{p_1}{p_2} = \frac{0.0368 \times 297}{10^3} \log_e \frac{1.05}{4.2}$$

$$\text{i.e. } s_2 - s_1 = -\frac{0.0368 \times 297}{10^3} \log_e \frac{4.2}{1.05} = \underline{-0.01516 \text{ kJ/K}}$$

∴ النقصان في القصور الحراري،

$$s_2 - s_1 = \underline{0.01516 \text{ kJ/K}}$$

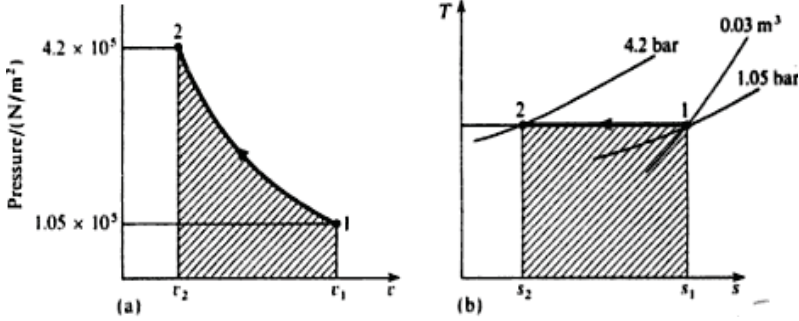
المساحة المظللة على الشكل (b) 3.20 = الحرارة المفقودة

$$= 288 \times 0.01516 = \underline{4.37 \text{ kJ}}$$

بالتالي لإجراء ثابت الحرارة لغاز مثالي، من المعادلة (2.12)،

$$W = Q = 4.37 \text{ kJ}$$

i.e. شغل الدخل = 4.37 kJ



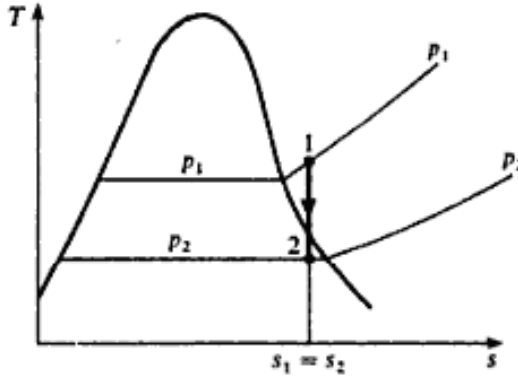
شكل (3.20) الإجراءات على مخطط  $p-v$  و  $T-s$

2. إجراء كاظم للحرارة إنعكاسي (أو إجراء ثابت القصور الحراري):

### (Reversible Adiabatic Process (or Isentropic Process))

لإجراء كاظم للحرارة إنعكاسي يبقي القصور الحراري ثابتاً، وبالتالي يُسمى ثابت القصور الحراري. لاحظ أنه لكي يكون الإجراء ثابت القصور الحراري فإنه لا يحتاج أن يكون كاظماً للحرارة أو إنعكاسياً، لكن سيبدو الإجراء دائماً كخط رأسي على مخطط  $T - s$ . الحالات التي لا يكون فيها الإجراء ثابت القصور الحراري كاظماً للحرارة أو إنعكاسياً تحدث قليلاً لذا سيتم تجاهلها طوال هذه المذكرات.

هنالك إجراء ثابتاً للقصور الحراري لبخار محمّص يتمدد في المنطقة الرطبة يُوضّح في الشكل (3.21). عندما تم إعتبار الإجراء الكاظم للحرارة إنعكاسي في المقطع 2.1، تم ذكر أنه ليس هناك أسلوباً متاحاً لتثبيت الحالات الطرفية. الآن باستخدام حقيقة أن القصور الحراري يبقي ثابتاً، فإنّ الحالات الطرفية يمكن إيجادها بسهولة من الجداول. هذه تُوضح في المثال التالي.



شكل (3.21) إجراء ثابت القصور الحراري على مخطط  $T - s$

مثال (3.6):

بخار عند 100bar و 375°C يتمدد بثبوت القصور الحراري في أسطوانة خلف كبّاس إلي ضغط مقداره 10bar. أحسب الشغل المبذول لكل kg من البخار.

الحل:

من جداول التحميص، عند 100bar و 375°C، نحصل على،

$$s_2 = s_1 = \underline{6.091} \text{ kJ/kgK}$$

عند 10bar و  $s_2 = 6.091$ ، فإنّ البخار يكون رطباً، بالتالي، تكون أقل من  $s_{g2}$ . من المعادلة (3.11)،

$$x_2 = \frac{s_2 - s_{f1}}{s_{fg2}} = \frac{6.091 - 2.138}{4.448} = \underline{0.889}$$

بالتالي،

$$u_2 = (1 - x_2)u_{f2} + x_2u_{g2} = (0.111 \times 762) + (0.88 \times 2584)$$

$$\text{i.e. } u_2 = 84.6 + 2297 = \underline{2381.6} \text{ kJ/kg}$$

عند ضغط 100bar، ودرجة حرارة 375°C، نحصل من الجداول،  $h_1 = 3017 \text{ kJ/kg}$

و  $v_1 = 3017 \text{ m}^3/\text{kg}$ . بالتالي باستخدام المعادلة (1.7)،

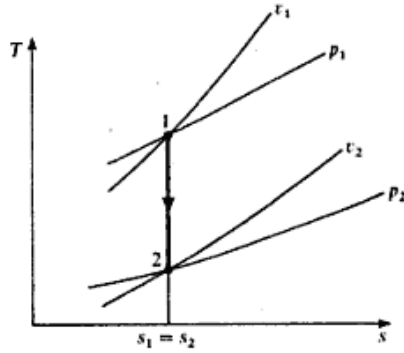
$$u_1 = h_1 - p_1 v_1 = 3017 - \frac{100 \times 10^5 \times 0.02453}{10^3} = 3017 - 245.3$$

$$\text{i.e. } u_1 = \underline{2771.7} \text{ kJ/kg}$$

لإجراء كاظم للحرارة من المعادلة (2.13)،

$$\text{i.e. } W = u_1 - u_2$$

$$\therefore \text{ الشغل المبذول بالبخار} = 2771.7 - 2381.6 = 390.1 \text{ kJ/kg}$$



شكل (3.22) إجراء ثابت القصور الحراري لغاز مثالي على مخطط  $T - s$

يتم توضيح إجراء ثابتاً للقصور الحراري على مخطط  $T - s$  في الشكل (3.22) أعلاه. لقد تم التوضيح في المقطع 2.2 أنه لإجراء كاظم للحرارة إنعكاسي لغاز مثالي، بالتالي فإنَّ الإجراء يتبع القانون  $p.v^\gamma = \text{const}$ . بما أنَّ الإجراء كاظم الحرارة الإنعكاسي يحدث عند قصور حراري ثابت، ويُسمى بالإجراء ثابت القصور الحراري، فإنَّ الأس  $\gamma$  يُعرف بالأس ثابت القصور الحراري للغاز.

### 3. إجراء متعَدِّد الإنتحاء: (Polytropic Process)

لإيجاد التغير في القصور الحراري في إجراء متعَدِّد الإنتحاء لبخار يتم تثبيته الحالات الطرفية باستخدام  $p_1 v_1^n = p_2 v_2^n$ ، بالتالي فإنَّ قيم القصور الحراري عند الحالات الطرفية يمكن قراءتها مباشرة من الجدول.

#### مثال (3.7):

في محرك بخار يكون البخار عند بداية إجراء التمدد عند 7bar، كسر جفاف 0.95، يتبع التمدد القانون  $p.v^{1.1} = \text{const}$ ، أسفل إلي ضغط مقداره 0.34bar. أحسب التغير في القصور الحراري لكل kg من البخار أثناء الإجراء.

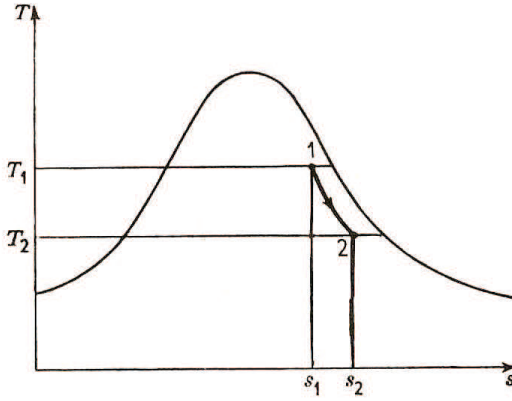
الحل:

(لاحظ أنَّ هذه البيانات هي بيانات المثال 2.6)

عند 7bar،  $v_g = 0.2728 \text{ m}^3/\text{kg}$ ، بالتالي،

$$v_1 = x_1 v_{g1} = 0.95 \times 0.2728 = \underline{0.26} \text{ m}^3/\text{kg}$$

بالتالي من المعادلة (2.25)،



شكل (3.23)

$$\frac{p_1}{p_2} = \left( \frac{v_2}{v_1} \right)^{1.1} \quad \text{أو} \quad \frac{v_2}{v_1} = \left( \frac{p_1}{p_2} \right)^{1/1.1}$$

$$\therefore v_2 = 0.26 \times \left( \frac{7}{0.34} \right)^{0.909} = 0.26 \times 20.59^{0.909} = \underline{4.06} \text{ m}^3/\text{kg}$$

عند 0.34bar، و  $v_2 = 4.06 \text{ m}^3/\text{kg}$ ، يكون البخار رطباً، بما أنَّ  $v_g = 4.649$

$$x_2 = \frac{v_2}{v_{g2}} = \frac{4.06}{0.649} = \underline{0.876}$$

بالتالي من المعادلة (3.10)،



$$s_1 = s_{f_1} + x_1 s_{f_{g_1}} = 1.992 + 0.95 \times 4.717 = \underline{6.472} \text{ kJ/kgK}$$

$$s_2 = s_{f_2} + x_2 s_{f_{g_2}} = 0.98 + 0.876 \times 6.745 = \underline{6.889} \text{ kJ/kg K}$$

$$\therefore \text{الزيادة في القصور الحراري} (s_2 - s_1) = 6.889 - 6.472 = \underline{0.417} \text{ kJ/kgK}$$

يكون الإجراء موضحاً على مخطط T - s في الشكل (3.23).

لقد تم توضيح في المقطع 2.3 أنَّ الإجراء متعدد الإنتحاء هو الحالة العامة لغاز مثالي، لإيجاد التغير في القصور الحراري لغاز مثالي في الحالة العامة، إعتبر معادلة طاقة اللاسريان لإجراء انعكاسي، في المعادلة (1.4)،

$$dQ = du + p dv$$

أيضاً لوحدة كتلة غاز مثالي من قانون جول  $du = c_v dT$ ، ومن المعادلة  $pv = RT$

$$\therefore dQ = c_v dT + \frac{RT dv}{v}$$

بالتالي من المعادلة (3.6)،

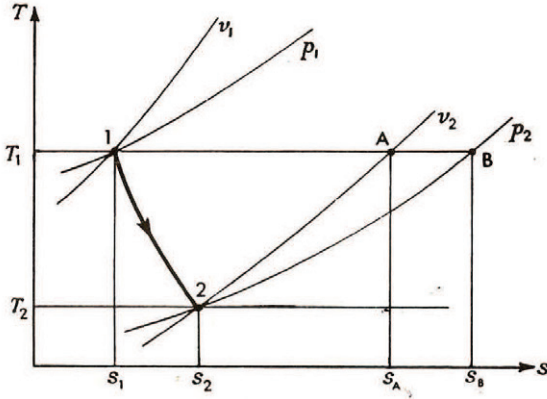
$$ds = \frac{dQ}{T} = \frac{c_v dT}{T} + \frac{R dv}{v}$$

بالتالي بين أي حالتين 1 و 2،

$$s_2 - s_1 = c_v \int_{T_1}^{T_2} \frac{dT}{T} + R \int_{v_1}^{v_2} \frac{dv}{v} = c_v \log_e \frac{T_2}{T_1} + R \log_e \frac{v_2}{v_1} \quad (3.13)$$

هذه يمكن توضيحها على مخطط T - s كما في شكل (3.24). بما أنَّه في الإجراء في شكل (3.24)،

بالتالي من الملائم أكثر كتابة،  $T_2 > T_1$



شكل (3.24) إجراء متعدّد الإنتحاء لغاز مثالي على مخطط  $T - s$

$$s_2 - s_1 = R \log_e \frac{v_2}{v_1} - c_v \log_e \frac{T_2}{T_1} \quad (3.14)$$

الجزء الأول من التعبير لـ  $s_2 - s_1$  في المعادلة (3.14) هو التغير في القصور الحراري في إجراء ثابت درجة الحرارة من  $T_1$  إلي  $T_2$ ،  
من المعادلة (3.12) ،

$$s_A - s_1 = R \log_e \frac{v_2}{v_1}$$

أيضاً الجزء الثاني من التعبير لـ  $s_2 - s_1$  في المعادلة (3.14) هو التغير في القصور الحراري في إجراء ثابت الحجم من  $T_1$  إلى  $T_2$  .  
i.e. بالرجوع للشكل (3.24) ،

$$s_A - s_2 = c_v \log_e \frac{T_1}{T_2}$$

عليه يمكن الملاحظة أنّه بحساب التغير في القصور الحراري في إجراء متعدّد الإنتحاء من الحالة 1 إلي الحالة 2 نكون قد إستبدلنا الإجراء بإجرائين أبسط؛ من 1 إلي A ومن A إلي 2.  
من الواضح من الشكل (3.24) أنّ،

$$s_2 - s_1 = (s_A - s_1) - (s_A - s_2)$$

يمكن إختيار أي إجرائين لإحلال إجراء أ متعدد الإنتحاء لإيجاد التغير في القصور الحراري.

كمثال من I إلي B ومن بعد من B إلي 2 كما في الشكل (3.24) نحصل على،

$$s_B - s_1 = (s_B - s_1) - (s_B - s_2)$$

عند درجة حرارة ثابتة بين  $p_1$  و  $p_2$ ، مستخدماً المعادلة (3.12)،

$$s_A - s_1 = R \log_e \frac{p_1}{p_2}$$

عند ضغط ثابت بين  $T_1$  و  $T_2$  نحصل على،

$$s_B - s_2 = c_p \log_e \frac{T_1}{T_2}$$

بالتالي،

$$s_2 - s_1 = R \log_e \frac{p_1}{p_2} - c_p \log_e \frac{T_1}{T_2}$$

$$\text{أو } s_2 - s_1 = c_p \log_e \frac{T_2}{T_1} + R \log_e \frac{p_1}{p_2} \quad (3.15)$$

يمكن اشتقاق المعادلة (3.15) بسهولة من المعادلة (3.13). من الواضح أنَّ هنالك عدد كبير من المعادلات

الممكنة للتغير في القصور الحراري في إجراء متعدّد الإنتحاء، ويتم التأكيد على أنه لا يجب عمل أي محاولة

لتذكر مثل هذه التعبيرات. يمكن التعامل مع كل مسألة برسم مخطط  $T - s$  وإستبدال الإجراء بإجرائين آخرين

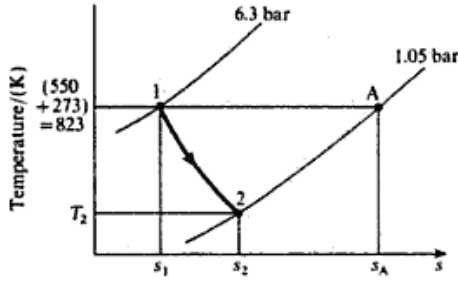
إنعكاسيين أبسط، كما في الشكل (3.24).

### مثال (3.8):

أحسب التغير في القصور الحراري لـ 1 kg من هواء يتمدّد بإنتحاء في أسطوانة خلف كبّاس من 6.3 bar،

550°C إلي 1.05 bar. يكون أس التمدّد مساوياً لـ 1.3.

الحل:



شكل (2.25) الإجراء على مخطط T - s

يتم توضيح الإجراء على مخطط T - s في الشكل (3.25). من المعادلة (2.29)،

$$\frac{T_1}{T_2} = \left( \frac{p_1}{p_2} \right)^{(n-1)/n} = \left( \frac{6.3}{1.05} \right)^{(1.3-1)/1.3} = 6^{0.231} = 1.512$$

$$\therefore T_2 = \frac{823}{1.512} = 544 \text{ K}$$

(حيث  $T_1 = 550 + 273 = 823 \text{ K}$ .)

الآن إستبدل الإجراء 1 إلي 2 بإجرائين، 1 إلي A و A إلي 2. بالتالي عند درجة حرارة ثابتة من 1 إلي A، من

المعادلة (3.12)،

$$s_B - s_1 = R \log_e \frac{p_1}{p_2} = 0.287 \log_e \frac{6.3}{1.05}$$

$$= 0.287 \times 1.792 = 0.515 \text{ kJ/kgK}$$

عند ضغط ثابت من A إلي 2،

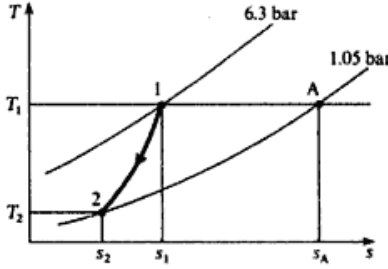
$$s_A - s_1 = c_p \log_e \frac{T_1}{T_2} = 1.005 \log_e \frac{823}{544}$$

$$= 1.005 \times 0.413 = 0.415 \text{ kJ/kgK}$$

بالتالي،  $s_2 - s_1 = 0.515 - 0.415 = 0.1 \text{ kJ/kgK}$

i.e. الزيادة في القصور الحراري =  $0.1 \text{ kJ/kgK}$

لاحظ في هذه المسألة أنه إذا حدث أن أصبحت قيمة  $s_A - s_2$  أكبر من  $s_A - s_1$  ، هذا يعني أن  $s_1$  تكون أكبر من  $s_2$  ، ويجب أن يبدو الإجراء كما في الشكل (3.26) أدناه.



شكل (3.26) مخطط  $T - s$  بديل

مثال (3.9):

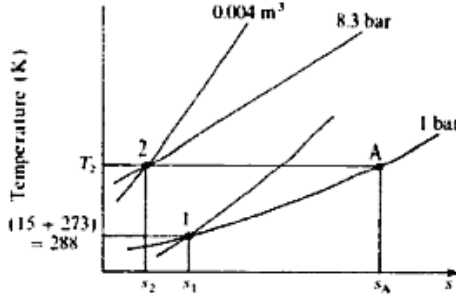
كتلة مقدارها  $0.05 \text{ kg}$  من ثاني أكسيد الكربون (بكتلة جزيئية  $44 \text{ kg/kmol}$ ) يتم إنضغاطه من  $1 \text{ bar}$ ،  $15^\circ \text{C}$ ، حتى يكون الضغط مساوياً لـ  $8.3 \text{ bar}$ ، ويكون عند الحجم  $0.004 \text{ m}^3$ . أحسب التغير في القصور الحراري. خذ  $c_p$  لثاني أكسيد الكربون كـ  $0.88 \text{ kJ/kgK}$ ، وأفترض أن ثاني أكسيد الكربون يكون غازاً مثالياً.

الحل:

يتم توضيح الحالتين الطرفيتين على مخطط  $T-s$  في الشكل (3.27). لم يتم تحديد الإجراء في المثال وليس هنالك معلومات ضرورية حوله. يتم تثبيت الحالات 1 و 2 وبالتالي فإن  $s_1 - s_2$  تكون مثبتة. يمكن أن يكون الإجراء بين 1 و 2 انعكاسياً أو لا انعكاسياً؛ يكون التغير في القصور الحراري هو نفسه بين الحالات الطرفية المعطاة.

بالرجوع للشكل (3.27)، لإيجاد  $s_1 - s_2$ ، يمكن أولاً إيجاد  $s_A - s_2$  ومن بعد طرح  $s_A - s_1$  منها.

أولاً وقبل كل شيء من الضروري إيجاد  $R$  ومن ثم  $T_2$ .



شكل (3.27) مخطط T - s

من المعادلة،

$$R = \frac{R_o}{M} = \frac{8314}{44} = 189 \text{ N.m/kgK}$$

من المعادلة،  $pv = m R T$ ، عليه،

$$T_2 = \frac{p_2 V_2}{Rm} = \frac{8.3 \times 10^5 \times 0.004}{0.05 \times 189} = 315 \text{ K}$$

بالتالي من المعادلة (3.12)،

$$s_A - s_2 = R \log_e \frac{p_2}{p_A} = 0.189 \log_e \frac{8.3}{1} = 0.4 \text{ kJ/kgK}$$

أيضاً عند ضغط ثابت من 1 إلي A

$$s_A - s_1 = c_p \log_e \frac{T_2}{T_1} = 0.88 \log_e \frac{315}{288} = 0.174 \text{ kJ/kgK}$$

(حيث  $T_1 = 15 + 273 = 288 \text{ K}$ )

بالتالي،

$$s_1 - s_2 = 0.4 - 0.174 = 0.226 \text{ kJ/kgK}$$

بالتالي لـ 0.05kg من ثاني أكسيد الكربون،

$$\text{النقصان في القصور الحراري} = 0.05 \times 0.226 = 0.0113 \text{ kJ/K}$$

### 3.5 القصور الحراري واللانعكاسية: (Entropy and Irreversibility)

لقد تمت الإشارة في المقطع السابق إلي أنه، بما أن القصور الحراري هو خاصية، فإن التغيير في القصور الحراري يعتمد فقط على الحالات الطرفية وليس على الإجراء بين الحالات الطرفية. عليه فإن إجراء لا إنعكاسياً معطي معطي معلومات كافية لتثبيت الحالات الطرفية بالتالي يمكن إيجاد التغيير في القصور الحراري. هذه يمكن توضيحها بصورة أفضل ببعض الأمثلة.

مثال (3.10):

بخار عند 7bar، كسر جفاف 0.96، يتم خنقه أسفل إلي 3.5bar. أحسب التغيير في القصور الحراري لكل kg من البخار.

الحل:

عند 7bar، كسر جفاف 0.96، مستخدماً المعادلة (3.10) نحصل على،

$$s_1 = s_{f_1} + x_1 s_{fg_1} = 1.992 + 0.96 \times 4.717$$

$$\text{i.e. } s_1 = \underline{6.522} \text{ kJ / kgK}$$

في المقطع 2.4، لقد تم التوضيح أنه لإجراء الخنق،  $h_2 = h_1$ .

من المعادلة،

$$h_2 = h_1 = x_1 h_{fg_1} = 697 + 0.96 \times 2067 = \underline{2682} \text{ kJ / kg}$$

عند 3.5bar و  $h_2 = 2682 \text{ kJ/kg}$  يكون البخار لا يزال رطباً، بما أن  $h_2 > h_{g_2}$  من المعادلة،

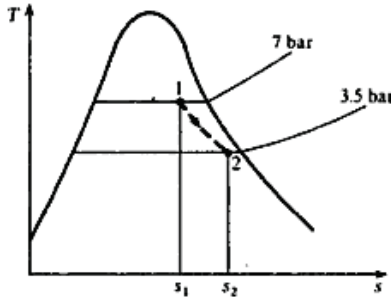
$$h_2 = h_1 = x_1 h_{fg_1} \text{، عليه،}$$

$$x_2 = \frac{h_2 - h_{f_2}}{h_{fg_2}} = \frac{2682 - 584}{2148} = \underline{0.977}$$

بالتالي،

$$\text{الزيادة في القصور الحراري} = 6.817 - 6.522 = \underline{0.295} \text{ kJ / kgK}$$

يتم توضيح ذلك على مخطط  $T - s$  في الشكل (3.28). لاحظ أن الإجراء يُوضَّح منقطعاً، ولا تمثل المساحة تحت الخط سريان الحرارة؛ يفترض إجراء الخنق أنه ليس هنالك سريان حرارة، بل يكون هنالك تغيراً في القصور الحراري لأن الإجراء يكون إنعكاسياً.



شكل (3.28) إجراء الخنق على مخطط  $T - s$

مثال (3.11):

وعاءان بحجم متساوي يتم توصيلهما بماسورة قصيرة الطول تحتوي على صمام؛ كلا الوعائين يكونان معزولان حرارياً. أحد الوعائين يحتوي على هواء والآخر يكون مفرغاً تماماً. أحسب التغير في القصور الحراري لكل kg من الهواء في النظام عندما يسمح الصمام للهواء بملء الوعائين.

الحل:

بداية يكون الوعاء A حاوياً لهواء ويكون الوعاء B مفرغاً تماماً، كما في الشكل (3.29)؛ أخيراً يحتل الهواء الوعائين A و B. في المقطع 2.4 لقد تم توضيح أنه في تمدد غير مقاوم (Unresisted expansion) لغاز مثالي، تكون درجات الحرارة الابتدائية والنهائية متساوية. في هذه الحالة يكون الحجم الابتدائي  $V_A$  والحجم النهائي  $V_A + V_B = 2V_A$ . يمكن توضيح الحالات الطرفية على مخطط  $T - s$  كما موضح في الشكل (3.30) يكون الإجراء 1 إلي 2 لا إنعكاسياً ويجب رسمه منقطعاً. يكون التغير في القصور الحراري هو  $s_2 - s_1$ ,



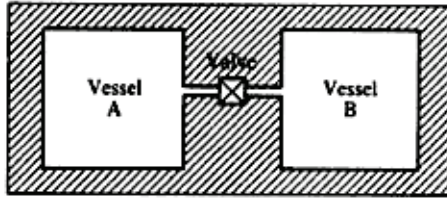
بدون النظر لممر الإجراء بين 1 و 2 وبالتالي، لحساب التغير في القصور الحراري، تخيل أن الإجراء يتم إستبداله

بإجراء ثابتاً لدرجة الحرارة إنعكاسياً بين الحالات 1 و 2. بالتالي من المعادلة (3.12)،

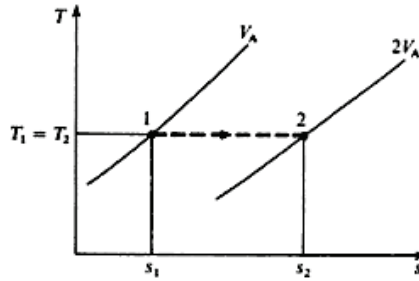
$$(s_2 - s_1) = R \log_e \frac{v_2}{v_1} = 0.287 \log_e \frac{2v_A}{v_A}$$

$$= 0.287 \log_e 2 = 0.119 \text{ kJ / kgK}$$

i.e.  $0.119 \text{ kJ / kgK}$  = الزيادة في القصور الحراري



شكل (3.29) وعاءان موصلان بينياً ومعزولان جيّداً



شكل (3.30) الإجراء على مخطّط T - s

لاحظ أن الإجراء يتم رسمه منقطاً في الشكل (3.30)، وتكون الساحة تحت الخط ليست ذات أهمية؛ يكون

الإجراء كاظماً للحرارة ويكون هنالك تغيّراً في القصور الحراري بما أن الإجراء يكون لا إنعكاسياً.

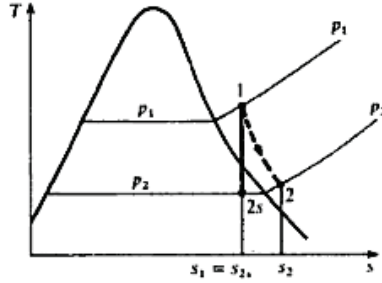
من المهم التذكر بأن المعادلة (3.6)،  $ds=dQ/T$ ، تكون صحيحة فقط لإجراءات لانعكاسية. بنفس الطريقة فإن المعادلة  $dW=pdv$  أو  $dv=dW/p$ ، تكون صحيحة فقط لإجراءات انعكاسية. في المثال (3.11) يزداد حجم الهواء من  $V_A$  إلى  $2V_A$ ، و لا يكون هنالك شغلاً مبذولاً بالهواء خلال الإجراء،

$$\text{i.e. } dW = 0 \text{ و } v_2 - v_1 = 2V_A - V_A = V_A$$

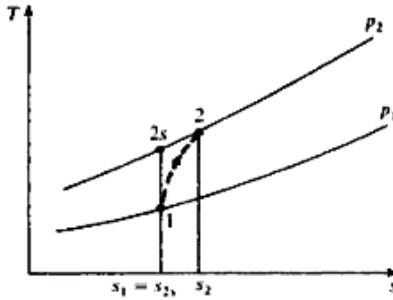
بالتالي في الإجراء اللانعكاسي للمثال (3.11)  $dv \neq dW/p$ . نفس الشيء، فإن المحتوى الحراري في المثال (3.11) يزداد بـ  $0.199 \text{ kJ/kgK}$  ويكون سريان الحرارة صفراً، i.e.  $ds \neq dQ/T$ . لا يجب أن يكون هنالك إلتباساً إذا تم رسم مخطط  $T - s$  أو  $p - v$  لكل مسألة وتحديد نقاط الحالة في مواضعها الصحيحة. بالتالي، عندما يكون هنالك إجراء انعكاسياً بين حالتين، يمكن رسم الخطوط التي تمثل الإجراء بخطوط متصلة، وتمثل الحرارة تحت خط سريان الحرارة على مخطط  $T - s$  والشغل المبذول على مخطط  $p - v$ .

عندما يكون الإجراء بين الحالتين لا انعكاسياً، يجب رسم الخط منقطعاً، ولا تكون للمساحة تحت الخط أي أهمية على أي من المخططات.

يمكن التوضيح من القانون الثاني أن القصور الحراري لنظام معزول حرارياً يجب إما أن يزيد أو يبقى كما هو، كمثال، فإن إجراءً كائناً للحرارة سوف يكون معزولاً من بيئته المحيطة، بما أنه لا يوجد سريان للحرارة إلي أو من النظام. لقد لاحظنا أنه في إجراء كائناً للحرارة انعكاسي فإن القصور الحراري يبقى كما هو. في إجراء كائناً للحرارة لا انعكاسي يجب أن يزيد القصور الحراري دائماً، ويكون الكسب في القصور الحراري هو قياساً للانعكاسية الإجراء. توضح الإجراءات في الأمثلة (3.10) و (3.11) هذه الحقيقة. كمثال آخر، إعتبر تمديداً كائناً للحرارة لا انعكاسياً في توربينة بخار كما موضح في الشكل (3.31). بالإجراء 1 إلي 2' كما في الشكل (3.31) الزيادة في القصور الحراري،  $s_2 - s_1 = s_2' - s_1$  هي قياساً للانعكاسية الإجراء. نفس الشيء فإن الشكل (3.32)، يوضح إنضغاطاً كائناً للحرارة لا انعكاسياً في ضاغط دوار بالإجراء 1 إلي 2'. يتم تمثيل إجراءً كائناً للحرارة انعكاسياً بين نفس الضغوط بالإجراء 1 إلي 2. كما من قبل. توضح الزيادة في القصور الحراري لا انعكاسية الإجراء.



شكل (3.31) إجراء أديباتي لا إنعكاسي لبخار على مخطط  $T - s$



شكل (3.32) إنضغاط أديباتي لا إنعكاسي لغاز مثالي على مخطط  $T - s$

مثال (3.12):

في توربينة هواء يتمدد الهواء من 6.8bar و 430°C إلى 1.013bar و 150°C. يمكن افتراض أن الفقد الحراري من التوربينة يكون متغيراً بحيث يتم تجاهله. وضح أن الأجراء يكون لا إنعكاسياً، وأحسب التغير في القصور الحراري لكل kg من الهواء.

الحل:

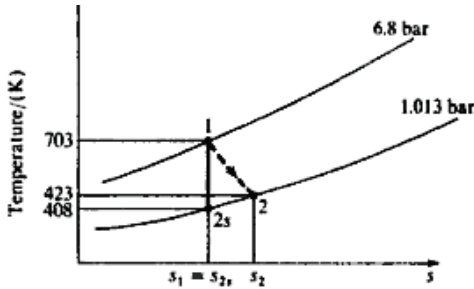
بما أنه تم تجاهل الفقد الحراري، فإن الأجراء يكون كاظماً للحرارة. لإجراء كاظم للحرارة إنعكاسي لغاز مثالي، باستخدام المعادلة (2.21)،

$$\frac{T_1}{T_2} = \left( \frac{p_1}{p_2} \right)^{(7-1)/7}$$

$$\text{i.e. } \frac{703}{T_2} = \left( \frac{6.8}{1.013} \right)^{(1.4-1)/1.4}$$

(حيث  $T_1 = 430 + 273 = 703\text{K}$ )

$$\text{i.e. } T_2 = \frac{703}{6.71^{0.286}} = \frac{703}{1.724} = 408\text{K} = 408 - 273 = \underline{135^\circ\text{C}}$$



شكل (3.33) مخطط  $T - s$

لكن درجة الحرارة الفعلية تكون مساوية لـ  $150^\circ\text{C}$  عند الضغط  $1.013\text{bar}$ ، بالتالي يكون الإجراء لا إنعكاسياً. يُوضَّح الإجراء بـ 1 إلي 2' في الشكل (3.33)؛ يتم أيضاً توضيح الإجراء ثابت القصور الحراري بـ 1 إلي 2. من غير الممكن أن يكون الإجراء 1 إلي 2' إنعكاسياً، لأنه في تلك الحالة ستمثل المساحة تحت الخط 1 - 2' سريان الحرارة ويكون كاضماً للحرارة.

يمكن إيجاد التغير في القصور الحراري،  $s_2 - s_1$  بإعتبار إجراءً ثابتاً للضغط إنعكاسياً بين 2 و 2'. بالتالي من المعادلة (3.6)  $ds = dQ/T$  وعند ضغط ثابت لـ  $1\text{kg}$  من غاز مثالي نحصل على  $dQ = c_p dT$ ،  
وعليه،

$$s_2 - s_1 = \int_2^{2'} \frac{c_p dT}{T} + R \int_{v_1}^{v_2} \frac{dv}{v} = c_p \log_e \frac{T_2}{T_1}$$

$$= 1.005 \log_e \frac{423}{408} = \underline{0.0355} \text{ kJ / kgK}$$

i.e. = الزيادة في القصور الحراري =  $s'_2 - s_1 = \underline{0.0355} \text{ kJ / kgK}$

الآن إعتبر حالة عندما يكون هنالك نظاماً غير معزول حرارياً من بيئته المحيطة. يمكن للقصور الحراري لمثل هذا النظام أن يزيد، ينقص أو يبقى كما هو، اعتماداً على الحرارة العابرة للحد. على أي حال، إذا إستطال الحد ليشمل مصدر أو غاطس الحرارة الذي يكون معه النظام في حالة إتصال، بالتالي فإنَّ القصور الحراري لهذا النظام الجديد إما أن يزيد أو يظل على حالته. لتوضيح هذا إعتبر مستودعاً ساخنأ عند  $T_1$  ومستودعاً بارداً عند  $T_2$ ، وإفترض أنَّ المستودعان معزولان حرارياً من البيئة المحيطة كما في الشكل (3.34). إجعل  $Q$  تكون سريان الحرارة من المستودع الساخن إلي البارد. يكون هنالك إنحداراً مستمراً لدرجة الحرارة من  $T_1$  إلي  $T_2$  بين النقطتين  $A$  و  $B$ ، ويمكن إفتراض أنَّ الحرارة تنتقل بإنعكاسية من المستودع الساخن إلي النقطة  $A$ ، ومن النقطة  $B$  إلي المستودع البارد. سيتم إفتراض أن درجة الحرارة لكل مستودع تبقى ثابتة. بالتالي نحصل على،

$$+Q = \text{الحرارة المكتسبة للمستودع الساخن}$$

بالتالي من المعادلة (3.7)،

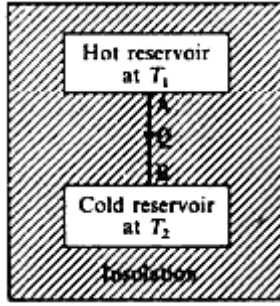
$$= + \frac{Q}{T_2} \text{ الزيادة في القصور الحراري للمستودع البارد}$$

أيضاً،

$$- Q = \text{الحرارة المكتسبة للمستودع الساخن}$$

$$= - \frac{Q}{T_1} \text{ الزيادة في القصور الحراري للمستودع البارد} \therefore$$

i.e. ، صافي الزيادة في القصور الحراري  $\Delta s = \left( \frac{Q}{T_2} - \frac{Q}{T_1} \right)$



شكل (3.34) وعاءان معزولان حرارياً وموصلان بينياً

بما أن  $T_1 > T_2$ ، يُلاحظ أن  $\Delta s$  تكون موجبة، وبالتالي يجب أن يزيد القصور الحراري للنظام. في الحد عندما يكون الفرق في درجة الحرارة صغيراً جداً، بالتالي  $\Delta s = 0$ . هذا يؤكد مبدأ أن القصور الحراري لنظام معزول يجب إما أن يزيد أو يبقى كما هو.

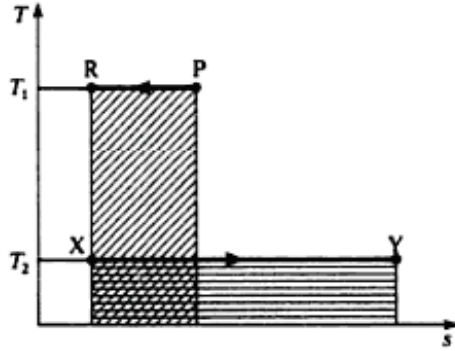
أحد أحكام اللانعكاسية يقول:

يجب أن يكون فرق درجة الحرارة بين النظام وبيئته المحيطة صغيراً جداً أثناء الإجراء الإنعكاسي.

في المثال عاليه، عندما  $T_1 > T_2$ ، فإن سريان الحرارة بين العوائين يكون لا انعكاسياً طبقاً للحكم أعلاه. هكذا يزيد القصور الحراري للنظام عندما يكون إجراء سريان الحرارة لا انعكاسياً بينما يبقى كما هو عليه عندما يكون الإجراء انعكاسياً. الزيادة في القصور الحراري هو مقياس اللانعكاسية. يمكن رسم الإجراءات في المثال السابق على مخطط  $T - s$  كما موضَّح في الشكل (3.35). لقد تم تراكب الإجراءات على نفس المخطط. يُمثل الإجراء  $P - R$  إنتقال وحدات  $Q$  للحرارة من المستودع الساخن، وتكون المساحة تحت  $P - R$  مساوية لـ  $Q$ . ويُمثل الإجراء  $X - Y$  إنتقال وحدات  $Q$  للحرارة إلي المستودع البارد، وتكون المساحة تحت  $X - Y$  مساوية لـ  $Q$ . تكون المساحة تحت  $P - R$  مساوية للمساحة تحت  $X - Y$ ، بالتالي يمكن الملاحظة من المخطط أن القصور الحراري للوعاء البارد يجب دائماً أن يزيد بصورة أكبر من النقصان في المحتوي الحراري للمستودع الساخن. عليه فإن يكون القصور الحراري المتحد يجب أن يزيد. لاحظ، بما أنه في المثال السابق يكون كل من

الإجراءان  $P - R$  و  $X - Y$  هما إنعكاسيان، بالتالي تحدث اللانعكاسية بين  $A$  و  $B$ . متى ما تمَّ إنتقال للحرارة خلال فرق درجة حرارة كبير، فإنَّ الإجراء يكون لا إنعكاسياً وتكون هنالك زيادة في القصور الحراري للنظام وبيئته المحيطة.

في حالات معينة (إجراءات معينة) يمكن أن تحدث اللانعكاسية في البيئة المحيطة، بالتالي فإنَّ الإجراء يكون إنعكاسياً داخلياً، وتكون المساحات على مخططات  $p - v$  و  $T - s$  قريبة جداً من الشغل المبذول وسريان الحرارة على الترتيب.



شكل (3.35) الإجراءات للوعاء الساخن والبارد على مخطَّط  $T - s$

في معظم المسائل عندما يتم افتراض إجراء إنعكاسياً يكون المفهوم الضمني هو الإنعكاسية الداخلية. عكس ذلك، فإنَّ معظم الإجراءات العملية التي يُقال أنَّها لا إنعكاسية، هي لا إنعكاسية داخلية نتيجة لتدويم مائع التشغيل كما في المثال (3.12).

بالرجوع للشكل (3.34)، إذا تمَّ وضع محرك حرارة بيناً بين المستودعين الساخن والبارد، فإنَّه يمكن توليد بعض الشغل. يذكر القانون الثاني أنَّ الحرارة لا يمكن أن تسري بدون مساعدة من مستودع بارد إلي مستودع ساخن، عليه لتوليد شغل من كمية الطاقة  $Q$ ، بعد أن يتم إنتقالها إلي المستودع البارد، سيكون من الضروري وجود مستودع ثالث عند درجة حرارة أدنى من المستودع البارد. من الواضح أنَّه عندما يتم إنتقال حرارة خلال

فرق درجة حرارة كبير، فإن فائدتها تصبح أقل، وفي الحد عندما يتم إنتقال الحرارة لمستودع درجة الحرارة الأدنى الموجود بالتالي لا يمكن توليد أي شغل إضافي. عليه فإنّ اللانعكاسية لديها تأثير سيئ على الطاقة المتاحة، ويمكن إعتبار القصور الحراري ليس كقياس فقط للانعكاسية بل أيضاً لإتحلال الطاقة. لاحظ أنّه، بمبدأ بقاء الطاقة، فإنّ الطاقة لا يمكن تحطيمها؛ بالقانون الثاني للديناميكا الحرارية، يمكن فقط للطاقة أن تصبح أقل فائدة. تميل النظم طبيعياً لحالات ذات رتبة طاقة أدنى؛ عليه فإنّ أي نظام يتحرك لحالة ذات رتبة أعلى بدون إمداد خارجي للطاقة سيخرق القانون الثاني.

يمكن الملاحظة أن القانون الثاني يشتمل على إتجاه أو ميل للإستفادة من الطاقة. يكون الشغل أكثر فائدة من الحرارة؛ كلما زادت درجة الحرارة لمستودع الطاقة، كلما يكون مقدار الطاقة المتاح أكثر فائدة. بتطبيق الخاتمة الأخيرة لمحرك حرارة يمكن إستنتاج أنّه، لمستودع بارد معطي (e.g. الجو)، كلما تكون درجة حرارة المستودع الساخن عالية، ستكون الكفاءة الحرارية للمحرك عالية.

### 3.6 الإتاحة: (Availability)

المقدار الأقصى النظري للشغل الذي يمكن الحصول عليه من نظام عند حالة  $T_1$  و  $p_1$  عندما يعمل مع مستودع عند درجة حرارة وضغط ثابتين  $T_0$  و  $p_0$  يُسمى بالإتاحة.

### a/ نظم اللاسريان: (Non – Flow Systems)

إعتبر نظاماً مكوناً من مائع في أسطوانة خلف كباس، حيث يتمدد المائع إنعكاسياً من الشروط الأولية  $T_1$  و  $p_1$  إلي الشروط الجوية النهائية  $T_0$  و  $p_0$ . تخيل أيضاً أنّ النظام يعمل بالإقتران مع محرك حراري إنعكاسي يستقبل الحرارة بإنعكاسية من المائع في الأسطوانة بحيث أنّ مادة التشغيل لمحرك الحرارة يتبع الدورة OIAO كما موضّح في الأشكال 3.36(a) و 3.36(b)، حيث  $T_0 = T_A$  و  $s_1 = s_A$ . يُعطي الشغل المبذول بهذا المحرك

ب:

$$W_{\text{Engine}} = \text{الحرارة المفقودة} - \text{الحرارة المكتسبة}$$



$$= Q - T_o(s_1 - s_o)$$

تكون الحرارة المكتسبة إلى المحرك مساوية للحرارة المفقودة بالمانع الذي يؤدي الإجراء 1 إلى صفر، بالتالي  
نحصل على،

$$-Q = (u_o - u_1) + W_{\text{Fluid}}$$

$$\text{i.e. } W_{\text{Fluid}} = Q(u_1 - u_o) - Q$$

عليه بجمع المعادلتين،

$$W_{\text{Fluid}} + W_{\text{Engine}} = (u_1 - u_o) - T_o(s_1 - s_o)$$

يكون الشغل المبذول بالمانع على الكبّاس أقلّ من الشغل المبذول الكلي بالمانع، بما أنّ هنالك شغلاً مبذولاً  
على الجو عند الضغط  $p_o$ ،

$$\text{i.e. } \text{الشغل المبذول على الجو} = p_o(v_o - v_1)$$

بالتالي،

$$\text{الشغل المتاح الأقصى} = (u_1 - u_o) - T_o(s_1 - s_o) - p_o(v_o - v_1)$$

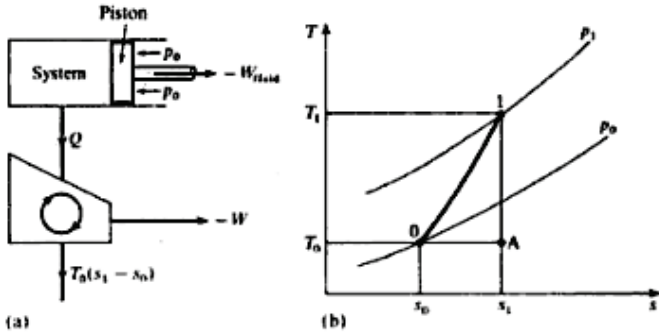
(ملحوظة: عندما يؤدي مانعاً دورة كاملة فإنّ صافي الشغل المبذول على الجو يكون صفراً).

$$W_{\text{max}} = (u_1 + p_o v_1 - T_o s_1) - (u_o + p_o v_o - T_o s_o)$$

$$\therefore W_{\text{max}} = a_1 - a_o$$

تُسمى الخاصة  $a = u - p_o v - T_o s$  بالدالة المتاحة للاسريان.

(non – flow availability function)



شكل (3.36) توضيح الطاقة المتاحة لنظام

### b/ نظم السريان المستقر: (Steady Flow Systems)

إجعل مائعاً يسرى بسرعة  $C_1$  من مستودع يكون فيه الضغط ودرجة الحرارة ثابتين عند  $T_1$  و  $p_1$  خلال جهاز لضغط جوي مقداره  $p_0$ . إجعل المستودع يكون عند إرتفاع  $z_1$  من خط المرجعية، الذي يمكن أخذه عند مخرج الجهاز،  $z_0 = 0$  i.e. للحصول على أقصى شغل من الجهاز فإن سرعة المخرج  $C_0$ ، يجب أن تكون صفراً. يمكن التوضيح كما في الشكل 3.36(a) عاليه أن محركاً حرارياً إنعكاسياً يشتغل بين الحدود سيرفرض مقداراً من الحرارة يعادل  $T_0 (s_1 - s_0)$  وحدة، حيث  $T_0$  هي درجة الحرارة الجوية. عليه نحصل على،

$$W_{\max} = (h_1 - C_1^2 / 2 + z_1 g) - h_0 - T_0 (s_1 - s_0)$$

في نظم عديدة لديناميكا الحرارية يتم تجاهل عناصر طاقة الحركة والوضع.

$$W_{\max} = (h_1 - T_0 s_1) - (h_0 - T_0 s_0) = b_1 - b_0$$

تُسمى الخاصية  $b = h - T_0 s$  بالدالة المتاحة للسريان المستقر

(steady flow availability function)

### c/ الفاعلية: (Effectiveness)

بدلاً من مقارنة إجراء بإجراء مثالي تخيلي، كما يُعمل في حالة الكفاءة ثابتة القصور الحراري كمثال، من القياس الأفضل للفائدة من الإجراء هو مقارنة الخرج المستفاد من الإجراء بفقد الإتاحة لنظام. يُعطي الخرج المستفاد من نظام بزيادة الإتاحة للبيئة المحيطة.

$$\epsilon = \frac{\text{زيادة الإتاحة للبيئة المحيطة}}{\text{فقد الإتاحة للنظام}} = \epsilon, \text{ الفاعلية.}$$

لإجراء إنضغاط أو تسخين تُصبح الفاعلية،

$$\epsilon = \frac{\text{زيادة الإتاحة للنظام}}{\text{فقد الإتاحة للبيئة المحيطة}}$$

مثال (3.13):

بخار يتمدد بإجراء كاظم الحرارة في توربينة من 20bar و 400°C، إلي 4bar و 250°C. أحسب: a/ كفاءة ثابت القصور الحراري للإجراء؛

b/ فقد الإتاحة للنظام بافتراض درجة حرارية جوية مقدارها 15°C؛

c/ فاعلية الإجراء.

تجاهل التغييرات في طاقة الحركة والوضع.

الحل:

a/ بداية يكون البخار محمّصاً عند 20 bar و 400°C بالتالي من الجداول،

$$s_1 = 7.126 \text{ kJ/kgK} \text{ و } h_1 = 3248 \text{ kJ/kg}$$

أخيراً يكون البخار محمّصاً عند 4bar و 250°C، بالتالي من الجدول،

$$s'_2 = 7.379 \text{ kJ/kgK} \text{ و } h'_2 = 2965 \text{ kJ/kg}$$

يُوضح الإجراء ك 1 إلي 2' كما في الشكل (3.37)،

$$s_1 = s_2 = 7.126 \text{ kJ / kgK}$$

بالتالي بالإستكمال،

$$h_2 = 2753 + \left( \frac{7.126 - 6.929}{7.172 - 6.929} \right) (2862 - 2753) = 1841.4 \text{ kJ / kg}$$

$$\text{كفاءة ثابت القصور الحراري} = \frac{\text{شغل الخرج الفعلي}}{\text{شغل ثابت القصور الحراري}}$$

$$\frac{h_1 - h'_2}{h_1 - h_2} = \frac{3248 - 2965}{3248 - 2841.4} = \frac{283}{406.6} = 69.6\%$$

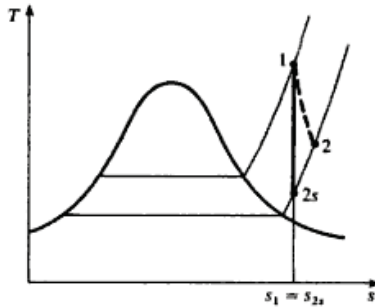
/b فقد الإتاحتية،

$$\begin{aligned} &= b_1 - b'_2 = h_1 - h_{2'} + T_o (s_{2'} - s_1) \\ &= 283 + 288(7.379 - 7.126) = 355.9 \text{ kJ / kg} \end{aligned}$$

/c الفاعلية،  $\epsilon$

$$\epsilon = \frac{W}{b_1 - b_{2'}} = \frac{h_1 - h_{2'}}{b_1 - b_{2'}}$$

$$\text{i.e. } \epsilon = \frac{283}{355.9} = 79.6\%$$



شكل (3.37) مخطط T - s

مثال (3.14):

هواء عند  $15^{\circ}\text{C}$  يتم تسخينه إلي  $40^{\circ}\text{C}$  بخلطه في سريان مستقر مع كمية من هواء عند  $90^{\circ}\text{C}$ . مفترضاً أن إجراء الخلط يكون كائناً للحرارة ومتجاهلاً للتغيرات في طاقة الحركة والوضع، أحسب نسبة سريان الكتلة لهواء يكون بداية عند  $90^{\circ}\text{C}$  إلي تلك التي تكون بداية عند  $15^{\circ}\text{C}$ . أحسب أيضاً فاعلية إجراء التسخين، إذا كانت درجة الحرارة الجوية تساوي  $15^{\circ}\text{C}$ .

الحل:

إجعل نسبة سريان الكتلة المطلوبة تكون  $y$ ؛ إجعل الهواء عند  $15^{\circ}\text{C}$  يكون الجدول 1، و الهواء  $90^{\circ}\text{C}$  يكون الجدول 2، وجدول الهواء المخلوط عند  $40^{\circ}\text{C}$  يكون الجدول 3.

بالتالي،

$$c_p T_1 + y c_p T_2 = (1 + y) c_p T_3$$

$$\text{أو } y c_p (T_2 - T_1) = c_p (T_3 - T_1)$$

$$\text{i.e. } y(90 - 40) = 40 - 15$$

$$\therefore y = \frac{25}{50} = \underline{0.5}$$

إجعل النظام المعتبر يكون جدولاً من الهواء لوحدة الكتلة، يتم تسخينه من  $15^{\circ}\text{C}$  إلي  $40^{\circ}\text{C}$ .

$$\text{زيادة الإنتالبية للنظام} = b_3 - b_1 = (h_3 - h_1) - T_o(s_3 - s_1)$$

$$1.005(40 - 15) - 288(s_3 - s_1)$$

$$s_3 - s_1 = c_p \log_e \frac{T_3}{T_1} = 1.005 \log_e \frac{313}{288} = \underline{0.0831} \text{ kJ / kgK}$$

$$\therefore \text{زيادة الإنتالبية للنظام} = 1.005 \times 25 - 288 \times 0.0831 = \underline{1.195} \text{ kJ / kg}$$

النظام، الذي هو الهواء المراد تسخينه، يكون محاطاً بجدول الهواء المراد تبريده. عليه، فإن فقد الإنتالبية للبيئة المحيطة يُعطي بـ،

$$y(b_2 - b_1)$$

$$\begin{aligned} \text{i.e. فقد الإتاحية للبيئة المحيطة} &= 0.5\{(h_2 - h_3) - T_o(s_2 - s_3)\} \\ &= 0.5\left(1.005(90 - 40) - 288 \times 1.005 \times \log_e \frac{363}{313}\right) = \underline{3.65} \text{ kJ / kg} \end{aligned}$$

عليه،

$$\text{الفاعلية} = \frac{1.195}{3.65} = 0.327 \text{ أو } 32.7\%$$

يكون الرقم الصغير للفاعلية مؤشراً للطبيعة اللانعكاسية لإجراء الخلط.

**مثال (3.15):**

سائل بحرارة نوعية 6.3 kJ/kgK يتم تسخينه عند ضغط ثابت تقريباً من 15°C إلى 70°C بتمريره خلال أنابيب مغمورة في فرن. تكون درجة حرارة الفرن ثابتة عند 1400°C. أحسب الفاعلية لإجراء التسخين عندما تكون درجة الحرارة الجوية مساوية لـ 10°C.

**الحل:**

زيادة الإتاحية للسائل،

$$= b_2 - b_1 = (h_2 - h_1) - T_o(s_2 - s_1)$$

$$b_2 - b_1 = 6.3(70 - 15) - 288 \times \log_e \frac{343}{288} = \underline{34.7} \text{ kJ / kg}$$

الآن درجة الحرارة المملوطة بواسطة الفرن تكون مساوية للحرارة المكتسبة للسائل،  $(h_2 - h_1)$ . إذا تم إمداد هذه

الكمية من الحرارة إلي محرك يشتغل على دورة كارنوت فستكون كفاءته الحرارية  $\left(1 - \frac{T_o}{1400 + 273}\right)$ . عليه فإن

الشغل الذي يمكن الحصول عليه من محرك حرارة سيعطي بحاصل ضرب الكفاءة الحرارية والحرارة المكتسبة،

$$(h_1 - h_2) \left(1 - \frac{283}{1673}\right)$$

الشغل الممكن من محرك حرارة هو قياس لفقد الإتاحية للفرن.

$$\begin{aligned} \text{i.e. فقدان الإتاحية للبيئة المحيطة} &= 6.3(70-15) \left(1 - \frac{283}{1673}\right) \\ &= \underline{288} \text{ kj / kg} \end{aligned}$$

بالتالي،

$$\frac{34.7}{288} = 0.121 \quad \text{أو} \quad \underline{12.1\%}$$

تعكس القيمة المنخفضة جداً للفاعلية اللانعكاسية لإنتقال الحرارة خلال فرق درجات حرارة كبير. إذا كانت درجة حرارة الفرن أصغر بكثير فسيكون الإجراء أكثر فاعلية بالرغم من أن الحرارة المنقلة للسائل ستبقى نفسها.

### 3.7 مسائل: (Problems)

1- 1kg من بخار عند 20bar، وكسر جفاف 0.9، يتم تسخينه إنعكاسياً بضغط ثابت إلي درجة حرارة 300°C. أحسب الحرارة المكتسبة، التغير في القصور الحراري، ووضّح الإجراء على مخطط T - s مشيراً للمساحة التي تُمثل سريان الحرارة.

Ans. (415 kj/kg; 0.8173 kj/kgK)

2- بخار عند 0.05bar، 100°C يتم تكثيفه بالكامل بإجراء إنعكاسي ثابت الضغط. أحسب الحرارة التي يتم إزالتها لكل kg من البخار، والتغير في القصور الحراري. أرسم الإجراء على مخطط T - s وظلّل المساحة التي تُمثل سريان الحرارة.

Ans. (2550 kj/kg; 8.292 kj/kgK)

3- 0.005kg من بخار عند 10bar، كسر جفاف 0.84، يتم تسخينه إنعكاسياً في وعاء صلب حتى يكون الضغط مساوياً لـ 20bar. أحسب التغير في القصور الحراري و الحرارة المكتسبة. وضّح المساحة التي تُمثل الحرارة المكتسبة على مخطط T - s.

Ans. (0.0704 kj/kgK; 36.85 kj)

4- أسطوانة صلدة تحوى  $0.006\text{m}^3$  من نايتروجين (بكتلة جزيئية  $28\text{kg/kmol}$ ) عند  $1.04\text{bar}$ ،  $15^\circ\text{C}$ ، يتم تسخينه إنعكاسياً حتى تصل درجة الحرارة إلي  $90^\circ\text{C}$ . أحسب التغير في القصور الحراري والحرارة المكتسبة. أرسم الإجراء على مخطط  $T - s$ . خذ الأس ثابت القصور الحراري،  $\gamma$ ، للنايتروجين ك  $1.4$ ، وأفترض أن النايتروجين يكون غازاً مثالياً.

Ans. (0.00125 kJ/K; 0.407 kJ)

5-  $1\text{m}^3$  من هواء يتم تسخينه إنعكاسياً بضغط ثابت من  $15^\circ\text{C}$  إلي  $300^\circ\text{C}$ ، ومن بعد يتم تبريده إنعكاسياً بحجم ثابت إلي درجة حرارته الابتدائية. يكون الضغط الابتدائي مساوياً لـ  $1.03\text{bar}$ . أحسب صافي سريان الحرارة والتغير في القصور الحراري، وأرسم الإجراءات على مخطط  $T - s$ .

Ans. (101.5 kJ; 0.246 kJ/K)

6-  $1\text{kg}$  من بخار يؤدي إجراء إنعكاسياً بثبات درجة الحرارة من  $20\text{bar}$ ،  $250^\circ\text{C}$  إلي ضغط  $30\text{bar}$ . أحسب سريان الحرارة، ذاكراً ما إذا كانت مكسباً أم فقداً، وأرسم الإجراء على مخطط  $T - s$ .

Ans. (- 135 kJ/kg)



## الفصل الرابع

### دورة المحرك الحراري

#### (The Heat Engine Cycle)

في هذا الفصل يتم مناقشة دورة المحرك الحراري بالتفصيل، وأيضاً إعتبار دورات قدرة الغاز. يمكن ملاحظة أن هنالك دورة نظرية مثالية بكفاءة أكبر مما نتخيل؛ تسمى هذه الدورة بدورة كارنوت ( Carnot Cycle). وتكون الكفاءة الحرارية القصوى الممكنة لمحرك حراري في الواقع العملي هي فقط حوالي نصف تلك لدورة كارنوت النظرية المثالية بين نفس حدود درجات الحرارة. هذه تكون نتيجة للانعكاسية في الدورة الفعلية، ولانحراف عن الدورة المثالية التي يتم عملها لأسباب متنوعة. يتم إختبار محطة القدرة عملياً بالتوافق بين الكفاءة الحرارية وعوامل عديدة مثل حجم المحطة لمتطلبات قدرة معطاة، التعقيدات الميكانيكية، تكلفة التشغيل، والتكلفة الرأسمالية.

#### 4.1 دورة كارنوت: (The Carnot Cycle)

يمكن التوضيح من القانون الثاني للديناميكا الحرارية أنه ليس هنالك محرك حراري يمكن أن يكون أكبر كفاءة من محرك حراري إنعكاسي يعمل بين نفس حدود درجة الحرارة. كارنوت هو مهندس فرنسي، أوضح في ورقة كُتبت في العام 1824م أن الدورة الممكنة الأكثر كفاءة هي تلك التي يتم فيها إمداد جميع الحرارة المكتسبة عند درجة حرارة مفردة مُثبَّتة، ويتم فيها رفض جميع الحرارة المفقودة عند درجة حرارة دنيا مثبتة. بالتالي فإنَّ الدورة تتراكم من إجرائين ثابتي درجة الحرارة موصلان بإجراءين كاظمي للحرارة. بما أنَّ جميع الإجراءات تكون إنعكاسية، بالتالي فإنَّ الإجراءات الكاظمة للحرارة في الدورة تكون أيضاً ثابتة القصور الحراري. من الأكثر ملائمة تمثيل الدورة على مخطَّط  $T - s$  كما موضع في الشكل (4.1) أدناه.

الإجراء 1 إلي 2 تمدداً ثابتاً للقصور الحراري من  $T_1$  إلي  $T_2$ .

الإجراء 2 إلي 3 فقداً للحرارة بثبات درجة الحرارة.

الإجراء 3 إلى 4 يكون إنضغاطاً ثابتاً للقصور الحراري من  $T_2$  إلى  $T_1$ .

الإجراء من 4 إلى 1 يكون إمداداً للحرارة بثبات درجة الحرارة.

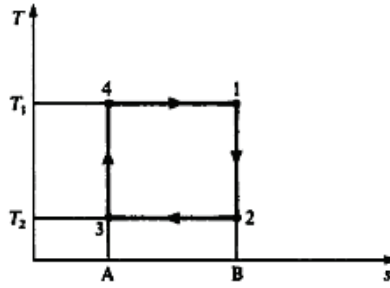
تكون الدورة مستقلة تماماً عن مادة التشغيل المستخدمة.

الكفاءة الحرارية لمحرك حراري المُعرَّفة في المقطع 3.1، أعطيت بالمعادلة (3.1)،

$$\eta = 1 - \frac{Q_2}{Q_1}$$

في دورة كارنوت بالرجوع للشكل (4.1)، يمكن ملاحظة أن الحرارة المكتسبة  $Q_1$ ، تُعطي بالمساحة 41BA4.

$$\text{i.e. } Q_1 = \text{المساحة } 41BA4 = T_1(S_B - S_A)$$



شكل (4.1) دورة كارنوت على مخطط  $T - s$

بالمثل فإن الحرارة المفقودة،  $Q_2$ ، تُعطي بالمساحة 23AB2.

$$\text{i.e. } Q_2 = \text{المساحة } 23AB2 = T_2(S_B - S_A)$$

بالتالي نحصل على،

$$\text{الكفاءة الحرارية لدورة كارنوت، } \eta_{\text{Carnot}} = 1 - \frac{T_2(S_B - S_A)}{T_1(S_B - S_A)}$$

$$\text{i.e. } \eta_{\text{Carnot}} = 1 - \frac{T_2}{T_1} \quad (4.1)$$

إذا كان هنالك غاطساً متوفراً للفقد الحراري عند درجة حرارة مثبتة  $T_2$  (e.g. إمداد ضخّم لماء التبريد)، بالتالي  $T_2/T_1$  ستقل كلما تزداد درجة حرارة المصدر  $T_1$ . من المعادلة (4.1) يمكن ملاحظة أنه كلما قلت  $T_2/T_1$ ، تزداد بالتالي الكفاءة الحرارية. بالتالي لدرجة حرارة أدنى مثبتة لفقد الحرارة، فإن درجة الحرارة العليا التي يتم عندها إمداد الحرارة يجب عملها أكبر ما يمكن. الكفاءة الحرارية الممكنة القصوى بين أيّ درجتين حراريتين هي تلك لدورة كارنوت.

يمكن إيجاد شغل الخرج لدورة كارنوت ببساطة من مخطط  $T - s$ . من القانون الأول،

$$\sum Q = \sum W$$

عليه، فإن شغل الخرج للدورة يُعطي بـ ،

$$W = Q_1 - Q_2$$

بالتالي لدورة كارنوت، بالرجوع للشكل (4.1) ،

$$\text{i.e. } W_{\text{Carnot}} = 12341 \text{ المساحة} = (T_1 - T_2)(S_B - S_A)$$

**مثال (4.1):**

ما هي الكفاءة النظرية الممكنة القصوى لمحرك حراري التي تعمل مع مستودع ساخن لغازات فرن عند

$2000^\circ\text{C}$  عندما يكون ما التبريد متاحاً عند  $10^\circ\text{C}$ ؟

**الحل:**

من المعادلة (4.1)،

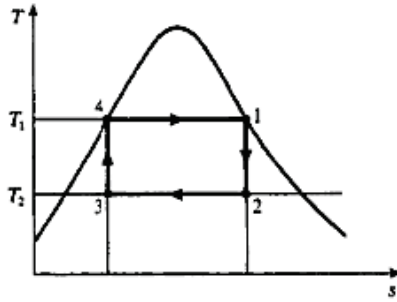
$$\eta_{\text{Carnot}} = 1 - \frac{10 + 273}{2000 + 273} = 1 - \frac{283}{2273}$$

i.e. الكفاءة القصوى الممكنة =  $1 - 0.1246 = 0.8754$

أو 87.54 %

يمكن ملاحظة أن نظاماً عملياً يعمل بين نفس درجات الحرارة (e.g. محطة توليد بخار) سيمتلك كفاءة حرارية بحوالي 30%. يكون هذا الفرق الكبير نتيجة للفقدان الناتجة من اللانعكاسية في المحطة الفعلية، وأيضاً بسبب الانحرافات عن دورة كارنوت المثالية التي تُعمل لأسباب عملية متنوعة.

من الصعوبة بمكان عملياً عمل نظام يستقبل ويفقد الحرارة عند درجة حرارة ثابتة. البخار الرطب هو مادة التشغيل الوحيدة التي يمكن أن تؤدي هذا بملائمة، بما أنه لبخار رطب فإن درجة الحرارة والضغط يظلان ثابتين كلما يتم إمداد أو فقط الحرارة الكامنة. دورة كارنوت لبخار رطب تكون موضحة في الشكل (4.2). بالرغم من أن هذه الدورة هي الأكفأ الممكنة لبخار، فإنها لا تستخدم في محطة البخار. تعرف الدورة النظرية والتي يتم عليها تأسيس دورات البخار بدورة رانكن.



شكل (4.2) دورة كارنوت لبخار رطب على مخطط T - s

#### 4.2 مقياس درجة الحرارة المطلقة: (Absolute Temperature Scale)

في الفصول السابقة لقد تم افتراض مقياساً لدرجة الحرارة مؤسساً على ثيرموميتر الغاز المثالي. باستخدام القانون الثاني للديناميكا الحرارية من الممكن تأسيس مقياساً لدرجة الحرارة يكون مستقلاً عن مادة التشغيل.

لأي محرك حراري من المعادلة (3.3)،

$$\eta = 1 - \frac{Q_2}{Q_1} \quad (4.2)$$

أيضاً فإن الكفاءة لمحرك يشتغل على دورة كارنوت تعتمد فقط على درجة الحرارة للمستودعين الساخن والبارد. بترميز درجة الحرارة على أساس إعتباطي بـ  $X$ ، نحصل على،

$$\eta = \phi(X_1, X_2) \quad (4.3)$$

(حيث  $\phi$  هي دالة و  $X_1$  و  $X_2$  هما درجتا الحرارة للمستودعين البارد والساخن)

بتوحيد المعادلتين نحصل على،

$$\frac{Q_2}{Q_1} = F(X_1, X_2)$$

(حيث  $F$  دالة جديدة)

هنالك عدد ضخم ممكن لمقاييس درجة الحرارة يكون مستقلاً عن مادة التشغيل. يمكن إختيار أي مقياس تشغيل بالإختيار المناسب لقيمة الدالة  $F$ . يمكن إختيار الدالة بحيث أن،

$$\frac{Q_2}{Q_1} = \frac{X_2}{X_1} \quad (4.4)$$

أيضاً من المعادلة (4.1)، نحصل على،

$$\eta = 1 - \frac{T_2}{T_1}$$

بالتالي باستخدام المعادلة (4.2)،

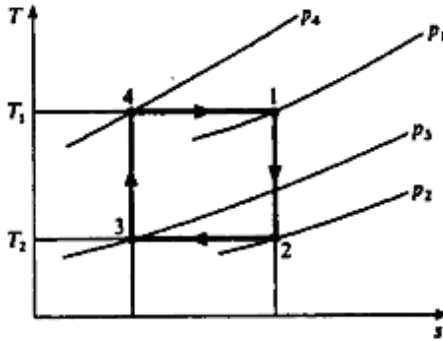
$$\eta = 1 - \frac{Q_2}{Q_1} = 1 - \frac{T_2}{T_1}$$

$$\text{أو } \frac{Q_2}{Q_1} = \frac{T_2}{T_1} \quad (4.5)$$

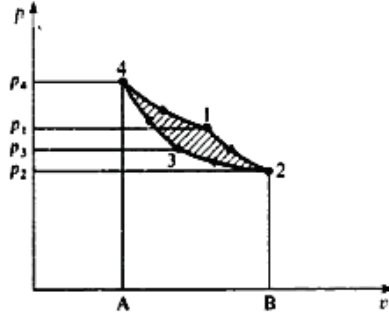
بمقارنة المعادلات (4.4) و (4.5) يمكن الملاحظة أن درجة الحرارة  $X$  تكون مكافئة لدرجة الحرارة  $T$ . عليه بالإختيار المناسب للدالة  $F$ ، يتم جعل مقياس درجة الحرارة المثالي مكافئاً للمقياس المؤسس على ثرموميتر الغاز المثالي.

### 4.3 دورة كارنوت لغاز مثالي: (The Carnot Cycle for Perfect Gas)

يتم توضيح دورة كارنوت على مخطط  $T - s$  في الشكل (4.3) لاحظ أنَّ ضغط الغاز يتغير باستمرار من  $p_4$  إلي  $p_1$  أثناء إمداد الحرارة بثبات درجة الحرارة، ومن  $p_2$  إلي  $p_3$  أثناء فقد الحرارة بثبات درجة الحرارة. من الملائم أكثر عملياً تسخين غاز بضغط ثابت تقريباً أو بحجم ثابت، بالتالي من الصعوبة بمكان محاولة تشغيل محرك حراري فعلي على دورة كارنوت عملياً باستخدام غاز كمادة تشغيل. هنالك سبب هام آخر لعدم محاولة استخدام دورة كارنوت عملياً يُوضح برسم الدورة على مخطط  $p - v$ ، كما في الشكل (4.4). يُعطي صافي الشغل للدورة بالمساحة 12341. تكون هذه كمية صغيرة مقارنة بإجمالي الشغل لإجراءات التمدد للدورة المعطاة بالمساحة 41BA4. شغل إجراءات الانضغاط (i.e. الشغل المبذول على الغاز) يُعطي بالمساحة 234AB2. تُسمى نسبة صافي شغل الخرج إلي إجمالي شغل الخرج بنسبة الشغل (work ratio). بالرغم من الكفاءة الحرارية العالية لدورة كارنوت، فإنها تمتلك نسبة شغل منخفضة.



شكل (4.3) دورة كارنوت لغاز مثالي على مخطط  $T - s$



شكل (4.4) دورة كارنوت على مخطط  $p - v$

مثال (4.2):

إذا كان هنالك مستودع ساخن عند درجة حرارة مقدارها  $800^{\circ}\text{C}$  ومستودع بارد عند درجة حرارة  $15^{\circ}\text{C}$ .  
أحسب الكفاءة الحرارية ونسبة الشغل لدورة كارنوت باستخدام الهواء للتشغيل، إذا كانت الضغوط القصوى في  
الدورة هما  $210\text{bar}$  و  $1\text{bar}$ .

الحل:

يتم توضيح الدورة على مخططات  $T - s$  و  $p - v$  في الأشكال (4.5(a)) و (4.5(b)) على  
الترتيب.

باستخدام المعادلة (4.1)،

$$\eta_{Carnot} = 1 - \frac{T_2}{T_1} = \frac{15 + 273}{300 + 273} = 1 - 0.268 = 0.732$$

أو  $73.2\%$

لكي يتم إيجاد شغل الخرج ونسبة الشغل الكلي من الضروري إيجاد التغير في القصور الحراري،

$$(s_1 - s_4)$$

لإجراء ثابت درجة الحرارة من 4 إلى A، مستخدماً المعادلة (3.12)،

$$(s_A - s_4) = R \log_e \frac{P_4}{P_2} = 0.287 \log_e \frac{210}{1} = 1.535 \text{ kJ/kgK}$$

عند ضغط ثابت من A إلي 2، نحصل على،

$$(s_A - s_2) = c_p \log_e \frac{T_1}{T_2} = 1.005 \log_e \frac{1073}{288} = 1.321 \text{ kJ/kgK}$$

$$\therefore s_1 - s_4 = 1.535 - 1.321 = 0.214 \text{ kJ/kgK}$$

بالتالي،

$$\text{صافي شغل الخرج} = (T_1 - T_2)(s_1 - s_2) = 12341 \text{ المساحة}$$

$$= (1073 - 288) \times 0.214 = 168 \text{ kJ/kgK}$$

صافي شغل التمدد = الشغل المبذول 4 إلي 1 + الشغل المبذول 1 إلي 2

من المعادلة (2.12)، لإجراء ثابت درجة الحرارة،  $Q = W$

i.e.  $W_{4-1} = Q_{4-1} = 4.5(a)$  المساحة تحت الخط 1 - 4 على الشكل

$$= (s_1 - s_4) \times T_1 = 0.214 \times 1073$$

$$= 229.6 \text{ kJ/kg}$$

لإجراء ثابت القصور الحراري من 1 إلي 2، من المعادلة (2.13)،

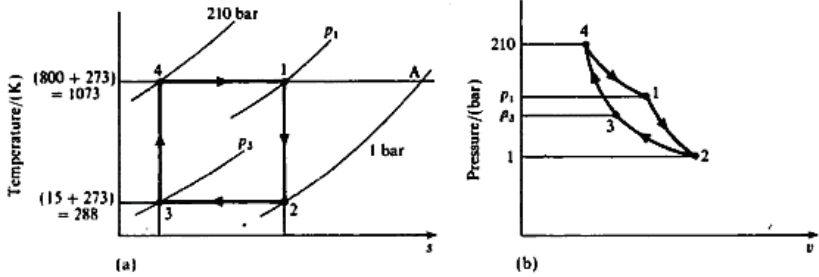
$$W_{1-2} = c_v (T_1 - T_2)$$

$$= 0.718(1073 - 288) = 563.6 \text{ kJ/kg}$$

$$\therefore \text{إجمالي الشغل} = 229.6 + 563.6 = 793.2 \text{ kJ/kg}$$

$$\text{i.e. نسبة الشغل} = \frac{\text{صافي الشغل}}{\text{إجمالي الشغل}} = \frac{168}{793.2} = 0.212$$





شكل (4.5) دورة كارنوت على مخطط  $p - v$  و  $T - s$

#### 4.4 دورة الضغط الثابت: (The Constant Pressure Cycle)

في هذه الدورة فإن إجراءات إمداد الحرارة وفقد الحرارة تحدث انعكاسياً بضغط ثابت. وتكون إجراءات التمدد والانتضاغ ثابتة القصور الحراري. تم توضيح الدورة على مخطط  $T - s$  و  $p - v$  في الأشكال 4.6(a) و 4.6(b). استخدمت هذه الدورة في إحدى الأوقات كأساس مثالي لمحرك ترددي لهواء ساخن، وتُسمى بدورة جول أو بريتون (Joule or Brayton Cycle). في أيامنا الحاضرة، فإن هذه الدورة هي الدورة المثالية لوحدة توربينة غاز مغلقة الحلقة. هنالك مخططاً بسيطاً للمحطة موضعاً في الشكل (4.7)، بأرقام مناظرة لتلك الموجودة في الأشكال 4.6(a) و 4.6(b). تكون مادة التشغيل هي الهواء الذي ينساب بسرّيان مستقر حول الدورة، بالتالي، بتجاهل تغييرات السرعة، وتطبيق معادلة طاقة السرّيان لكل جزء من الدورة، نحصل على،

$$\text{شغل الدخل إلي الضاغط} = (h_2 - h_1) = c_p (T_2 - T_1)$$

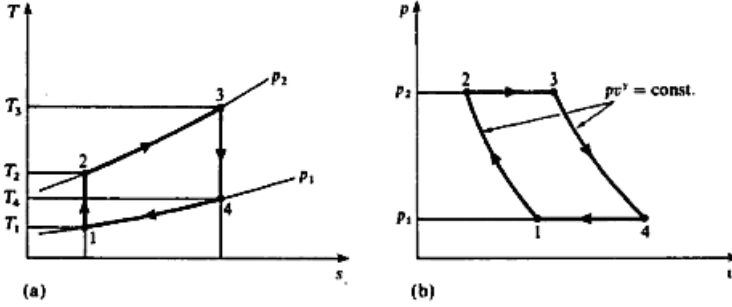
$$\text{شغل الخرج من التوربينة} = (h_3 - h_4) = c_p (T_3 - T_4)$$

$$Q_1 = (h_3 - h_2) = c_p (T_3 - T_2)$$

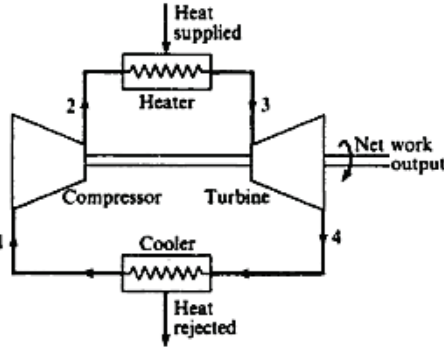
$$Q_2 = (h_4 - h_1) = c_p (T_4 - T_1)$$

بالتالي من المعادلة (3.3)،

$$\eta = 1 - \frac{Q_2}{Q_1} = 1 - \frac{c_p(T_4 - T_1)}{c_p(T_3 - T_2)} = 1 - \frac{T_4 - T_1}{T_3 - T_2}$$



شكل (4.6) دورة الضغط الثابت على مخططي  $T-s$  و  $p-v$



شكل (4.7) دورة مغلقة لوحدة توربين غازي

الآن بما أنَّ الإجراءات 1 إلى 2 و 3 إلى 4 هما ثابتان القصور الحراري بين نفس الضغوط  $p_1$  و  $p_2$ ، مستخدماً

المعادلة (2.21)، نحصل على،

$$\frac{T_2}{T_1} = \left( \frac{p_2}{p_1} \right)^{(\gamma-1)/\gamma} = \frac{T_3}{T_4} = r_p^{(\gamma-1)/\gamma}$$

(حيث  $r_p$  هي نسبة الضغط  $\frac{p_2}{p_1}$ )

بالتالي،

$$T_3 = T_4 r_p^{(\gamma-1)/\gamma} \quad \text{و} \quad T_2 = T_1 r_p^{(\gamma-1)/\gamma}$$

$$T_3 - T_2 = r_p^{(\gamma-1)/\gamma} (T_4 - T_1)$$

بالتالي بالتعويض في تعبير الكفاءة،

$$\eta = 1 - \frac{T_4 - T_1}{(T_4 - T_1) r_p^{(\gamma-1)/\gamma}} = 1 - \frac{1}{r_p^{(\gamma-1)/\gamma}} \quad (4.6)$$

عليه لدورة الضغط الثابت، تعتمد الكفاءة الحرارية فقط على نسبة الضغط. في الحالة المثالية فإن قيمة  $\gamma$  للهواء

تكون ثابتة ومساوية لـ 1.4. عملياً، ونتيجة لتدويم الهواء كلما يسري خلال الضاغط والتوربين اللذان هما

ماكينات دوارة، فإن الكفاءة الحرارية الفعلية ستتنخفض كثيراً مقارنة بتلك المعطاة بالمعادلة (4.6).

نسبة الشغل لدورة الضغط الثابت يمكن إيجادها كما يلي،

$$\begin{aligned} \text{نسبة الشغل} &= \frac{c_p (T_3 - T_4) - c_p (T_2 - T_1)}{c_p (T_3 - T_4)} \\ &= 1 - \frac{T_2 - T_1}{T_3 - T_4} \end{aligned}$$

الآن كما في سابقه،

$$\frac{T_2}{T_1} = r_p^{(\gamma-1)/\gamma} = \frac{T_3}{T_4}$$

$$\therefore T_2 = T_1 r_p^{(\gamma-1)/\gamma} \quad \text{and} \quad T_4 = \frac{T_3}{r_p^{(\gamma-1)/\gamma}}$$

بالتالي بالتعويض،

$$\begin{aligned} \text{نسبة الشغل} &= 1 - \frac{T_1 (r_p^{(\gamma-1)/\gamma} - 1)}{T_3 [1 - (1/r_p^{(\gamma-1)/\gamma})]} \\ &= 1 - \frac{T_1}{T_3} \left( \frac{r_p^{(\gamma-1)/\gamma} - 1}{r_p^{(\gamma-1)/\gamma} - 1} \right) r_p^{(\gamma-1)/\gamma} \end{aligned}$$

$$\text{i.e.} \quad \text{نسبة الشغل} = 1 - \frac{T_1}{T_3} \Gamma_p^{(\gamma-1)/\gamma} \quad (4.7)$$

يمكن الملاحظة من المعادلة (4.7) أن نسبة الشغل لا تعتمد فقط على نسبة الضغط بل أيضاً على نسبة درجات الحرارة الدنيا والقوى. لدرجة حرارة مدخل معطاة،  $T_1$ ، فإن درجة الحرارة القصوى،  $T_3$ ، يجب جعلها أكبر ما يمكن للحصول على نسبة شغل عالية.

لوحة توربينة غاز مفتوحة الحلقة فإن الدورة الفعلية لا تكون تقريب جيد لدورة الضغط الثابت المثالية، بما أن الوقود يتم حرقه بالهواء، ويتم سحب شحنة طازجة باستمرار في الضاغط. بالرغم من ذلك تُعطي الدورة المثالية أساساً جيداً للمقارنة وفي حسابات كثيرة لتوربينة غاز ذات حلقة مفتوحة مثالية يتم تجاهل تأثيرات كتلة الوقود والتغير في مائع التشغيل.

#### مثال (4.3):

في وحدة توربينة غاز يتم سحب الهواء عند ضغط 1.02bar و  $15^\circ\text{C}$ ، ويتم إنضغاطه إلى 6.12bar. أحسب الكفاءة الحرارية ونسبة الشغل لدورة الضغط الثابت المثالية، عندما تكون درجة الحرارة القصوى محدودة بـ  $800^\circ\text{C}$ .

الحل:

يتم توضيح الدورة المثالية على مخطط  $T-s$  في الشكل (4.8). من المعادلة (4.6)،

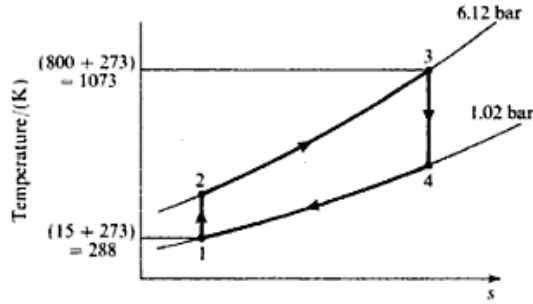
$$\text{الكفاءة الحرارية}, \eta = 1 - \frac{1}{\Gamma_p^{(\gamma-1)/\gamma}}$$

$$\text{i.e.} \quad \eta = 1 - \frac{1}{\Gamma_p^{(\gamma-1)/\gamma}} = 1 - \left(\frac{1.02}{6.12}\right)^{(\gamma-1)/\gamma} = 1 - \frac{1}{6^{0.286}} = 1 - 0.598$$

$$\therefore \text{الكفاءة الحرارية} = 0.402 \quad \text{أو} \quad 40.2\%$$

يُعطي صافي الشغل للدورة بالشغل المبذول بالتوربينة ناقصاً الشغل المبذول على الهواء في الضاغط.

$$\text{i.e.} \quad \text{صافي الشغل} = c_p(T_3 - T_4) - c_p(T_2 - T_1)$$



شكل (4.8) مخطط T - s

من المعادلة (2.21)،

$$\frac{T_2}{T_1} = \left(\frac{p_2}{p_1}\right)^{(y-1)/\gamma} = \frac{T_3}{T_4} = \left(\frac{6.12}{1.02}\right)^{(y-1)/\gamma} = 6^{0.286} = 1.67$$

$$\therefore T_2 = 1.67 \times T_1 = 1.67 \times 288 = 481 \text{ K}$$

(حيث  $T_1 = 15 + 273 = 288 \text{ K}$ )

$$T_4 = \frac{T_3}{1.67} = \frac{1073}{1.67} = 643 \text{ K}$$

(حيث  $T_3 = 800 + 273 = 1073 \text{ K}$ )

$$\therefore \text{صافي الشغل} = 1.005(1073 - 643) - 1.005(481 - 288)$$

$$= (1.005 \times 430 - 1.005 \times 193) = 288 \text{ kJ/kg}$$

$$\text{شغل التوربينة} = c_p(T_3 - T_4) = \text{أجمالي الشغل}$$

$$= 1.005(1073 - 643) = 432 \text{ kJ/kg}$$

بالتالي،

$$\text{نسبة الشغل} = \frac{288}{432} = 0.55$$

#### 4.5 دورة الهواء القياسية: (The Air Standard Cycle)

لقد تمّت الإشارة في المقطع 3.1 أنّ الدورات التي يتم فيها حرق الوقود مباشرة في مائع التشغيل هي ليست محركات حرارية بالمعنى الصحيح للمصطلح. عملياً فإنّ مثل هذه الدورات تستخدم تكراراً وتُسمى بدورات الإحتراق الداخلي. يتم حرق الوقود مباشرة في مائع التشغيل، الذي هو عادة الهواء. تكون الميزة الرئيسية لمثل وحدات القدرة هذه هي إمكانية الحصول على درجات حرارة عالية للمائع، بما أنّه لا يتم إنتقالها خلال جدران المعدن إلي المائع. يتم الملاحظة من المعادلة (4.1)  $\eta = 1 - (T_2 / T_1)$ ، أنّه لغاطس مُعطى لفقد الحرارة عند  $T_2$  فإنّ درجة حرارة المصدر  $T_1$ ، يجب أن تكون أكبر ما يمكن. هذا ينطبق على جميع محركات الحرارة. بإمداد وقود إلي داخل الأسطوانة كما في محرك الإحتراق الداخلي، يمكن الحصول على درجات حرارة عالية لمائع التشغيل. تكون درجة الحرارة القصوى لجميع الدورات محدودة بالحد الميتالورجي (metallurgical limit) للمواد المستخدمة (e.g. في توربينات الغاز تكون درجة الحرارة محدودة بحوالي  $800^\circ\text{C}$ ). يمكن للمائع في محرك الإحتراق الداخلي أن يصل إلي درجة حرارة مساوية لـ  $2750^\circ\text{C}$ . هذا يكون ممكناً بتبريد الأسطوانة خارجياً بما أو هواء؛ أيضاً، نتيجة للطبيعة المتقطعة للدورة فإن مائع التشغيل يصل لدرجة حرارته القصوى فقط للحظة أثناء كل دورة.

من أمثلة دورات الإحتراق الداخلي هي وحدة توربينة الغاز مفتوحة الحلقة، محرك البترول، محرك الديزل أو محرك الزيت، محرك الغاز. وحدة توربينة الغاز مفتوحة الحلقة، رغم أنها دورة إحتراق داخلي، تكون بالرغم من ذلك ذات تصنيف مختلف عن محركات الإحتراق الداخلي الأخرى. لقد تم ذكر الدورة في المقطع 3.1 وتم توضيح مخططاً للمحطة في الشكل (3.4). يمكن الملاحظة أنّ الدورة تكون ذات سريان مستقر ينساب فيها مائع التشغيل من أحد المكونات إلي المكون الآخر حول الدورة. عليه سيتم إفتراض أنّ وحدة توربينة الغاز إذا ما تم تشغيلها على دورة مفتوحة أو مغلقة، يمكن مقارنتها مع دورة الضغط الثابت المثالية التي تم التعامل معها في المقطع 4.4.

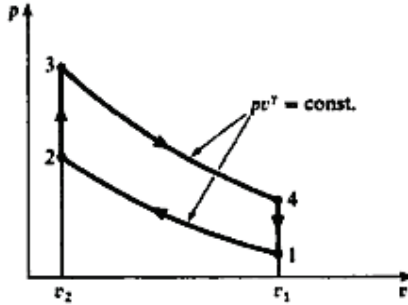
في محرك البترول يتم سحب خليطاً من الهواء والبتترول إلى الأسطوانة، حيث يتم إنضغاطه بالكباس، ومن بعد إشعاله بشرارة كهربائية. تتمدد الغازات الساخنة دافعة الكباس للوراء ومن بعد تُكسح للخارج إلى العادم. وتُعاد الدورة بسحب شحنة طازجة من البترول والهواء. في محرك الديزل أو الزيت يتم رش زيت تحت ضغط في الهواء المنضغط عند نهاية شوط الإنضغاط، ويكون الإحتراق تلقائياً نتيجة لدرجة الحرارة العالية للهواء بعد الإنضغاط. في محرك غاز فإن خليطاً من الغاز والهواء يتم سحبه في الأسطوانة، إنضغاطه، ومن بعد إشعاله كما في محرك البترول بشرارة كهربائية. لإعطاء أساس للمقارنة لمحرك الإحتراق الداخلي الفعلي يتم تعريف دورة الهواء القياسية.

في دورة هواء قياسية يتم افتراض أن مادة التشغيل تكون هواء طوال الدورة، يتم افتراض أن جميع الإجراءات تكون إنعكاسية، ويتم افتراض أن مصدر إمداد الحرارة وغاطس فقد الحرارة يكونان خارجيان بالنسبة للهواء. يتم تمثيل الدورة على مخطط للخواص، وعادة ما يتم رسمه على مخطط  $p - v$ ، بما أن هذه تسمح بمقارنة مباشرة يتم عملها مع دورة المحرك الفعلي التي يمكن الحصول عليها من مخطط بياني. يجب التأكيد على أن دورة هواء قياسية على مخطط  $p - v$  تكون عبارة عن دورة ديناميكية حرارية صحيحة، بينما يكون مخطط البيان المأخوذ من محرك فعلي هو سجلاً لتفاوتات الضغط في الأسطوانة ضد إزاحة الكباس.

#### 4.6 دورة أوتو : (The Otto Cycle)

دورة أوتو هي دورة الهواء القياسية المثالية لمحرك البترول، محرك الغاز، ومحرك الزيت ذو السرعات العالية.

- يتم توضيح دورة أوتو في مخطط  $p - v$  في الشكل (4.9).
- الإجراء من 1 إلى 2 هو إنضغاط ثابت القصور الحراري.
- الإجراء من 2 إلى 3 هو تسخين ثابت الحجم إنعكاسي.
- الإجراء من 3 إلى 4 هو تمدد ثابت القصور الحراري.
- الإجراء من 4 إلى 1 هو تبريد إنعكاسي ثابت الحجم.



شكل (4.9) دورة أوتو على مخطط  $p - v$

لإعطاء مقارنة مباشرة بالمحرك الفعلي فإن نسبة الحجم النوعية  $v_1/v_2$  يتم أخذها كنفس نسبة الانضغاط للمحرك الفعلي،

i.e.  $r_v = \frac{v_1}{v_2}$  نسبة الانضغاط

$$(4.8) \text{ نسبة الانضغاط} = \frac{\text{حجم الخلوص} + \text{الحجم المكتسح}}{\text{حجم الخلوص}}$$

يمكن إيجاد الكفاءة الحرارية لدورة أوتو بإستخدام المعادلة (3.3)،

$$\eta = 1 - \frac{Q_1}{Q_2}$$

يتم إعطاء الحرارة المكتسبة،  $Q_1$ ، بحجم ثابت بين  $T_2$  و  $T_3$  تُعطى بالمعادلة (3.13)، لكل kg من الهواء،

$$Q_1 = c_v(T_3 - T_2)$$

بالمثل، فإن الحرارة المفقودة،  $Q_2$ ، بحجم ثابت بين  $T_1$  و  $T_4$  تُعطى بالمعادلة التالية، لكل kg من الهواء،

$$Q_2 = c_v(T_4 - T_1)$$

تكون الإجراءات 1 إلى 2 و 3 إلى 4 هي ثابتة القصور الحراري وعليه لا يكون هنالك سريان حرارة أثناء هذا الإجراءات.



$$\therefore \eta = 1 - \frac{Q_2}{Q_1} = 1 - \frac{c_v(T_4 - T_1)}{c_v(T_3 - T_2)} = 1 - \left( \frac{T_4 - T_1}{T_3 - T_2} \right)$$

الآن بما أن الإجراءات من 1 إلى 2 و 3 إلى 4 هي ثابتة القصور الحراري، بالتالي باستخدام المعادلة (2.21)،

$$\frac{T_2}{T_1} = \left( \frac{v_1}{v_2} \right)^{\gamma-1} = \left( \frac{v_4}{v_3} \right)^{\gamma-1} = \frac{T_2}{T_1} = r_v^{\gamma-1}$$

(حيث  $r_v$  هي نسبة الإنضغاط من المعادلة (4.8)).

بالتالي،

$$T_3 = T_4 r_v^{\gamma-1} \quad , \quad T_2 = T_1 r_v^{\gamma-1}$$

بالتالي بالتعويض،

$$\eta = 1 - \frac{T_4 - T_1}{(T_4 - T_1) r_v^{\gamma-1}} = 1 - \frac{1}{r_v^{\gamma-1}} \quad (4.9)$$

يمكن الملاحظة من المعادلة (4.9) أنَّ الكفاءة الحرارية لدورة أوتو تعتمد فقط على نسبة الإنضغاط  $r_v$ .

**مثال (4.5):**

أحسب الكفاءة الحرارية لدورة الهواء القياسية المتألية المؤسسة على دورة أوتو لمحرك بترول بقطر داخلي للأسطوانة مقداره 50mm وشوط مقداره 75mm، وحجم خلوص مقداره  $21.3 \text{ cm}^3$ .

**الحل:**

حجم الإكتساح،

$$\text{حجم الإكتساح} = \frac{\pi}{4} \times 50^2 \times 75 = 147200 \text{ cm}^3$$

$$\therefore \text{حجم الأسطوانة الكلي} = 147.2 + 21.3 = 168.5 \text{ cm}^3$$

$$\text{i.e. نسبة الإنضغاط } r_v = \frac{168.5}{21.3} = 7.92/1$$

بالتالي باستخدام المعادلة (4.9)،

$$\eta = 1 - \frac{1}{r_v^{\gamma-1}} = 1 - \frac{1}{7.92^{0.4}} = 1 - 0.437 = \underline{0.563} \text{ or } \underline{56.3\%}$$

#### 4.7 دورة ديزل: (The Diesel Cycle)

المحركات المستخدمة هذه الأيام والتي تسمى بمحركات الديزل إبتعدت كثيراً عن المحرك الأصلي الذي إختراعه ديزل في العام 1892م. عمل ديزل على فكرة الإشتعال التلقائي لبودرة الفحم، التي يتم تعجيرها في أسطوانة بهواء منضغط. أصبح الزيت هو الوقود المقبول الذي يستخدم في محركات الإشتعال بالإبضاغاط، وقد تم تأصيلاً تعجير الزيت في الأسطوانة بنفس الطريقة التي قصدها ديزل برش بودرة الفحم. هذه أعطت دورة تشغيل لديها رصيفتها المثالية التي هي دورة الهواء القياسية لديزل الموضحة في الشكل (4.10).

كما في سابقه، فإنَّ نسبة الانضاغاط  $r_v$ ، تُعطي بالنسبة  $v_1/v_2$ .

الإجراء من 1 إلي 2 هو إنضاغاط ثابت القصور الحراري.

الإجراء من 2 إلي 3 هو تسخين إنعكاسي ثابت الحجم.

الإجراء من 3 إلي 4 هو تمدد ثابت القصور الحراري.

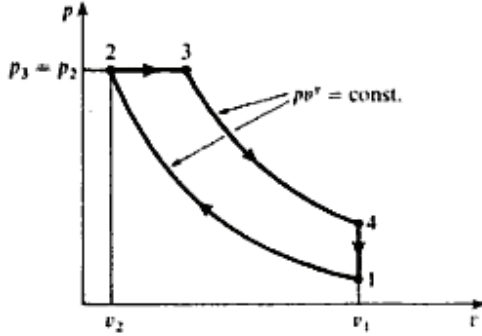
الإجراء من 4 إلي 1 هو تبريد إنعكاسي ثابت الحجم.

من المعادلة (3.3)،

$$\eta = 1 - \frac{Q_1}{Q_2}$$

عند ضغط ثابت من المعادلة التالية، لكل kg من الهواء،

$$Q_1 = c_p (T_3 - T_2)$$



شكل (4.10) دورة ديزل على مخطط  $p - v$

أيضاً عند حجم ثابت من المعادلة التالية، لكل kg من الهواء،

$$Q_2 = c_p (T_4 - T_1)$$

لا يكون هنالك سريان حرارة في الإجراءات 1 إلي 2 و 3 إلي 4 بما أن هذه الإجراءات تكون ثابتة القصور الحراري. بالتالي بالتعويض لـ  $Q_1$  و  $Q_2$  في تعبير الكفاءة الحرارية يمكن اشتقاق المعادلة التالية،

$$\eta = 1 - \frac{\beta^\gamma - 1}{(\beta - 1)r_v^{\gamma-1} \gamma} \quad (4.10)$$

(حيث نسبة إنقطاع الوقود  $\beta = v_3 / v_2$ )

تُوضح المعادلة (4.10) أن الكفاءة الحرارية لا تعتمد على نسبة الإنضغاط بل تعتمد أيضاً على الحرارة المكتسبة بين 2 و 3، التي تُثبت النسبة،  $v_3/v_2$ . يتم اشتقاق المعادلة (4.10) بالتعبير عن كل درجة حرارة بدلالات  $T_1$  و  $r_v$  أو  $\beta$ . لا يتم إعطاء الاشتقاق هنا، لأنه يُعتقد أن الأسلوب الأفضل لإشتقاق الكفاءة الحرارية يكون بحساب كل درجة حرارة على إفراد حول الدورة، وبالتالي تطبيق المعادلة (3.3)،  $\eta = 1 - (Q_2 / Q_1)$ .

هذه يتم توضيحها في المثال التالي.

مثال (4.5):

محرك ديزل بدرجة حرارة مدخل وضغط مقدارهما  $15^\circ\text{C}$  و  $1\text{ bar}$  على الترتيب. تكون نسبة الإنضغاط هي  $12/1$  ودرجة حرارة الدورة القصوى هي  $1100^\circ\text{C}$ . أحسب الكفاءة الحرارية لدورة الهواء القياسية المؤسسة على دورة ديزل.

الحل:

بالرجوع للشكل (4.11)،

$$T_3 = 1100 + 273 = 1373 \text{ K}, \quad T_1 = 15 + 273 = 288 \text{ K}$$

من المعادلة (2.20)،

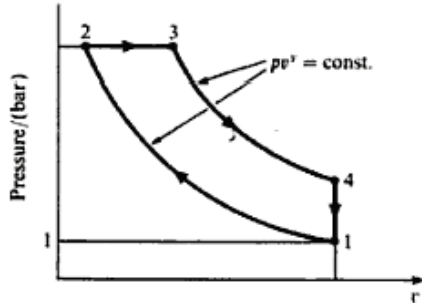
$$\frac{T_2}{T_1} = \left( \frac{v_1}{v_2} \right)^{\gamma-1} = r_v^{\gamma-1} = 12^{0.4} = 2.7$$

$$\text{i.e. } T_2 = 2.7 \times 288 = \underline{778 \text{ K}}$$

عند ضغط ثابت من 2 إلي 3، بما أن  $p_v = RT$ ، لغاز مثالي، بالتالي،

$$\frac{T_3}{T_2} = \frac{v_3}{v_2}$$

$$\text{i.e. } \frac{v_3}{v_2} = \frac{1373}{778} = \underline{1.765}$$



شكل (4.11) دورة ديزل على مخطط  $p-v$

عليه،

$$\frac{v_4}{v_3} = \frac{v_4}{v_2} \frac{v_2}{v_3} = \frac{v_1}{v_2} \frac{v_2}{v_3} = 12 \times \frac{1}{1.765} = 6.8$$

بالتالي باستخدام المعادلة (2.20)،

$$\frac{T_3}{T_4} = \left( \frac{v_4}{v_3} \right)^{\gamma-1} = 6.8^{0.4} = \underline{2.153}$$

$$\text{i.e. } T_4 = \frac{1373}{2.153} = \underline{638 \text{ K}}$$

بالتالي من المعادلة التالية، لكل kg من الهواء،

$$Q_1 = c_p (T_3 - T_2) = 1.005(1373 - 778) = \underline{598 \text{ kJ / kg}}$$

أيضاً من المعادلة التالية، لكل kg من الهواء،

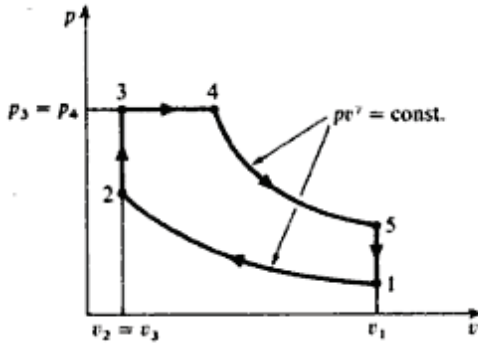
$$Q_2 = c_v (T_4 - T_1) = 0.718(638 - 288) = \underline{251 \text{ kJ / kg}}$$

عليه من المعادلة (3.3)،

$$\eta = 1 - \frac{Q_2}{Q_1} = 1 - \frac{251}{598} = \underline{0.58} \text{ or } \underline{58\%}$$

#### 4.8 دورة الإحتراق الثنائي: (The Dual Combustion Cycle)

بالرغم من أن محركات الزيت الحديثة ما يزال يُطلق عليها محركات ديزل إلا أنها إشتقت بتقارب أكثر من محرك تم إختراعه بواسطة Achroyd – Stuart في العام 1888. تستخدم جميع محركات الزيت اليوم حقناً مصمماً للوقود؛ حيث يتم حقن الوقود بواسطة حاقن مُحمل بنابض، ويتم تشغيل مضخة الوقود بواسطة حذبة تُدار من العمود المرفقي للمحرك. الدورة المثالية المستخدمة كأساس للمقارنة تُسمى بدورة الإحتراق الثنائي أو الدورة الممزوجة (mixed cycle)، ويتم توضيحها على مخطط  $p - v$  في الشكل (4.12).



شكل (4.12) دورة الإحتراق الثنائي على مخطط  $p - v$

الإجراء من 1 إلي 2 هو إنضغاط ثابت القصور الحراري.

الإجراء من 2 إلي 3 هو تسخين إنعكاسي ثابت الحجم.

الإجراء من 3 إلي 4 هو تسخين إنعكاسي ثابت الضغط.

الإجراء من 4 إلي 5 تمدد ثابت القصور الحراري.

الإجراء من 5 إلي 1 هو تبريد إنعكاسي ثابت الحجم.

يتم إمداد الحرارة في جزئين، الجزء الأول عند حجم ثابت والمتبقي عند ضغط ثابت، ومن هنا جاء إسم إحتراق

ثنائي. لكي يتم تثبيت الكفاءة الحرارية مطلقاً هنالك ثلاث عوامل ضرورية هي نسبة الانضغاط  $r_v =$

$$\beta = v_4/v_3 \text{؛ ونسبة الحجم، } k = p_3/p_2 \text{؛ ونسبة الضغوط، } v_1/v_2$$

بالتالي يمكن توضيح أن،

$$\eta = 1 - \frac{k\beta^\gamma - 1}{[(k-1) + \gamma k(\beta-1)]r_v^{\gamma-1}} \quad (4.11)$$

لاحظ أنه عندما  $k = 1$  (i.e.  $p_3 = p_2$ )، تنخفض بالتالي المعادلة (4.11) إلي الكفاءة الحرارية لدورة ديزل

المعطاة بالمعادلة (4.10). لا تعتمد كفاءة دورة الإحتراق الثنائي فقط على نسبة الإنضغاط بل تعتمد أيضاً على

المقادير النسبية للحرارة المكتسبة بحجم ثابت وبضغط ثابت. يكون من المرهق جداً إستخدام المعادلة (4.11)،

ويكون الأسلوب الأفضل لحساب الكفاءة الحرارية هو تقييم كل درجة حرارة حول الدورة وبالتالي استخدام المعادلة (3.3)،  $\eta = 1 - (Q_2 / Q_1)$ ، يتم إيجاد الحرارة المكتسبة،  $Q_1$ ، باستخدام المعادلة التالية للحرارة المضافة بحجم ثابت وضغط ثابت على الترتيب.

$$Q_1 = c_v (T_3 - T_2) + c_p (T_4 - T_3)$$

تُعطى الحرارة المفقودة،  $Q_2$ ، بـ،

$$Q_2 = c_v (T_4 - T_1)$$

**مثال (4.6):**

محرك زيت يسحب هواء عند 1.01bar، 20°C ويكون ضغط الدورة الأقصى مساوياً لـ 69bar. تكون نسبة الإنضغاط 18/1. أحسب الكفاءة الحرارية لدورة الهواء القياسية المؤسسة على دورة الإحتراق الثنائي. إفتراض أن الحرارة المضافة بحجم ثابت تكون مساوية للحرارة المضافة بضغط ثابت.

**الحل:**

يتم توضيح الدورة على مخطط  $p - v$  في الشكل (4.13). مستخدماً المعادلة (2.20)،

$$\frac{T_2}{T_1} = \left( \frac{v_1}{v_2} \right)^{\gamma-1} = 18^{0.4} = \underline{3.18}$$

$$\text{i.e. } T_2 = 3.18 \times T_1 = 3.18 \times 293 = \underline{931 \text{ K}}$$

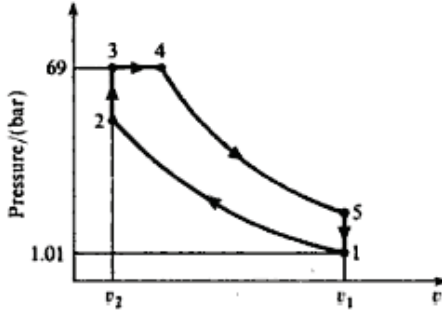
$$\text{(حيث } T_1 = 20 + 273 = 293 \text{ K)}$$

من 2 إلي 3 يكون الإجراء بحجم ثابت، بالتالي،

$$\frac{p_3}{p_2} = \frac{T_3}{T_2}$$

$$\text{(بما أن } v_3 = v_2 \text{، } \frac{p_3 v_3}{T_3} = \frac{p_2 v_2}{T_2} \text{،)}$$

$$T_3 = \frac{p_3}{p_2} \times T_2 = \frac{69 \times 931}{p_2}$$



شكل (4.13) دورة الإحتراق الثنائي

لإيجاد  $p_2$ ، إستخدم المعادلة (2.19)،

$$\text{i.e. } \frac{p_2}{p_1} = \left( \frac{v_1}{v_2} \right)^\gamma = 18^{1.4} = 57.2$$

$$\text{i.e. } p_2 = 57.2 \times 1.01 = \underline{57.8 \text{ bar}}$$

بالتالي بالتعويض،

$$T_3 = \frac{69 \times 931}{57.8} = \underline{1112 \text{ K}}$$

الآن الحرارة المضافة بحجم ثابت تكون مساوية للحرارة المضافة بضغط ثابت في هذا المثال. عليه،

$$c_v(T_3 - T_2) = c_p(T_4 - T_3)$$

$$\text{i.e. } 0.718(1112 - 931) = 1.005(T_4 - 1112)$$

$$\therefore T_4 = \frac{0.718 \times 181}{1.005} + 1112 = \underline{1241.4 \text{ K}}$$

$$\text{i.e. } T_4 = \underline{1241.4 \text{ K}}$$

لإيجاد  $T_5$  من الضروري معرفة قيمة نسبة الحجم  $v_5/v_4$ . عند ضغط ثابت من 3 إلى 4،

$$\frac{v_4}{v_3} = \frac{T_4}{T_3} = \frac{1241.4}{1112} = \underline{1.116}$$

عليه،



$$\frac{v_5}{v_4} = \frac{v_1}{v_4} = \frac{v_1}{v_2} \frac{v_3}{v_4} = 18 \times \frac{1}{1.116} = \underline{16.14}$$

بالتالي باستخدام المعادلة (2.20)،

$$\frac{T_4}{T_5} = \left( \frac{v_5}{v_4} \right)^{\gamma-1} = 16.14^{0.4} = \underline{3.04}$$

$$\text{i.e. } T_5 = \frac{1241.1}{3.04} = \underline{408 \text{ K}}$$

الآن فإن الحرارة المكتسبة،  $Q_1$  تُعطي بـ،

$$Q_1 = c_v(T_3 - T_2) + c_p(T_4 - T_3) \quad \text{أو} \quad Q_1 = 2c_v(T_3 - T_2)$$

(بما أنه في هذا المثال تكون الحرارة المضافة بحجم ثابت مساوية للحرارة المضافة بضغط ثابت).

$$\therefore Q_1 = 2 \times 0.718 \times (1112 - 931) = \underline{260 \text{ kJ / kg}}$$

تُعطي الحرارة المفقودة،  $Q_2$ ، بـ،

$$Q_2 = c_v(T_5 - T_1) = 0.718(408 - 293) = \underline{82.6 \text{ kJ / kg}}$$

بالتالي من المعادلة (3.3)،

$$\eta = 1 - \frac{Q_2}{Q_1} = 1 - \frac{82.6}{260} = 1 - 0.318 = \underline{0.682} \quad \text{or} \quad \underline{68.2\%}$$

هنا يجب ذكر أن محرك الزيت الحديث ذو السرعة العالية يشتغل على دورة بحيث أن دورة أوتو تكون الأساس الأفضل للمقارنة. أيضاً، بما أن حساب الكفاءة الحرارية لدورة أوتو يكون أبسط بكثير عن ذلك لدورة الإحتراق الثنائي، بالتالي فإن هذا يكون سبباً آخر لإستخدام دورة أوتو كمعيار للمقارنة.

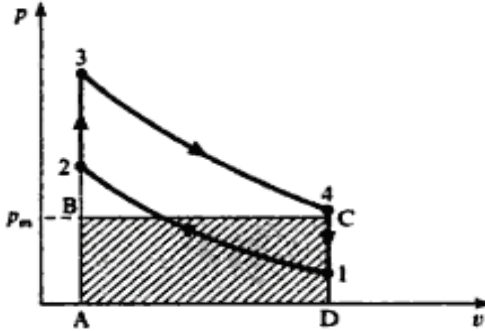
#### 4.9 متوسط الضغط الفعّال: (Mean Effective Pressure)

لقد تم تعريف مصطلح نسبة الشغل في المقطع 4.3، وهذا قد تم توضيحه ليكون قاعدة مفيدة لمحطات قدرة عملية. لمحركات الإحتراق، لا يكون مصطلح نسبة الشغل مفهوماً مفيداً، بما أن الشغل المبذول على أو بمائع التشغيل يحدث داخل إحدى الأسطوانات. لكي يتم مقارنة المحركات الترددية يتم تعريف مصطلح آخر

يعرف بمتوسط الضغط الفعّال. يتم تعريف متوسط الضغط الفعّال كارتفاع لمستطيل بنفس الطول والمساحة كما في الدورة المرسومة على مخطّط  $p - v$ . يتم توضيح هذه لدورة أوتو في الشكل (4.14). يكون المستطيل ABCDA بنفس الطول كما في الدورة 12341، وتكون المساحة ABCDA مساوية للمساحة 12341. بالتالي فإنّ متوسط الضغط الفعّال  $p_m$ ، يكون الإرتفاع AB للمستطيل. عليه يمكن كتابة الشغل المبذول لكل kg من الهواء،

$$W = \text{المساحة } ABCDA = p_m(v_1 - v_2) \quad (4.12)$$

يكون العنصر  $(v_1 - v_2)$  متناسباً مع الحجم المكتسح للأسطوانة، بالتالي يمكن الملاحظة من المعادلة (4.12) أن متوسط الضغط الفعّال يُعطي قياساً لشغل الخرج لكل حجم مكتسح. عليه يمكن استخدامه لمقارنة محركات مشابهة بحجم (بمقاس) مختلف. يكون متوسط الضغط الفعّال الذي تمت مناقشته في هذا المقطع خاصاً بدورة الهواء القياسية. سيتم التوضيح لاحقاً أنّ متوسط الضغط الفعّال البياني لمحرك فعلي يمكن قياسه من مخطّط بيان ويُستخدم لتقييم الشغل البياني المبذول بالمحرك.



شكل (4.14) متوسط الضغط الفعّال على مخطّط  $p - v$

مثال (4.7):

أحسب متوسط الضغط الفعّال للدورة في المثال (4.6).

الحل:

في المثال (4.6) يُوجد أن الحرارة المكتسبة،  $Q_1$ ، والكفاءة الحرارية يكونان  $260 \text{ kJ/kg}$  و  $68.2\%$  على

الترتيب. من المعادلة (3.5)،

$$\eta = \frac{W}{Q_1}$$

عليه،

$$W = \eta Q_1 = 0.682 \times 260 = \underline{177} \text{ kJ / kg}$$

الآن من تعريف متوسط الضغط الفعّال، والمعادلة (4.12) نحصل على،

$$W = p_m (v_1 - v_2)$$

مستخدماً المعادلة التالية  $pv = RT$  والمعادلة (4.8)،  $r_v = v_1/v_2 = 18$ ،

بالتالي،

$$v_1 - v_2 = \left( v_1 - \frac{v_1}{18} \right) = \frac{17}{18} v_1 = \frac{17}{18} \frac{RT_1}{p_1} = \frac{17 \times 287 \times 293}{18 \times 1.01 \times 10^3}$$

$$\text{i.e. } v_1 - v_2 = \underline{0.786} \text{ m}^3 / \text{kg}$$

بالتالي بالتعويض،

$$W = p_m \times 0.786 \quad \text{أو} \quad p_m = W / 0.786 \text{ kJ / m}^3$$

$$\text{i.e. } \text{متوسط الضغط الفعّال} = \frac{177 \times 10^3}{10^3 \times 0.786} = \underline{2.25} \text{ bar}$$

**4.10 دورات إستيرلنق و إريكسون: (The Stirling and Ericsson Cycle)**

لقد تم التوضيح أنه لا يمكن لدورة أن تمتلك كفاءة أكبر من تلك لدورة كارنوت التي تعمل بين حدي

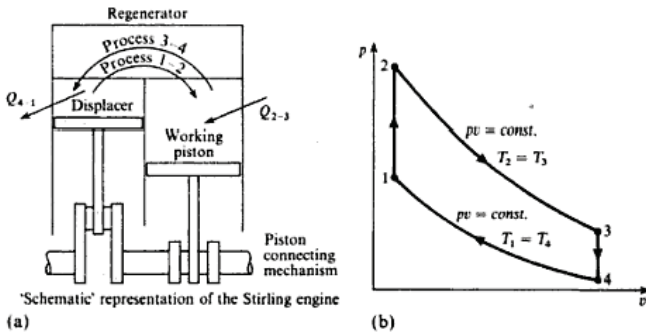
درجة الحرارة  $T_1$  و  $T_2$ . الدورات التي يكون لديها كفاءة حرارية مساوية لتلك لدورة كارنوت قد تم تعريفها

وتسميتها بدورات إستيرلينق وإريكسون وهما متفوقتان على دورة كارنوت في أنهما يملكان نسبة شغل أعلى.

يتم توضيح دورة إستيرلينق في مخطط  $p - v$  في الشكل (4.15(b)) ويتم تمثيلها مخططياً في الشكل (4.15(a)).

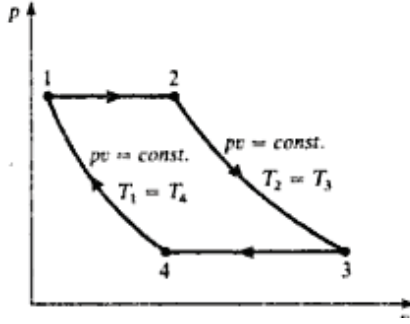
يجب التأكيد على أنه ليس ذلك وصفاً فيزيائياً لمحرك إستيرلينق بل هو إحدى الطرق التي يمكن أن تُعطي فهماً لنوع العلاقة التي تربط الإجراءات المكونة للدورة.

يتم إمداد الحرارة لمائع التشغيل، الذي هو عادة الهيدروجين أو الهيليوم، من مصدر خارجي، الإجراء 3-2، كلما يتمدد الغاز بثبات الحرارة ( $T_2=T_3$ )، وتقتد الحرارة إلي غاطس خارجي، الإجراء 4-1، كلما يتم إنضغاط الغاز بثبات درجة الحرارة ( $T_1=T_4$ ). يتم توصيل الإجراءين ثابتي درجة الحرارة بإجراءين إنكاسيين ثابتي الحجم 1-2 و 3-4 يكون خلالها تغييرات درجة الحرارة مكافئة لـ ( $T_2=T_1$ ). يتم استخدام الحرارة المفقودة أثناء الإجراء 3-4،  $Q_{3-4} = c_v(T_2 - T_1)$ ، لتسخين الغاز أثناء الإجراء 1-2،  $Q_{1-2} = c_v(T_2 - T_1) = Q_{3-4}$ ، وهذا يفترض أن يحدث مثالياً وانعكاسياً في مولد تجديدي (regenerator). يتطلب المولد التجديدي مصفوفة من مادة تقوم بفصل غازات التسخين و التبريد لكنه يسمح لدرجات الحرارة بالتغير تدريجياً بمقادير صغيرة جداً ومناظرة خلال الإجراءات. يحدث إجراء إعادة التجديد هذا (regenerative process) عند حجم ثابت ويكون داخلياً في الدورة.



شكل (4.15) محرك إستيرلينق ودورة إستيرلينق

تكون دورة إريكسون مشابهة لدورة إستيرلينق بإستثناء أن الإجراءان ثابتي درجة الحرارة يتم توصيلهما بإجراءين ثابتي الضغط، كما موضح في الشكل (4.16).



شكل (4.16) دورة إريكسون على مخطط  $p - v$

يتم الحصول على كفاءة دورة إستيرلينق بإعتبار إنتقالات الحرارة بين النظام والأجسام الخارجية، i.e. إمداد حرارة بدرجة حرارة عالية، وغطاس بدرجة حرارة منخفضة يتم عنده فقد الحرارة.

الحرارة المكتسبة من المصدر الساخن، مستخدماً المعادلات (2.11) و(2.12)،

$$Q_{2-3} = W_{2-3} = RT_2 \log_e \frac{p_2}{p_3} \quad \text{لكل وحدة كتلة غاز،}$$

بالمثل الحرارة المفقودة إلي الغاطس البارد،

$$Q_{4-1} = W_{4-1} = RT_1 \log_e \frac{p_1}{p_4}$$

وللنظام الكامل،

صافي الحرارة المكتسبة = صافي الشغل المبذول

$$W = Q_{2-3} - Q_{4-1}$$

وبما أن كفاءة الدورة،

$$\eta = \frac{W}{Q_{2-3}}$$

$$\therefore \eta = \frac{Q_{2-3} - Q_{4-1}}{Q_{2-3}} = 1 - \frac{Q_{4-1}}{Q_{2-3}}$$

$$= 1 - \frac{RT_1 \log_e \frac{p_2}{p_3}}{RT_2 \log_e \frac{p_1}{p_4}}$$

للإجراء ثابت الحجم 1-2،

$$\frac{p_2}{p_1} = \frac{T_2}{T_1}$$

وللإجراء 3-4،

$$\frac{p_3}{p_4} = \frac{T_3}{T_4} = \frac{T_2}{T_1}$$

$$\therefore \frac{p_2}{p_1} = \frac{p_3}{p_4}, \quad \frac{p_2}{p_3} = \frac{p_1}{T_4}$$

$$\therefore \eta = 1 - \frac{T_1}{T_2}, \text{ كفاءة كارنوت،}$$

(يمكن إستنباط هذه النتيجة بدون برهان رسمي بما أنُ إجراءات إمداد الحرارة وفقد الحرارة تحدث عند درجات حرارة ثابتة).

$$\text{نسبة الشغل} = \frac{W_{2-3} - W_{4-1}}{W_{2-3}} = 1 - \frac{W_{4-1}}{W_{2-3}} = 1 - \frac{Q_{4-1}}{Q_{2-3}} = 1 - \frac{T_1}{T_2}$$

وتكون مساوية في القيمة لكفاءة الدورة.

التفسير العملي للدورة المثالية سوف لن يتم وصفه بالتفصيل ويُنصح القارئ بإستشارة ما كتبه الإختصاصيين عن الترتيبات الميكانيكية المستخدمة وتقويمات الإداء. يُعطي الشكل 4.15(b) تمثيلاً مبسطاً للمحرك ويُوضح الضرورة لكباسين، كباس تشغيل وكباس إزاحة، الذي هو حقيقة يعمل في أجزاء مختلفة لنفس الأسطوانة وليس كما تم تمثيله. من الضروري للدورة المثالية للكباسات أن تتحرك باستمرارياً وهذه فقط قد تم تقريبها بالآلات

المستخدمة. تكون النتيجة هي أنه لا يتم تحقيق إجراءات الدورة المثالية ويكون هنالك إنحرافاً معتبراً عن مخطّط  $p - v$  المثالي بما أنّ إجراءات التشغيل والتبريد تندمج لتبتعد عن مفهوم التسخين ثابت الحجم. لقد كانت المحاولات الأولى لبناء محرك إستيرلينغ غير ناضجة وجعلته الإنجازات المتسارعة لمحرك الإحتراق الداخلي غير مواكباً. منذ عام 1938 عندما بدأ Philips من Eindhoven تطوير الدورة زادت الرغبة في الإمكانية العملية لمحرك إستيرلينغ. لقد كان الجاذب لهذه الدورة هو أنها يمكن أن تستفيد من أي شكل للحرارة من الوقود التقليدي أو البلدي، مصادر الطاقة الشمسية أو النووية، بمعلومية أن درجة الحرارة التي يتم خلقها تكون عالية بكفاية. تكون المحركات هادئة، وكفاءة مساوية أو أفضل من محركات الإحتراق الداخلي الأفضل وباهترزاز قليل نتيجة لطبيعة الإدارة المطلوبة لإعطاء حركة تفاضلية (فرقية) بين كباسي التشغيل والإزاحة. يكون مدى التطبيق الممكن لمحركات إستيرلينغ واسعاً ليشمل الإستخدامات البحرية، توليد الكهرباء لأحمال عالية وكوحدات إسعافية (stand-by units)، لأغراض المحركات خصيصاً عند المقارنة بمحركات الديزل، أو في مواقف يمكن أو يجب إستخدام وقودات غير تقليدية أو أيّ مصادر للحرارة. لقد تم إعتبار محرك إستيرلينغ للإستخدام في الفضاء بإستعمال الطاقة من الشمس، وللغواصات اللانوية وللطوربيدات. ولقد كانت معظم التطبيقات الهامة حتى الآن كمحركات الهواء وكالثلاجات تستخدم دورة إستيرلينغ. من الممكن الوصول لدرجات حرارة منخفضة لمناطق حرارية شديدة الإنخفاض (cryogenic regions). لقد تم بناء ماكينات وإستخدامها لتسييل الغازات (liquefaction of gases)، ومنذ سنة 1958 فقد بنت هيئة المحركات العامة الأمريكية وإختبرت محركات إستيرلينغ لأغراض المحركات وقد تم الحصول على خبرة تقويمية معتبرة.

#### 4.11 مسائل: (Problems)

1- م هي الكفاءة الحرارية الممكنة لمحرك حراري يشتغل بين  $800^{\circ}\text{C}$  و  $15^{\circ}\text{C}$ .

Ans. (73.2%)

2- محركان حراريان إنعكاسيان يشتغلان في توالي بين مصدر عند  $527^{\circ}\text{C}$  و غاطس عند  $17^{\circ}\text{C}$ . إذا كان

للمحركان كفاءات متساوية ويلفظ الأول إلى الثاني  $400\text{kJ}$ . أحسب:-

A. درجة الحرارة التي يتم عندها إمداد حرارة إلي المحرك الثاني.

B. الحرارة المأخوذة من المصدر .

C. الشغل المبذول لكل محرك.

إفترض أن كل محرك يشتغل على دورة كارنوت.

Ans. (209°C; 664kj; 264 kj; 159.4 kj)

3- في دورة كارنوت تشتغل بين 307°C و 17°C يكون الضغطان الأقصى والأدنى هما 62.4bar و

1.04bar. أحسب الكفاءة الحرارية ونسبة الشغل. إفترض أن مائع التشغيل هو الهواء .

Ans. (50%; 0.287)

4- وحدة توربينة غاز مغلقة الحلقة تعمل بين درجتي حرارة قصوى ودنيا مقدارهما 760°C و 20°C ، لها نسبة

ضغط 7/1. أحسب الكفاءة الحرارية المثالية ونسبة الشغل.

Ans. (42.7%; 0.503)

5- في دورة قياسية مؤسسة على دورة أوتو تكون درجتا الحرارة القصوى والدنيا هما 1400°C و 15°C. تكون

الحرارة المكتسبة لكل kg من الهواء هي 800 kj. أحسب نسبة الإنضغاط والكفاءة الحرارية. أحسب أيضاً نسبة

الضغط الأقصى إلي الضغط الأدنى في الدورة.

Ans. (5.26/1; 48.6%; 30.5/1)

6- محرك بترولي ذو أربع أسطوانات بحجم مكتسح مقداره 2000cm<sup>3</sup>، وبحجم خلوصي في كل أسطوانة

مقداره 60cm<sup>3</sup>. أحسب الكفاءة الحرارية لدورة الهواء القياسية. إذا كانت أحوال السحب هي 1bar و 24°C،

ودرجة الحرارة القصوى للدورة هي 1400°C، أحسب متوسط الضغط الفعّال المؤسس على دورة الهواء القياسية.

Ans. (59 %; 5.27 bar)



## الكتب والمراجع

### الكتب والمراجع العربية:

1. أسامة محمد المرضي سليمان ، "مذكرات انتقال الحرارة الجزء الأول، الثاني والثالث" ، جامعة وادي لنيل ، كلية الهندسة والتقنية ، قسم الهندسة الميكانيكية، (2000م).
2. أسامة محمد المرضي سليمان ، "مذكرات انتقال الكتلة بالانتشار والحمل الجزء الأول، الثاني" ، جامعة وادي لنيل ، كلية الهندسة والتقنية ، قسم الهندسة الميكانيكية، (2005م).
3. أسامة محمد المرضي سليمان ، "مذكرات ديناميكا حرارية(1) و ديناميكا حرارية(2)" ، جامعة وادي لنيل ، كلية الهندسة والتقنية ، قسم الهندسة الميكانيكية، (2007م).
4. برهان محمود العلي ، أحمد نجم الصبحة ، بهجت مجيد مصطفى ، " ترجمة كتاب أساسيات انتقال الحرارة" ، مديرية دار الكتب للطباعة والنش ، جامعة لموصل ، الجمهورية العراقية ،(1988م).

### الكتب والمراجع الإنجليزية

1. T. D. Eastop and A. McConkey, "Applied Thermodynamics for Engineers and Technologists", Longman Singapore Publishers, 1994.
2. Eastop T. D. and Craft D. R., "Energy Efficiency", Longman, 1990.
3. Douglas J. F., Gasiorek J. M. and Swaffield J. A., "Fluid Mechanics", 2<sup>nd</sup> Edition, Longman, 1986.
4. Rogers G. F. C. and Mayhew Y. R., "Engineering Thermodynamics, Work and Heat Transfer", 4<sup>th</sup> Edition, Longman, 1992.
5. National Engineering Labrotary, "Steam Tables", HMSO, 1964.
6. Haywood R. W., "Analysis of Engineering Cycles", Pergamon, 1991.
7. Walker G., "Stirling Engines", Oxford University Press, 1980.
8. Harker J. H. and Bachurst J. R., "Fuel and Energy", Academic Press, 1981.
9. Hickson D. C. and Taylor F. R., "Enthalpy – Entropy Diagram for Steam", Basil Blackwell, 1980.

10. Eastop T. D. and Watson W. E., "Mechanical Services for Buildings", Longman, 1992.
11. Cohen H., Rogers G. F. C. and Saravanamuttoo H. I. H., "Gas Turbine Theory", 3<sup>rd</sup> Edition, Longman, 1987.
12. Shapiro A. H., "The Dynamics and Thermodynamics of Compressible Flow", Volumes 1 and 2, Kreiger, 1983.
13. Dixon S. L., "Fluid Mechanics, Thermodynamics of Turbomachinery", 3<sup>rd</sup> Edition, Pergamon, 1978.
14. Kearton W. J., "Steam Turbine Theory and Practice", Pitman, 1960.
15. Heywood J. B., "Thermal Combustion Engines Fundamentals", McGraw-Hill, 1988.
16. Taylor C. F., "The Internal Combustion Engine in Theory and Practice", Volumes 1 and 2, MIT Press, 1977.
17. Watson N. and Janota M. S., "Turbo charging the IC Engines", Macmillan, 1984.
18. Dossat R. J., "Principles of Refrigeration", 2<sup>nd</sup> Edition, Wiley, 1990.
19. Reay D. A. and Macmichael D. B. A., "Heat Pumps", 2<sup>nd</sup> Edition, Pergamon, 1987.
20. Rogers G. F. C. and Mayhew Y. R., "Thermodynamics and Transport Properties of Fluids", 4<sup>th</sup> Edition, Basil Blackwell, 1987.
21. Kemp D. D., "Global Environmental Issues", Routledge, 1990.
22. Threlkeld J. L., "Thermal Environmental Engineering", 2<sup>nd</sup> Edition, Prentice, 1970.
23. Jones W. P., "Air Conditioning Engineering", 3<sup>rd</sup> Edition, Edward Arnold, 1985.
24. Welty J. R., "Fundamentals of Momentum, Heat and Mass Transfer", 3<sup>rd</sup> Edition, John Wiley, 1984.
25. Craft D. R. and Lilley D. G., "Heat Transfer Calculations Using Finite Difference Equations", Pavic Publications, 1986.

26. Incropera F. P. and De Witt D. P., "Fundamentals of Heat and Mass Transfer", 3<sup>rd</sup> Edition, John Wiley, 1990.
27. Eckert E. R. and Drake R. M., "Analysis of Heat and Mass Transfer", Taylor and Francis, 1971.
28. Kern D. Q., "Process Heat Transfer", McGraw – Hill, 1950.
29. Walker G., "Industrial Heat Exchangers", 2<sup>nd</sup> Edition, McGraw – Hill, 1990.
30. Kays W. M. and London A. L., "Compact Heat Exchangers", 3<sup>rd</sup> Edition, McGraw – Hill, 1984.
31. McAdams W. H., "Heat Transmission", 3<sup>rd</sup> Edition, McGraw – Hill, 1954.
32. Dunn P. D., "Renewable Energies: Sources, Conversion, and Applications", Peter Peregrines, 1986.
33. Culp(jr) A. R., "Principles of Energy Conversion", McGraw – Hill, 1980.
34. Mohammed Elmardi Osama, "Solution of Problems in Heat Transfer, Transient Conduction or Unsteady Conduction", Lambert Academic Publishing, 2017.
35. Mohammed Elmardi Osama, "Further Experimental research work on water Current Turbines, Case Study On Atbara Water Turbine", Lambert Academic Publishers, 2015.

## نبذة عن المؤلف:



أسامة محمد المرضي سليمان وُلِدَ بمدينة عطبرة بالسودان في العام 1966م. حاز على دبلوم هندسة ميكانيكية من كلية الهندسة الميكانيكية - عطبرة في العام 1990م، تحسّل أيضاً على درجة البكالوريوس في الهندسة الميكانيكية من جامعة السودان للعلوم والتكنولوجيا - الخرطوم في العام 1998م ، كما حاز على درجة الماجستير في تخصص ميكانيكا المواد من جامعة وادي النيل - عطبرة في العام 2003م ودرجة الدكتوراه من جامعة وادي النيل في العام

2017م. قام بالتدريس في العديد من الجامعات داخل السودان، بالإضافة لتأليفه لأكثر من ثلاثين كتاباً باللغة العربية ولعشرة كتب باللغة الإنجليزية بالإضافة لخمسين ورقة علمية منشورة في دور نشر ومجلات عالمية إلى جانب إشرافه على أكثر من ثلاثمائة بحث تخرج لكل من طلاب الماجستير، الدبلوم العالي، البكالوريوس، والدبلوم العام. يشغل الآن وظيفة أستاذ مساعد بقسم الميكانيكا بكلية الهندسة والتقنية - جامعة وادي النيل. بالإضافة لعمله كاستشاري لبعض الورش الهندسية بالمنطقة الصناعية عطبرة. هذا بجانب عمله كمدير فني لمجموعة ورش الكمالي الهندسية لخرطة أعمدة المرافق واسطوانات السيارات والخرطة العامة وكبس خراطيش الهيدروليك.

# More Books!

# Yes I want morebooks

اشترى كتبك سريعا و مباشرة من الأنترنت, على أسرع متاجر الكتب الالكترونية في العالم  
بفضل تقنية الطباعة عند الطلب, فكتبتنا صديقة للبيئة

## اشترى كتبك على الأنترنت

[www.get-morebooks.com](http://www.get-morebooks.com)

Kaufen Sie Ihre Bücher schnell und unkompliziert online – auf einer der am schnellsten wachsenden Buchhandelsplattformen weltweit!  
Dank Print-On-Demand umwelt- und ressourcenschonend produziert.

Bücher schneller online kaufen

## [www.morebooks.de](http://www.morebooks.de)

SIA OmniScriptum Publishing  
Brivibas gatve 197  
LV- 1039 Riga, Latvia  
Telefax: +371 686204 55

[info@omniscrptum.com](mailto:info@omniscrptum.com)  
[www.omniscrptum.com](http://www.omniscrptum.com)

OMNIscriptum











